

8•2024

РАДИО

АУДИО•ВИДЕО•СВЯЗЬ•ЭЛЕКТРОНИКА•КОМПЬЮТЕРЫ



24008

ISSN-0033-765X
9 770033 765009

8
2024

НАУКА И ТЕХНИКА 8

Журналу "Радио" — 100 лет! 4

РАДИОПРИЁМ 11

А. ГОЛЫШКО. "Голубой зуб" над голубой планетой 8
 Х. ЛОХНИ. УКВ-блок с увеличенным динамическим диапазоном для радиоприёмников "Океан" и Selena
 Часть 2 11
 В. ШЕПТУХИН. Новости вещания 19

РАДИОЛЮБИТЕЛЮ-КОНСТРУКТОРУ 21

Д. КОНТОП. ПИД-регулятор на Arduino
 в преобразователе напряжения 21

ИЗМЕРЕНИЯ 29

С. БИРЮКОВ. Настольный вольтметр 4½ разряда 29

ИСТОЧНИКИ ПИТАНИЯ 33

А. ПАНЬШИН. Стабилизатор напряжения в корпусе
 батареи 6F22 33
 Н. САЛИМОВ. Лабораторный блок питания 35

ПРИКЛАДНАЯ ЭЛЕКТРОНИКА 38

И. НЕЧАЕВ. Расширение возможностей простого
 USB-тестера 38
 С. РЫЧИХИН. Прозвонка на ионисторе 41
 В. РУБАШКА. Суточный таймер "Четвертак" 44
 В. КАПЛУН. Бесконтактный прерыватель нагрузки 49

"РАДИО" — НАЧИНАЮЩИМ 51

Редакция "Радио" в ОК "Юго-Запад" 51
 М. КОСТЮК. Стереофонический ламповый УМЗЧ с АС 52
 И. АНДРИАНОВ. Ремонт и модернизация светодиодного
 фонаря 55
 И. НЕЧАЕВ. Из беспроводных головных телефонов —
 в мультиметр 56
 К. ЖЕЛТОВ. Учись играя. Игровой автомат "Камень,
 ножницы, бумага". Часть 2 58
 Д. МАМИЧЕВ. Макет-модуль графической кнопки-дисплея 60
 Р. СЕРГЕЕНКО. Ответы на викторину "Микрокомпьютеры
 NanoPi" 62

НА КНИЖНОЙ ПОЛКЕ (с. 41, 49).

ДОСКА РЕКЛАМНЫХ ОБЪЯВЛЕНИЙ (с. 4, 41, 44, 4-я с. обложки).

На нашей обложке. *К 100-летнему юбилею журнала "Радио".*

**ЧИТАЙТЕ
В СЛЕДУЮЩЕМ
НОМЕРЕ:**

**СТАБИЛИЗАТОР ПЕРЕМЕННОГО НАПРЯЖЕНИЯ
СЕНСОРНЫЙ ДАТЧИК ИЗ МИКРОФОНА
ВЧ-СВЧ-ИНДИКАТОР В МУЛЬТИМЕТРЕ
КВ-РАДИОПРИЁМНИК**



Издаётся с 1924 года

РАДИО®

"Радиолюбитель" - "Радиофронт" - "Радио"

8•2024

МАССОВЫЙ
ЕЖЕМЕСЯЧНЫЙ
НАУЧНО-ТЕХНИЧЕСКИЙ
ЖУРНАЛ

"Radio" is monthly publication on audio, video,
computers, home electronics and telecommunication

12+

УЧРЕДИТЕЛЬ И ИЗДАТЕЛЬ:

АНО «РЕДАКЦИЯ ЖУРНАЛА «РАДИО»

Зарегистрирован Министерством печати и информации РФ 01 июля 1992 г.

Регистрационный ПИ № ФС77-82030

Главный редактор В. К. ЧУДНОВ

Редакционная коллегия:

А. В. ГОЛЫШКО, А. Н. КОРОТОНОШКО, К. В. МУСАТОВ,
И. А. НЕЧАЕВ (зам. гл. редактора), Л. В. МИХАЛЕВСКИЙ,
С. Л. МИШЕНКОВ

Выпускающий редактор: С. Н. ГЛИБИН

Обложка: В. М. МУСИЯКА

Вёрстка: Е. А. ГЕРАСИМОВА

Корректор: Т. А. ВАСИЛЬЕВА

Адрес редакции: 129090, Москва, Протопоповский пер., 25, к. Б
Tel.: (495) 607-31-18.

E-mail: ref@radio.ru

Приём статей — e-mail: mail@radio.ru

Отдел рекламы — (495) 607-31-18; e-mail: advert@radio.ru

Распространение — (495) 607-31-18; e-mail: sale@radio.ru

Подписка и продажа — (495) 607-87-39

Бухгалтерия — (495) 607-87-39

Наши платёжные реквизиты:

получатель — АНО "Редакция журнала "Радио", ИНН 7708187140,
р/сч. 40703810538090108833

Банк получателя — ПАО Сбербанк г. Москва
корр. счт 3010181040000000225 БИК 044525225

Подписано к печати 24.07.2024 г. Формат 60×84 1/8. Печать офсетная.

Объём 8 физ. печ. л., 4 бум. л., 10,5 уч.-изд. л.

В розницу — цена договорная.

Подписной индекс:

Официальный каталог ПОЧТА РОССИИ — П4014;

КАТАЛОГ РОССИЙСКОЙ ПРЕССЫ — 89032.

За содержание рекламного объявления ответственность несёт
рекламодатель.

За оригинальность и содержание статьи ответственность несёт автор.

Редакция не несёт ответственности за возможные негативные последствия
использования опубликованных материалов, но принимает меры по исключению ошибок и опечаток.

В случае приёма рукописи к публикации редакция ставит об этом в известность автора. При этом редакция получает исключительное право на распространение принятого произведения, включая его публикации в журнале «Радио», на интернет-страницах журнала или иным образом.

Авторское вознаграждение (гонорар) выплачивается в течение двух месяцев после первой публикации в размере, определяемом внутренним справочником тарифов.

По истечении одного года с момента первой публикации автор имеет право опубликовать авторский вариант своего произведения в другом месте без предварительного письменного согласия редакции.

В переписку редакция не вступает. Рукописи не рецензируются и не возвращаются.

© Radio®, 1924—2024. Воспроизведение материалов журнала «Радио», их коммерческое использование в любом виде, полностью или частично, допускается только с письменного разрешения редакции.

Отпечатано в ОАО «Подольская фабрика офсетной печати»

142100, Моск. обл., г. Подольск, Революционный проспект, д. 80/42.

Зак. 02402-24 .



Компьютерная сеть редакции журнала «Радио» находится под защитой Dr.Web — антивирусных продуктов российского разработчика средств информационной безопасности — компании «Доктор Веб».

www.drweb.com

Бесплатный номер
службы поддержки
в России:

8-800-333-79-32

ИНФОРМАЦИОННАЯ ПОДДЕРЖКА — КОМПАНИЯ «РИНЕТ»

Телефон:

+7(495)981-4571

E-mail:

info@rinet.ru

Сайт:

www.rinet.ru

RINet
БЛИЖЕ К ЛЮДЯМ

Журналу "Радио" —
100 лет!

Столетие назад, 15 августа 1924 г., вышел в свет первый номер журнала "Радиолюбитель", который стал прародителем журнала "Радио". Было ли это событие счастливой случайностью?

Здесь необходимо напомнить историю возникновения первого радиолюбительского журнала. Несмотря на то что Россия, благодаря работам нашего соотечественника Александра Степановича Попова, — родина радио, она в самом начале 20-х годов прошлого столетия заметно отставала от большинства развитых стран в практическом внедрении радио в повседневную жизнь страны. Это явилось следствием общего состояния промышленности того времени, разрухи, которая наблюдалась в стране после Первой мировой войны, революции и Гражданской войны. В то время были предприняты меры к сокращению этого отставания — начато строительство радиовещательных станций. В 1922 г. начала вещание радиостанция им. Коминтерна, располагавшаяся в Москве на Вознесенской улице (сейчас — улица Радио). Она была оборудована ламповыми передатчиками мощностью 12 кВт, созданным в Нижегородской радиолаборатории, и вещала на волне 3200 м (частота — около 93,75 кГц). Её передачи можно было принимать за сотни километров от Москвы.

Но в стране практически ещё не было радиоприёмников, чтобы слушать передачи. Кроме того, явно не хватало предприятий для производства аппаратуры и специалистов, которые могли бы на них работать и обслуживать технику в процессе эксплуатации. Законодательная база, касающаяся использования гражданами радиосредств, также отсутствовала.

В июле 1923 г. вышел Декрет Совета Народных Комиссаров СССР "О радиостанциях специального назначения" (опубликован в № 205 Известий ЦИК и ВЦИК от 12 сентября 1923 г.), который предоставлял право государственным, партийным, профессиональным и общественным организациям создавать и эксплуатировать приёмные радиостанции. Этот документ фактически стал первым шагом в развитии радиолюбительства на основе радиокружков в нашей стране.

28 июля 1924 г. вышло Постановление Совета Народных Комиссаров СССР "О частных приёмных радиостанциях", названное в "Радиолюбителе" № 2 за 1924 г. законом о свободе эфира. Постановление предоставляло право изготовления и эксплуатации радиоприёмников не только государственным, партийным и профсоюзов организациям, но и коммерческим организациям, а также частным лицам.

Естественным следствием этого постановления явилось развитие массового радиолюбительства. Энтузиасты-радиолюбители были готовы своими руками собирать радиоаппаратуру, но многим в те годы не хватало знаний в области радиотехники. Идея создания источника информации — радиолюбительского журнала — буквально витала в воздухе. Таким источником информации стал журнал "Радиолюбитель", издававшийся Бюро содействия радиолюбительству при культурном отделе Московского городского совета профессиональных союзов и Обществом радиолюбителей РСФСР. Инициатором его издания и первым редактором (сегодня эта должность называется главный редактор) "Радиолюбителя" стал А. Ф. Шевцов, работавший до этого в журнале "Техника связи". Вскоре А. Ф. Шевцова на этом посту сменил Х. Я. Диамант.

Интерес населения к популярной радиотехнической литературе был настолько велик, что изначальный тираж первого номера — 12 тысяч экземпляров — разошёлся почти мгновенно, и пришлось срочно организовать выпуск второго тиража — ещё дополнительно 20 тысяч.

Кроме журнала "Радиолюбитель", организовались другие издания. В конце 1924 г. появилась радиолюбительская организация — "Общество друзей радио" (ОДР), которая начала издавать в Москве свой радиолюбительский журнал "Радио всем", первый номер которого вышел 15 сентября

Читатели, приславшие в редакцию любые пять из шести купонов за полугодие, смогут претендовать на один из призов.

Год издания VII

Ежемесячный журнал
ВЦСПС и МОСПС
№ 11—12

РАДИОЛЮБИТЕЛЬ

Пролетарий всех стран, соединяющий

посвященный
общественным и техни-
ческим вопросам радио-
любительства

1930



К мобилизации сил советского радиолюбительства

Мы выпускаем последний номер журнала "Радиолюбитель", обединяющийся, под общей редакцией ВЦСПС и ОДР, с журналом "Радиофронт".

Чем вызывается это обединение? Оно вытекает из необходимости усилить организованность на литературном фронте радио, вместе с необходимым усиlemenем организованности по линии радиофикации страны, излучающей подготовки технико-производственной базы, широчайшего использования радио в социалистическом строительстве, развертывания подготовки кадров и, следовательно, развития большей массовости советского радиолюбительства — создания действительно массовой общественной лаборатории.

Разрозненность усилий на фронте радиотехнической и общественной литературы как в области периодики, так и непериодических изданий, не устрашена до сих пор. При необходимости решительного усиления всякой рода радиоизданий по количеству, вместе с тем необходимо достигнуть наибольшего единства и плотности для того, чтобы резко улучшить качество всего того, что выпускается для советского радиолюбителя, радиослушателя и связанных с радиофикацией профessionально-технических и общественных кадров.

Много издательств, но разрозненно, случайно, выбрасываясь на книжный рынок радиолитературу. Это в области непериодики. Периодические же издания в свою очередь оставались не приведенными в строковую систему и между ними выились в городе большей степени моменты конкуренции, нежели необходимости сосоревнования, которое должно быть во всех звеньях социалистической стойки.

Кроме того, имеющиеся силы техников общественников — литераторов не могли быть при этих условиях достаточно полно использованы, несмотря на их крайний недостаток.

РАДИОЛЮБИТЕЛЬ № 11-12

Статья "К мобилизации сил советского радиолюбительства"
("Радиолюбитель", 1930, № 11-12, с. 369).

номере журнала "Радио" за 1946 г., который вышел в самом начале мая ко Дню радио, были опубликованы письма чл.-корр. Академии наук СССР А. И. Берга: "Возобновление выхода радиолюбительского журнала после длительного перерыва, вызванного войной, является весьма отрадным фактом. Продолжающееся быстрое развитие радиотехники требует привлечения огромного количества новых кадров. Журналу "Радио" предстоит большая и ответственная работа по вербовке этих кадров и по распространению знаний для повышения их квалификации. ... От души желаю журналу "Радио" справиться со своими задачами и удовлетворить огромную тягу к знаниям, столь характерную для народов нашей великой Родины" ... и проф., лауреата Сталинской премии А. Л. Минца: "... Следует пожелать, чтобы журнал

В свою очередь, шедшее разрозненно развитие радиолюбительства по линии профессоров ОДР требует единого русла — ОДР на базе массовой организации рабочего класса — профсоюзов. Поэтому все стороны общественной радиодействительности, включая и радиолитературу, должны быть наизвестнейшей степени обединены.

Какая жерисуется перспектива на фронте радиолитературы и, прежде всего, по линии периодики? Газета "Радио в деревне", журнал "Радиофронт" и "Радиосборник", — должны представлять собою струйную систему радиоизданий, каждое из которых рассчитано на определенную степень массовой подготовки радиокадров и текущего обслуживания уже имеющихся техников — любителей и професионалов.

Это не значит, что данные издания могут исчерпать потребность в радиоперIODИКАХ даже и в 1931 г. Программу изданий необходимо будет расширять, в особенности для большого внедрения радио в районы, для организации крепких баз в индустриальных пунктах.

Многогранность требований, предъявляемых к освещению в радиопечати по линии техники, производства, плана, распространения радиоприемников, организации коллективного слушания, радиотеатра и т. д., — выывает необходимость безусловного расширения того объема, который уже теперь является недостаточным и сдерживаемым лишь бумажными ресурсами.

Расширение использования коротких и ультракоротких волн, выявленное огромной потребностью не только в общей радиофикации, но и в радиосвязи для обеспечения социалистической индустриализации, для помощи решительному социалистическому наступлению на кухне, — требуют массового развертывания радиотехнической подготовки и помощи в ней периодической и непериодической литературы.

РадиоперIODИКА должна вызвать развертывание ударничества и соцсоревнования во всей работе организаций ОДР на базе массовых организаций профсоюзов. Глубокая и жесткая критика и самокритика — должны быть оружием радиопрессы в немецкой степени, чем в общем — партийной, советской и профсоюзной печати. И здесь много нужно наверстать.

Для решения больших задач, которые стоят перед радио, для наибольшего и лучшего применения его в различных частях социалистического строительства и классовой борьбы мы должны организовать крепкий радиофронт через оживление и развертывание работы ОДР, через укрепление, усиление его классовых позиций на базе массовой организации рабочего класса — профсоюзов.

Советский радиолюбитель — общественник, участник социалистического строительства — с еще большим энтузиазмом, подъемом энергии должен оказать помощь партии, советскому государству в максимально выполнении главы радиофикации, в расширении и многостороннем применении радио для усиления обороны СССР, политической, культурно-просветительской работы и организации социалистического быта!

любимым другом каждого советского радиолюбителя". Из этого можно сделать несколько выводов: во-первых, в советское время в стране выпускался лишь один радиолюбительский журнал, во-вторых, доподлинно неизвестно, но поскольку в названиях предшественников фигурировало слово "радио", логично предположить, что именно по этой причине единственный журнал для радиолюбителей поменял свое название. Поэтому можно считать, что "Радио" продолжал и продолжает традиции, заложенные его предшественниками, в частности, первым журналом — журналом "Радиолюбитель".

Ответственным (главным) редактором журнала "Радио" с 1946 г. по 1952 г. был известный коротковолновик Н. А. Байкузов, в войну ставший крупным организатором связи в авиации. В 1953—1955 гг. этот пост занимал известный радиотехник Б. Н. Можжевелов. С 1956 г. по середину 1958 г. главным редактором был видный учёный В. И. Сифоров, которого на этом посту сменил Ф. С. Вишневецкий, проработавший в журнале до 1973 г. С 1974 г. по 1998 г. должность главного редактора журнала "Радио" занимал А. В. Гороховский. В конце 80-х годов прошлого столетия тираж журнала "Радио" достиг рекордных полутора миллионов экземпляров. И даже при таком тираже подписаться на журнал можно было лишь с "нагрузкой" — подписным изданием, не пользовавшимся спросом у читателей. С 1998 г. по 2010 г. главным редактором был Ю. И. Крылов.

За столетнее существование на страницах журнала было опубликовано множество статей, которые на определенных этапах выполняли важную функцию в жизни страны.

Подробное описание детекторного радиоприемника С. И. Шапошникова из Нижегородской лаборатории, опубликованное в статье "Самодельный приемник с диапазоном волн от 330 до 1500 м" в журнале "Радиолюбитель" № 7 в 1924 г. на с. 107, 108, сыграло важную роль в радиофикации страны. Этот приёмник пользовался заслуженной большой популярностью, его повторили тысячи радиолюбителей.

Возобновление выхода радиолюбительского журнала после длительного перерыва, вызванного войной, является весьма отрадным фактом.

Продолжающееся быстрое развитие радиотехники требует привлечения огромного количества новых кадров. Журналу "Радио" предстоит большая и ответственная работа по вербовке этих кадров и по распространению знаний для повышения их квалификации. Люди, собирающиеся посвятить свою жизнь и деятельность развитию советского радио, не пожалеют об этом, так как именно у нас в ближайшие годы будет проведена работа большого размаха для того, чтобы донести и перенести радиотехнику из пределов нашей страны. Нам предстоит широко развернуть радиовещание, развить магистральную связь, телевидение, радионавигацию и радиолокацию.

От души желаю журналу "Радио" справиться со своими задачами и удовлетворить огромную тягу к знаниям, столь характерную для народов нашей великой Родины:

Член-корреспондент Академии наук СССР, инженер вице-адмирал А. И. БЕРГ

3

Письмо А. И. Берга ("Радио", 1946, № 1, с. 3).

Интерес к детекторным радиоприемникам, в том числе к конструкции С. И. Шапошникова, возрос после окончания Великой Отечественной войны, особенно в районах, пострадавших от боевых действий. И в этом журнал

Август
2024 год

100
лет

Продолжим лучшие традиции

Сердечно приветствуя и поздравляю советских радиолюбителей с возобновлением издания журнала, привнесенного помоему в их необычайно увлекательной работе, столь важной для нашей Родины. Следует пожелать, чтобы журнал «Радио» стал достойным преемником своих славных предшественников — «Радиолюбителя» и «Радиофронта», продолжая их лучшие традиции.

Выход журнала совпадает с празднованием первого Дня радио, отмечающего историческую дату изобретения выдающимся русским физиком А. С. Поповым беспроводного телеграфа. Можно быть твёрдо уверенным, что наши радиолюбители будут способными и упорными продолжателями дела, начатого нашим великим соотечественником.

Перед советскими радиолюбителями сейчас открываются исключительно интересные перспективы расширения своего опыта и знаний в области новых диапазонов УКВ, дециметровых и сантиметровых волн, в области телевидения и т. д.

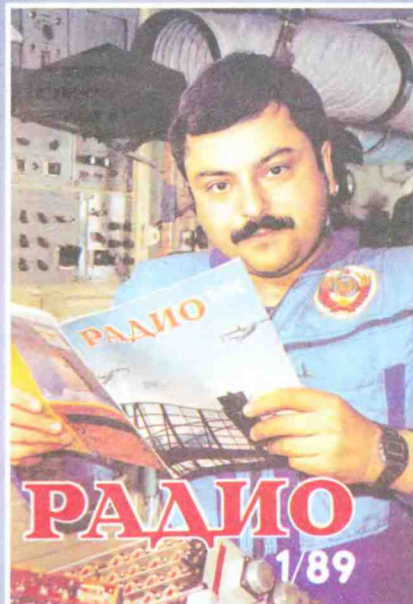
В настоящее время, когда в нашей стране развертывается в невиданных масштабах работа во всех областях науки и техники в связи с осуществлением грандиозного пятилетнего плана, предначертанного великим Сталиным, журналу «Радио» необходимо уделять особое внимание работе над повышением квалификации своих читателей, с тем чтобы из их среды выдвигались одарённые и настойчивые радиолюбители, способные пополнить кадры научно-исследовательских институтов и заводов, решавших проблемы радиосвязи и радиолокации.

Пожелаем же журналу «Радио» быть верным техническим советником и любимым другом каждого советского радиолюбителя.

проф. А. Л. МИНЦ,
лауреат Сталинской премии

В 1980 г. были организованы первые очные соревнования, быстро завоевавшие широкую популярность. Многие годы редакция проводит и освещает соревнования на КВ: "Старый Новый год", "YL-OM CONTEST", "Мемориал А. С. Попова", "Russian RADIO RTTY Contest", "Молодёжный кубок им. А. С. Попова", "Память".

В 1988 г., по инициативе сотрудников НПО «Энергия» и редакции журнала «Радио», на борт орбитальной космической станции «Мир» была доставлена любительская радиостанция. Со временем изучение основ работы в радиолюбительском эфире вошло в обязательную программу подготовки космонавтов. Сейчас на борту Международной космической станции (МКС) также работает любительская радиостанция.



Космонавт Муса Манаев на борту орбитальной станции «Мир» читает журнал «Радио».

«Радио» оказал помощь, опубликовав статью Л. В. Кубаркина «Схемы детекторных приёмников» (1946 г., № 1, с. 58—61) и разработку лаборатории журнала «Простой детекторный» (1946 г., № 2, с. 58, 59).

В 1924 г. в журнале «Радиолюбитель» был опубликован цикл статей «Шаг за шагом», ориентированный в основном на начинающих радиолюбителей. Цикл статей с таким же названием был опубликован в журнале «Радио» в 1959 г. В это же время был создан специальный раздел для начинающих радиолюбителей, в котором публиковались описания простых конструкций.

На протяжении всего существования журнал популяризировал новые радиолампы, транзисторы, микросхемы, которые применяли читатели в своих конструкциях.

Неоднократно были опубликованы статьи о ламповых радиоприёмниках, от простейших прямого усиления до супергетеродинных, в том числе разработанных в лабораториях журнала. В 30-е годы проводились заочные радиолюбительские выставки, по результатам которых на страницах появлялись описания некоторых экспонатов. Перед самой войной, например, была опубликована статья о супергетеродине на двадцати (!) лампах. После войны стали регулярно проводиться очные Всесоюзные выставки творчества радиолюбителей-конструкторов. В их организации и публикации описаний наиболее интересных разработок активное участие принимал журнал «Радио».

Ещё в журнале «Радиофронт» в начале 30-х годов прошлого столетия начались публикации описаний первых любительских телевизоров, сначала с механической разверткой, а перед началом Великой Отечественной войны — и электронных телевизоров. После войны любительские разработки телевизоров заняли одно из ведущих мест на страницах журнала.

В 1935 г. в журнале «Радиофронт» была описана звукозаписывающая установка В. Д. Охотникова, положившая начало новому направлению в творчестве радиолюбителей, широкий размах которого пришёлся на 60—80-е годы прошлого столетия на основе магнитной записи. На страницах «Радио» было множество публикаций по магнитной звукозаписи, высококачественным проигрывателям пластинок, усилителям мощности звуковой частоты, акустическим системам.

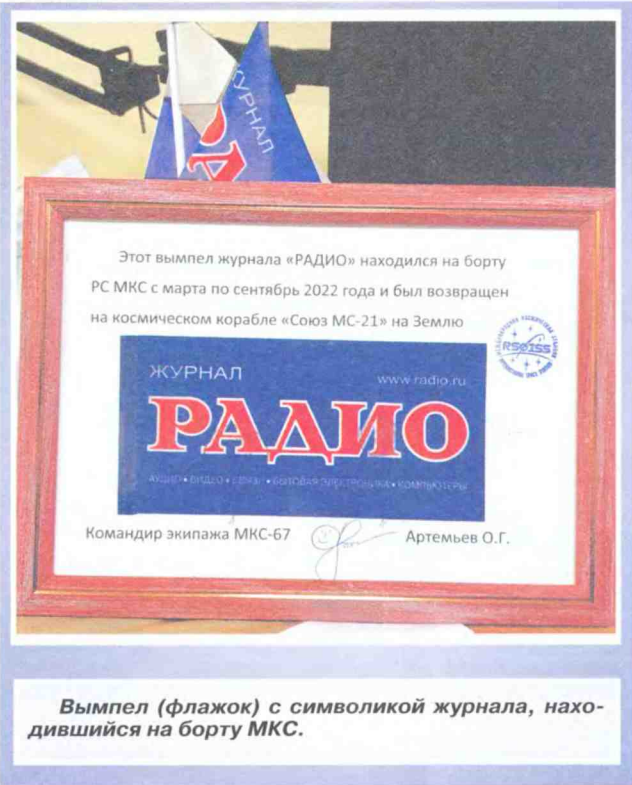
Когда промышленность начала выпуск первых транзисторов, в конце 50-х годов прошлого столетия на страницах журнала появились описания первых транзistorных радиоприёмников. Кроме того, были опубликованы статьи об их проектировании.

В 50-е годы прошлого столетия радиолюбители — читатели журнала — принимали активное участие в составлении карты электропроводимости почвы на территории СССР. Благодаря этому карта была составлена всего за три года. В 1957 г. журнал по предложению Академии наук СССР подготовил радиолюбителей к приёму сигналов первого в мире ИСЗ. А в 1978 г. были запущены первые отечественные любительские спутники связи «Радио-1» и «Радио-2», в создании и запуске которых важную организационную роль сыграл журнал «Радио».

Ещё в журналах «Радиолюбитель» и «Радио всем» появились разделы, посвящённые любительской радиосвязи. Журнал «Радио» продолжал заниматься пропагандой любительской радиосвязи. Были опубликованы описания первых любительских трансиверов А. Джунковского и Я. Лаповка, а также получившего широкое распространение трансивера Ю. Кудрявцева, известного среди радиолюбителей как «UW3DI». В № 6 и № 7 за 1976 г. был описан трансивер «Радио-76», разработанный в лаборатории редакции.

Продолжается сотрудничество редакции журнала с правнуком К. Э. Цилковского, главным специалистом ПАО «РКК «Энергия» им. С. П. Королёва», руководителем радиолюбительской деятельности на орбитальном комплексе «Мир» и МКС Сергеем Николаевичем Самбуровым и космонавтами. В своё время редакцию посетили лётчики-космонавты Муса Манаев, Сергей Крикалёв и Олег Артемьев. Журнал «Радио» побывал на борту станций «Мир» и МКС. Вымпел (флажок) с символикой журнала находился на борту МКС с марта по сентябрь 2022 г. и благополучно вернулся на Землю на космическом корабле «Союз МС-21».

В начале 80-х годов прошлого столетия журнал «Радио» развернул работу по привлечению радиолюбителей к освоению основ вычислительной техники. В апрельском номере журнала



Вымпел (флажок) с символикой журнала, находившийся на борту МКС.

за 1986 г. началась публикация цикла статей о персональном радиолюбительском компьютере "Радио-86РК". По описанию тысячи радиолюбителей взялись за самостоятельное изготовление персональных компьютеров. Более того, несколько предприяли серийный выпуск этого компьютера в различных модификациях. В продолжение этой темы в 2021 г. на страницах журнала было опубликовано описание персонального радиолюбительского компьютера КРИСС на современной элементной базе.

Для журнала основная задача была и остаётся — дать читателям на страницах "пищу" для самостоятельного творчества. В своё время видный популяризатор науки и техники В. Орлов очень точно подметил, что журнал "Радио" надо читать с паяльником и карандашом в руках. Это в полной мере относится и к его предшественникам — журналам "Радиолюбитель", "Радио всем" и "Радиофронт".

За активную работу по пропаганде радиотехнических знаний и выдающийся вклад в развитие радиолюбительского движения, патриотическое воспитание молодёжи, помощь в профессиональной подготовке военнослужащих, коллектив редакции журнала "Радио" в 1974 г. был награждён Почётным знаком ЦК ДОСААФ СССР и орденом Трудового Красного Знамени.

Многое изменилось в области радио за сто лет, прошедших с момента выхода из печати первого номера журнала "Радиолюбитель". Неизменным остаётся только одно — все эти годы журнал был и остаётся пропагандистом радиотехнических знаний, хранителем истории отечественной радиотехники и радиолюбительства.

Все эти годы вместе с редакцией журнал делали авторы из самых разных уголков нашей страны и из зарубежных стран.

Поздравляем всех авторов и читателей журнала с юбилеем!

Редакция

"Голубой зуб" над голубой планетой

А. ГОЛЫШКО, канд. техн. наук, г. Москва

*"Иногда нужно обойти весь мир,
чтобы понять, что клад зарыт у твоего
собственного дома".*

Паоло Коэлья

когда-то уже рассказывалось на страницах журнала.

Bluetooth или "голубой зуб" — это буквальный перевод с английского прозвища короля викингов Харальда I Синезубого, который вошёл в историю как правитель, объединивший враждовавшие датские племена в единое королевство. Под этим подразумевается, что Bluetooth делает то же самое с различными устройствами.

В основе технологии Bluetooth (семейство стандартов IEEE 802.15) лежит метод расширения спектра со скачкообразной перестройкой частоты (FHSS, Frequency Hopping Spread Spectrum). Изначальная версия стандарта разбивала рабочий диапазон радиочастот 2,402...2,48 ГГц на 79 радиоканалов. Устройство 1600 раз в секунду псевдослучайным образом выбирает один из них и передаёт пакеты данных. Устройства, передающие данные одинаковым образом, объединяются в пикосеть. В таких сетях есть два вида устройств: главное (ведущее) и периферийные (ведомые). Протокол Bluetooth поддерживает режим работы standby. Он позволяет сопряжённым устройствам запоминать друг друга и автоматически подключаться заново после выключения или перезагрузки.

С момента появления протокол успел несколько раз обновиться и доработаться с версии 1.0 до 5.4. Это было так.

Версия 1.0 появилась в 1999 г. Она не поддерживала анонимное подключение

Как отметили многие профильные СМИ, весной 2024 г. американский космический стартап Hubble Network сообщил, что их спутник первым в мире установил Bluetooth-соединение с поверхностью Земли, находясь над ней на орбите высотой около 645 км. Пресс-служба компании рассказала о своём достижении 29 апреля 2024 г. на официальном сайте.

Поскольку в центре этого события оказалась беспроводная технология Bluetooth, разработанная более 25 лет назад для связи различных устройств на расстояниях не более 10 м, журнал просто не мог пройти мимо. Но сначала немного о самой технологии, интерфейсе и стандарте, которые за время своего существования претерпели множество изменений и о которых

ние, требовала обмена адресами между устройствами, а связь часто обрывалась. В версии 1.1 скорость передачи данных доходила до 1 Мбит/с.

Версия 2.0 с поддержкой EDR — Enhanced Data Rate (2004 г.). Скорость соединения — до 3 Мбит/с. По сравнению с первой версией протокола сигнал стал стабильнее, а энергозатраты сократились в два раза. Выпущенная позднее версия 2.1 поддерживала технологию Sniff-Subrating, снижающую энергопотребление Bluetooth-модулей в 3...10 раз в зависимости от устройства.

Версия 3.0 с поддержкой HS, или High Speed, вышла в 2009 г. и использовала два канала для передачи данных. Если требовалось передать небольшие файлы, то использовался энергосберегающий канал со скоростью до 3 Мбит/с, т. е. Bluetooth 2.0, а для передачи больших файлов включался новый HS-канал со скоростью до 24 Мбит/с.

Версия 4.0 (2010 г.) — к старым протоколам был добавлен новый режим с низким энергопотреблением, позволяющий взаимодействовать с малыми датчиками LE — Low Energy. Эта модификация Bluetooth используется в медицинских девайсах, спортивной обуви или тренажёрах. Датчики LE могут работать годами от небольшого источника питания, периодически включаясь для отправки данных на ведущее устройство. В четвёртой версии Bluetooth также появилось 128-битное AES-шифрование, повышающее безопасность передаваемых данных.

Версия 5.0 (2016 г.) — скорость передачи данных увеличилась до 48 Мбит/с. На конец 2023 г. актуальная версия стандарта — 5.4.

В версиях, начиная с Bluetooth 5.2, появилось несколько новых сопутствующих технологий:

— Enhanced Attribute protocol (EATT) обеспечивает дополнительное шифрование передаваемых данных;

— LE Power Control позволяет регулировать мощность передатчиков в устройствах, адаптируя их к расстоянию между ними;

— LE Isochronous Channels используется в беспроводных головных телефонах и аудиосистемах. Позволяет синхронизировать проигрывание музыки на нескольких устройствах одновременно.

Скорость передачи данных в Bluetooth определяется версией протокола и расстоянием между устройствами. К примеру, версии 5.0 и старше поддерживают передачу данных со скоростью до 48 Мбит/с, что вдвое больше, чем в версии 4.0. Но чем больше дистанция, тем медленнее соединение.

В зависимости от расстояния Bluetooth-датчики делятся на три класса:

Первый класс способен поддерживать устойчивую связь на расстоянии 100...200 м. В бытовых устройствах встречается редко и используется на промышленном оборудовании.

Второй класс удерживает стабильную связь на расстоянии 10...20 м. Такие датчики чаще всего установлены в смартфонах или планшетах.

Третий класс наименее мощный и подходит для объединения устройств на расстоянии до 5 м. Устанавливается на небольших гаджетах, например, фитнес-браслетах, умных часах и так далее.

Упомянутое выше большое число изменений Bluetooth включало в себя:

- быстрое подключение и обнаружение;

- увеличение скорости передачи данных;

- повышение стойкости к радиопомехам;

- повышение защищённости соединения и др.

В истории развития этой технологии реальным скачком стала версия Bluetooth 4.0, в которой был представлен Bluetooth с низким энергопотреблением (BLE). Из его названия понятно, что это точно пригодится для Интернета вещей (IoT, Internet of Things). До появления BLE на рынке активно развивался Bluetooth Classic (BR/EDR), который используется в беспроводных громкоговорителях, автомобильных информационно-развлекательных системах и головных телефонах.

На самом деле существует большая разница между "классическим" Bluetooth и Bluetooth с низким энергопотреблением с точки зрения технических спецификаций, реализации и типов приложений, для которых они предназначены. Кроме того, они несовместимы друг с другом.

Функционал BT classic:

- используется для потоковых приложений, таких как трансляция аудио- и видеоконтента и непрерывной передачи данных;

- не оптимизирован для низкого энергопотребления, но поддерживает большую скорость передачи (максимум 3 Мбит/с);

- использует 79 радиоканалов;

- обнаружение происходит в 32 каналах.

Функционал BLE:

- используется в сенсорах и для управления устройствами и приложениями, не требующими передачи больших объёмов данных (максимум 2 Мбит/с);

- предназначен для применения в малопотребляющих устройствах с большими интервалами между передачей данных;

- использует 40 радиоканалов;

- обнаружение происходит в трёх каналах, что приводит к более быстрому обнаружению и установке соединения.

Недавно Bluetooth SIG завершила разработку спецификации Bluetooth LE Audio, которая позволит сделать беспроводные аудиоустройства более энергоэффективными, поскольку они будут использовать BLE вместо BT classic.

Bluetooth Special Interest Group (SIG) — это группа компаний, которые работают вместе над развитием и продвижением технологий, позволяющих осуществлять беспроводную связь между устройствами с небольшим радиусом действия. К таким устройствам относятся смартфоны, планшеты, ноутбуки, компьютеры, принтеры и другие.

В BT classic все устройства в сети, образующие пикосеть, делятся на ведущие (master) и подчинённые (slave).

Основные принципы:

- обмен информацией может осуществляться только между ведущим и подчинённым устройствами, при этом каждое устройство может быть как ведущим, так и подчинённым;

- основным элементом организации сетей Bluetooth является пикосеть, состоящая из одного ведущего устройства и от одного до семи активных подчинённых устройств;

- в одну пикосеть может входить неограниченное число устройств, находящихся в неактивном режиме;

- подчинённое устройство может общаться только с ведущим, причём только тогда, когда это разрешает ведущее устройство;

- в каждый момент времени обмен данными может идти только между двумя устройствами в одном направлении;

- любое устройство одной пикосети может также входить в другую пикосеть в качестве как подчинённого, так и ведущего.

BLE также поддерживает упомянутую выше модель пикосети BT classic. Но даже тут BLE привнёс свои нововведения. Это новая топология сети Mesh. Цель Mesh — увеличение дальности связи сетей BLE и обеспечение поддержки индустриальных приложений, использующих технологию BLE. С Bluetooth Mesh устройства могут работать в ячеистой топологии по схеме "многие ко многим".

Топология mesh-сети даёт два важных преимущества:

- увеличенная дальность связи;

- участники сети могут ретранслировать данные для передачи устройствам, находящимся на большем расстоянии от передатчика, размер сети и число устройств в них могут быть значительно увеличены;

- способность сети к самовосстановлению, если один из элементов сети выйдет из строя, остальные продолжат работу и смогут передавать данные друг другу.

Bluetooth Mesh — это вообще отдельный стандарт со своей спецификацией, стеком протоколов и т. д. Для него в 2017 г. в Bluetooth 5.0 была добавлена спецификация Mesh Profile.

Ячеистую сеть Bluetooth LE отличает от Zigbee и других технологий, в первую очередь, широковещательная передача сообщений. В отличие от других беспроводных сетей, основанных на маршрутизации, mesh-протокол BLE использует принцип managed flood (управляемый широковещательной рассылки).

Этот подход предлагает модель одноранговой связи, в которой все устройства взаимодействуют напрямую друг с другом. Управляемая рассылка позволяет обмениваться сообщениями без сложных алгоритмов маршрутизации. Не нужно использовать центральный хаб и можно передавать сообщения нужным устройствам без задержек и сбоев.

Самодостаточность узлов в сочетании с многопутевым обменом сообще-

ниями облегчает масштабируемость ячеистой сети BLE. Можно создавать множество сетей со множеством узлов.

В ячеистой BLE-сети узлы используются для связи модель публикации/подписки. Производители данных — издатели, которые отправляют сообщения группе устройств. Чтобы получать сообщения, устройство должно подписаться на определённый адрес или группу адресов.

Такой тип обмена сообщениями позволяет настраивать устройства BLE mesh для формирования сегментов сети различного масштаба и назначения. В результате технология становится ещё более гибкой и управляемой.

Архитектура BLE mesh имеет многоуровневую структуру, типичную для любой коммуникационной сети:

- верхние уровни обрабатывают текст сообщения;
- средние уровни ответственны за логику и поведение сети;
- нижние уровни осуществляют фактическую передачу сообщений.

В ячеистой сети Bluetooth особое внимание уделяется безопасности. Для всех коммуникаций доступны решения шифрования и аутентификации на основе алгоритмов AES-CMAC и AES-CCM. Ключи безопасности защищают содержимое сообщений и обеспечивают конфиденциальную связь между узлами.

Использование учётных данных безопасности предотвращает несанкционированный доступ к ячеистой сети BLE. Инициализация или добавление устройства в сеть также безопасно. Новому узлу, добавленному в сеть, предоставляются уникальный идентификатор и доступ к ключам безопасности. Ячеистую сеть можно создать, используя практически любой чип Bluetooth LE или микроконтроллер, поддерживающий эту технологию.

Но вернёмся к дальнобойному Bluetooth. Выяснилось, что некоторые передовые умы из пула радиоинженеров уже сравнительно давно вынашивали идею существенного увеличения дальности действия Bluetooth. Дальнобойный вариант был разработан компанией Qualcomm и используется в современных автомобилях. Он позволяет передавать данные между различными устройствами, такими как смартфоны, планшеты, навигаторы и другие.

Как это работает? Дальнобойный Bluetooth использует специальный протокол передачи данных, который обеспечивает высокую скорость передачи информации. Кроме того, он использует антенну с высоким коэффициентом усиления, что позволяет увеличить дальность действия. Благодаря этому дальнобойный Bluetooth позволяет передавать данные на большие расстояния без потери качества связи. Например, если вы находитесь в машине на трассе, вы можете использовать свой смартфон для прослушивания музыки или просмотра фильмов без необходимости подключения к Интернету.

Кроме того, дальнобойный Bluetooth имеет множество других преимуществ. Он обеспечивает более надёжную связь, чем обычный Bluetooth, и может

работать даже в условиях сильных помех. Это особенно важно для водителей, которые часто находятся в движении и могут столкнуться с различными препятствиями на дороге.

Однако не только автомашинами ограничивается его применение. Согласно сообщению журнала Хакер от 5 июля 2007 г., компания Aircable анонсировала в то самое время впечатляющий по своим характеристикам Bluetooth-адаптер Aircable Host XR. Передатчик подключается к USB-портам и способен, внимание, передавать информацию на невероятное расстояние, до 30 (!) км, тогда как отдельные особо дальнобойные и привычные нам Bluetooth-устройства способны работать на расстоянии до 100 м.

Aircable Host XR оснащён двумя антennами. Первая обеспечивает дальность работы до 1 км (что, согласитесь, тоже неплохо), а вторая — заявленные 30 км! Адаптер совместим с популярными ОС Windows, Mac OS X и Linux. Реклама утверждает, что теперь Bluetooth можно использовать для построения сетей в малонаселённых районах, быстро передавать почтовые сообщения и многое другое. Невысокая стоимость передатчика и простота обращения с известным протоколом гарантируют, что теперь Bluetooth будут использовать в совершенно новом качестве.

Подключение к ПК и программное (BASIC) управление адаптера промышленного типа осуществляются по интерфейсу RS-232. AIRCable Industrial XR оснащается Li-ion батареей большой ёмкости. Помимо этого, дополнительное питание можно получать от солнечных батарей. Внешняя антенна, которая предустановлена, позволяет работать с устройствами ячеистой сети на расстояниях до 1 км. Со внесенаправленной антенной радиус действия увеличивается до 2 км, направленная антенна позволит работать на удалении до 10 км, а большая внешняя антенна обеспечит радиус до 30 км.

Устройство можно программировать и настраивать на нужный режим работы. Поддерживаются такие элементы стандарта Bluetooth 2.0: Bluetooth-FTP, Bluetooth-OBEX, Bluetooth-SSP. Это позволяет обеспечивать передачу файлов по протоколу FTP, организовать режим работы клиент—сервер между различными устройствами (телефоны, КПК, ПК), поддерживающими стандарт Bluetooth 2.0. Дальнобойный Bluetooth-адаптер Industrial XR оценивается в 299 долл.

Ну а теперь, в 2024 г. дальнобойный Bluetooth работает на расстоянии до 600 с лишним километров. И внедрение космического Bluetooth обеспечит возможность сопряжения различных пользовательских устройств, находящихся на разных континентах. Технология весьма перспективна и для космической отрасли — с её помощью также можно устанавливать каналы связи между спутниками и космическими аппаратами.

В марте 2024 г. инженеры компании Hubble Network запустили на орбиту два спутника в рамках миссии SpaceX

Transporter-10. За пару месяцев компания протестировала передачу данных на дальние расстояния посредством протокола Bluetooth. Внутри спутников были установлены соответствующие чипы Bluetooth размерами 3,5×3,5 мм, а информацию удалось передать более чем на 645 км.

Это обновление позволило передавать данные на большие расстояния посредством маломощных сигналов с помощью спутниковых антенн с фазированными решётками. Также специалисты Hubble Network устранили проблемы, связанные с эффектом Доплера и соответствующим сдвигом частот, поскольку данные приходилось передавать между объектами, движущимися на высоких скоростях.

Издание TechCrunch уточняет, что стартап Hubble Network запатентовал также фазированную antennную решётку для небольших спутников, усиливающую в обоих направлениях сигналы Bluetooth. Её действие аналогично действию в радиодиапазоне своеобразного увеличительного стекла. Подобная антenna способна улавливать с орбиты сигналы Bluetooth, эффективный радиус действия которых может достигать около 1 км.

Представители компании сообщают Hubble Network, что новую технологию можно использовать для быстрой связи со спутниками и другими космическими аппаратами. Технология может найти применение в построении IoT без использования Wi-Fi или наземной мобильной связи.

Bluetooth с возможностью передачи данных на километры можно использовать в смарт-часах для слежения за детьми. В сельском хозяйстве для отслеживания скота, в умных ошейниках для животных, а также в сфере медицины или в транспортной сфере для контроля логистических цепочек. Технология от Hubble Network обещает дать устройствам IoT и вычислительному оборудованию ещё один способ обмена данными, помимо уже привычного широкополосного доступа по проводам, кабелям и эфиру. Как известно, традиционные сети связи часто терпят неудачу. У них наблюдаются проблемы с покрытием в отдалённых районах, подчас они потребляют слишком много энергии и стоят они порой слишком дорого, чтобы эффективно работать в глобальном масштабе. В этом смысле Bluetooth-соединение более энергоэффективно, и на него тратится меньше энергии аккумуляторной батареи.

Фактически Hubble Network заявляет, что её технология может работать на стандартных чипах Bluetooth посредством обновления программного обеспечения (ПО), а не каких-либо изменений в оборудовании. По словам разработчиков, это может дать глобальное покрытие в 20 раз с меньшим расходом энергии батареи и в 50 раз с меньшими эксплуатационными расходами. Собственно, это не просто улучшение, а глобальная трансформация.

В будущем стартап Hubble Network намерен открыть технологию для всех желающих. Компания, которая решит интегрировать этот Bluetooth в свои

продукты, нужно будет оснастить тот или иной гаджет особыми чипами от Hubble Network и подключиться к внутренней сети компании-производителя под названием Hubble. Однако пока компания не раскрыла технических подробностей того, как именно спутники принимают сигналы Bluetooth, а также не упоминает об объёме передаваемых данных или скорости соединения.

По данным Hubble Network, компания уже работает с первыми заказчиками в таких секторах как потребительские устройства, строительство, инфраструктура, цепочки поставок, логистика, нефть и газ и оборона, чтобы изучить возможности использования этой технологии. В 2023 г. стартап Hubble Network привлек 20 млн долл. за счёт финансирования серии А (это первый значительный этап акционерного финансирования, который стартап ищет у фирм после привлечения первоначального капитала).

Стартап Hubble был основан в 2021 г. Алексом Харо, соучредителем компаний Life360, вместе с Беном Уайлдом, основателем и руководителем компаний Iotera, и аэрокосмическим инженером Джоном Кимом. Когда Харо впер-

вые познакомили с идеей подключения к спутнику по Bluetooth, он назвал её безумной, особенно учитывая его предыдущий опыт решения этой самой проблемы при попытке создать GPS-часы для детей. Однако решение этой конкретной задачи в конечном итоге стало непреодолимым, особенно потому, что существующие наземные и спутниковые сети часто не справляются со своими задачами, испытывают трудности с покрытием в отдалённых районах и потребляют слишком много энергии, не говоря уже об их высоких эксплуатационных расходах в глобальном масштабе. Собственно, уже рассмотренные на страницах журнала темы связи со спутником с простого смартфона из той же серии.

К имеющимся у компании двум спутникам на орбите в феврале следующего года по плану добавятся третий и четвёртый в рамках миссий SpaceX Transporter-11 и SpaceX Transporter-13. В планах компании нарастить группировку спутников до 32 единиц, что позволит развернуть сеть на уровне полноценной работы к началу 2026 г. Если это случится, то компания рассчитывает на подключение порядка одного миллиарда устройств (по крайней мере,

такие планы были озвучены в рамках раунда привлечения инвестиций).

Вот тогда и увидим, что из всего этого получится.

По материалам

<https://xaker.ru/2007/07/05/39105/>,

<https://habr.com/ru/companies/dse/c/articles/685514/>,

<https://skillbox.ru/media/code/chtotko-blueooth-i-kak-on-rabotaet/?ysclid=lwkcvrdw3726184601>,

<https://zoom.cnews.ru/news/item/599756?ysclid=lvw4rfbhjs576537830>,

https://itcrumbs.ru/dalnovojnyj-blueooth-rabotaet-na-rasstoyaniido-600-kilometrov_92230,

https://www.cnews.ru/news/top/2024-05-07_sputnik_vpervye-ustanovil,

https://hi-tech.mail.ru/news/109491-sputnik_vpervye-ustanovil-soedinenie-s-zemlej-po-blueooth/,

<https://podberitariff.ru/blog/post/589/dalnovojnyj-blueooth-kak-rabotaet-i-kakie-preimushhestviateet/?ysclid=lwkdsxxzjz900058085>

УКВ-блок с увеличенным динамическим диапазоном для радиоприёмников "Океан" и Selena

Часть 2

ХАЙО ЛОХНИ, Германия/Россия, г. Гай Оренбургской обл.

В этом разделе освещены особые моменты при подборе компонентов и монтаже УКВ-блока с увеличенным динамическим диапазоном. Даны рекомендации для проведения измерений. Таким образом, этот проект станет подъёмным и для менее опытного радиолюбителя, если в распоряжении есть измеритель АЧХ до 120 МГц (желательно до 250 МГц) и измеритель RLC для типичных УКВ-компонентов — катушек индуктивности от 1 нГн и конденсаторов от 0,1 пФ. При хорошей подготовке компонентов получается проект "выходного дня".

1. Особенности монтажа и налаживания

Ниже приводятся особенности монтажа и налаживания УКВ-блока с увели-

ченным ДД. Основные моменты были обсуждены ранее в [1, 2]. Сначала проводят монтаж и налаживание отдельных узлов, которые затем не подлежат никакой коррекции. Монтаж проводит-

ся на печатной плате, показанной на рис. 1.

1.1. Заградительный фильтр 205±21 МГц

Если нет возможности измерением проверить этот узел, лучше его не устанавливать и взамен резистора R8 поставить SMD-перемычку (0R0 типа размера 1206 или 0805). Другие настройки от этого не зависят. Однако позже уже не получится установить этот узел и измерить его параметры без частичного демонтажа уже установленных элементов. Устанавливают элементы L7, L8, C16, C17, R8. Применены катушки индуктивности по 15 нГн в корпусе типоразмера 0603, конденсаторы типоразмера 0805 или 0603 (рис. 2). Проводят АЧХ заградительного фильтра в диапазоне 205±21 МГц при входном и выходном импедансах измерителя по 50 Ом. АЧХ должна иметь провал на 6...8 дБ, как показано на рис. 3 (цена деления по вертикали — 2 дБ/дел.). Конденсатор C16 отвечает за провал на частоте 220 МГц, конденсатор C17 — на частоте 200 МГц.

1.2. Контур C10L10

Монтируют элементы L10 и C10, здесь использована катушка индуктивности Q-3990. В верхние три её секции наматывают по три витка провода диаметром 0,07...0,1 мм. Для катушек индуктивности Q-3966 и Q-3961 потребуются восемь витков, при этом удаляют нижние витки заводской обмотки. Для налаживания параллельно конденсатору C10 временно устанавливают конденсатор ёмкостью 15 пФ, который имитирует присутствие конденсаторов

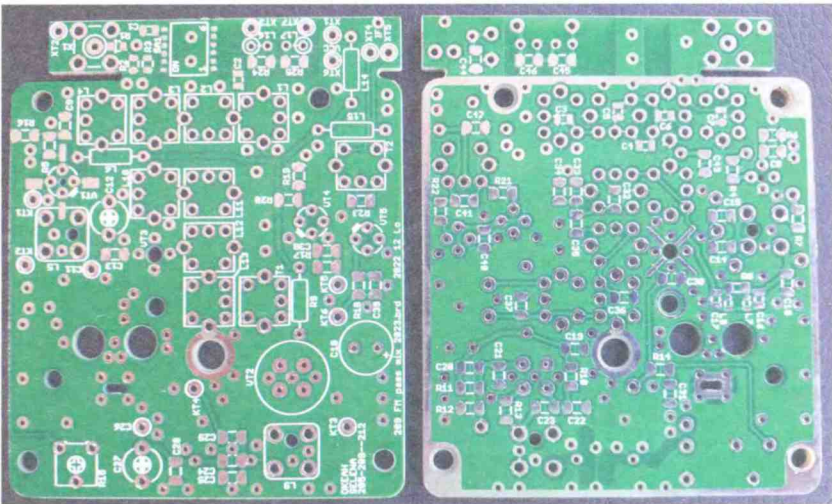


Рис. 1

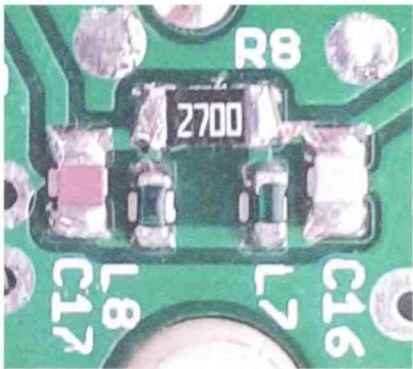


Рис. 2

лей подключают к общему проводу УКВ-блока.

1.4. Трансформатор ПЧ Т1

Трансформатор Т1 изготавливают на базе АМ-КПИ типа "гантель-чашка" в экране размерами 7×7 мм. На каркас наматывают симметрично 10+10 витков провода диаметром 0,07...0,12 мм без скрутки, индуктивность этой обмотки — не менее 3+3 мГн (общая индуктивность — 12 мГн), что не критично в сторону большего значения. Подборкой конденсатора С37 приводят индуктивность этого трансформатора в резонанс на частоте 10700 кГц аналогично наложению с катушкой L10. Устанавливают максимум коэффициента передачи и нулевую фазовую ошибку, при этом следует учесть ёмкость щупа осциллографа — около 15 пФ. Цифровые двухканальные осциллографы даже среднего сегмента могут выдать ложный сдвиг фазы из-за поочерёдной обработки сигналов в процессоре. Поэтому нужно сначала к измеряемой цепи подключить поочерёдно оба канала вместе в одну КТ и выявить ложное наблюдаемое смещение. Также в обоих каналах надо установить одинаковую полосу пропускания. Осталось загадкой, почему программисты разных производителей не первое десятилетие не

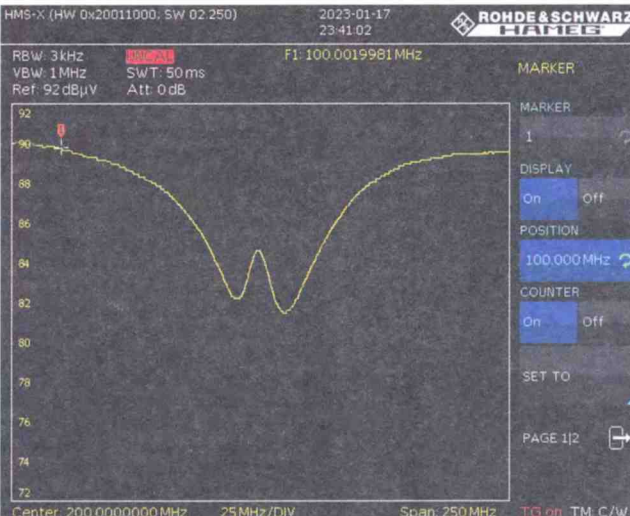


Рис. 3

на резонанс этот контур. Позже подстроичник катушки L10 больше не вращать, его надо зафиксировать от случайной прокрутки. Убирают временно установленный конденсатор.

1.3. Антенный диплексер

Устанавливают дроссели L16 и L17. Если применить дроссели с высокой добротностью (ЕС24), устанавливают резисторы R24 и R25 со противлением 3,3...10 кОм. Подборкой конденсаторов С45 и С46

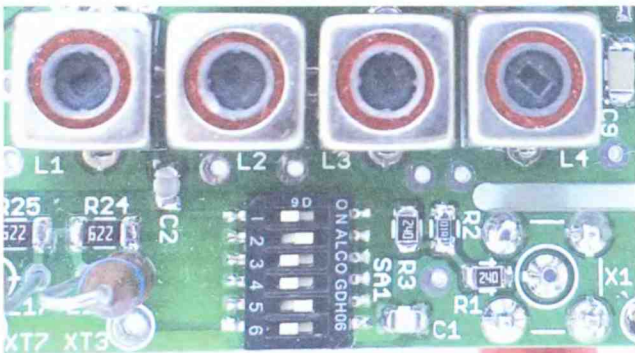


Рис. 4

С11—С15. Кстати, конденсатор такой же ёмкости получается при подключении к КТ2 щупа 10:1 с входной ёмкостью 13...15 пФ. Подав сигнал частотой 10700 кГц через резистор 200...400 Ом, подстроичник катушки настраивают

дебиваются лучшего подавления сигналов (33 дБ) УКВ-диапазона между контактами XT3 и XT7 с резонансами на частотах 90 МГц и 105 МГц, при использовании измерителя АЧХ с импедансом 50 Ом. Оплётку соединительных кабе-

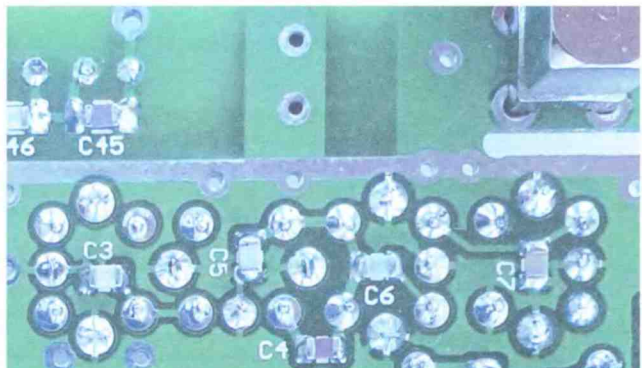


Рис. 5

устраняют эту недоработку. Даже в новых осциллографах категории за 100 тыс. рублей можно наблюдать и затем долго искать неисправность в своём самодельном трансформаторе.

1.5. Антенный переключатель и аттенюатор

Этот узел выручит при налаживании входного фильтра. Полностью монтируют его элементы (в том числе и конденсатор C1) типоразмера 0805 или 0603. Угловый разъём SMA (X1) рассчитан на удобное подключение кабеля к приёмнику, его можно установить с любой стороны.

Резисторы R1—R3 можно подбирать для получения другого затухания [1]. Переключатель (ширина 7,62 мм) нужно идеально разместить на посадочном месте и хорошо пропаять, не экономя флюс, потом всё хорошо промыть и только в конце снять защитную фольгу.

1.6. Входной фильтр и согласование с УВЧ

До монтажа фильтра нужно откалибровать измеритель АЧХ и установкой последовательных резисторов довести его импеданс до нужного значения, на выходе — 75 Ом, на входе — 75 Ом (или 18 Ом). АЧХ самой измерительной цепи должна быть изначально без острых резонансов от длинных и не согласованных кабелей, их длина должна быть

ны конденсаторы типоразмера 0805 или 0603 (рис. 4, рис. 5), катушку L1 устанавливают с удалением среднего вывода (изделие Q-3990). В схеме указана компоновка на основе КПИ Q-3990 с оригинальной обмоткой. Это обеспечит хорошую добротность и замкнутость магнитного потока, и всё это при отличной экранировке. Используя другие КПИ, нужно добиться их индуктивности 360...400 нГн и подборкой конденсаторов C3 и C5 добиться ровной вершины АЧХ фильтра.

Подключают измеритель АЧХ (75 Ом) к входу и выходу фильтра, при этом должна получиться АЧХ, показанная на рис. 6, с затуханием на вершине около 12 дБ. После вычета затухания измерительной цепи (в моём случае 8,1 дБ) получим для самого фильтра затухание в интервале 3,6...3,9 дБ. Небольшой подъём АЧХ на частоте 65 МГц возникает от длинного кабеля с волновым сопротивлением 50 Ом из-за неполного согласования, с коротким кабелем импедансом 75 Ом этого подъёма нет.

Устанавливают Г-образное согласующее звено L4C7. В катушке индуктивности L4 (изделие Q-3990) отсоединяют оригиналную обмотку на верхнем её конце и тем же проводом наматывают

Проверяют индуктивность катушки L4 с запасом на подстройку — 51±5 нГн. Подают сигнал на входной аттенюатор, и после катушки L4 временно устанавливают нагрузку — резистор 27 Ом между нижним по схеме выводом катушки L4 и общим проводом. При подключении измерителя АЧХ с входным импедансом 50 Ом получим штатную нагрузку 18 Ом. Должна получиться АЧХ, показанная на рис. 7, с ровной вершиной в диапазоне 87...108 МГц. Измерение без соединительных кабелей показало отсутствие подъёма АЧХ на частоте 65 МГц. Узел согласования L4C7 добавит около 0,2 дБ затухания по мощности при качественном исполнении катушки L4.

Подавление сигнала на частоте 10700 кГц составляет более 50 дБ при источнике сигнала импедансом 75 Ом и нагрузке сопротивлением 18 Ом. Но телескопическая антенна на частоте 10700 кГц имеет высокий импеданс, и реально действующее затухание (по полю) при радиоприёме от ТА превысит 70 дБ на входе УВЧ.

Сигналы авиадиапазона 118...135 МГц подавлены на 10...30 дБ, на частоте 145 МГц обеспечено подавление не менее 50 дБ с учётом плохого КПД полностью выдвинутой ТА в этом диапазоне. В заключение удаляют все временно установленные элементы.

1.7. Согласование входа УПЧ

Устанавливают катушку L13 (изделие Q-3990), содержащую 2+3+2 витков в верхних трёх секциях, и проверяют её индуктивность — 520 нГн. Устанавливают конденсатор C36 и подают на него сигнал от источника с импедансом 75 Ом, на КТ5 (или КТ6) устанавливают нагрузку сопротивлением 25 Ом с учётом импеданса измерительного прибора. К примеру, измеритель АЧХ (50 Ом) можно подключить к КТ6, а к КТ5 подключить резистор сопротивлением 51 Ом. Трансформатор T1 ранее был установлен и настроен. В диапазоне 10...11 МГц наблюдается широкий максимум АЧХ, на частоте 20 МГц имеется значительный её спад. Коэффициент передачи по напряжению в идеале должен быть 0,57, реально 0,55 можно считать нормой. Немного лучшие результаты дало применение катушки индуктивности Q-3966 с обмоткой 2+2+2 витков в верхних трёх секциях.

1.8. Фильтр ПЧ и согласование с УПЧ

Монтируют элементы фильтра ПЧ (рис. 8). Для изготовления катушек L11 и L12 использованы высокие многосекционные каркасы Q-3966 (или Q-4157), содержащие 25(27) витков обмоточного провода диаметром 0,1 мм в верхних пяти секциях каркаса. Индуктивности этих катушек должны быть по 9 мкГн с резервом подстройки. Сигнал от источника с импедансом 60 Ом подают на КТ2, сигнал снимают с КТ5 (или КТ6) с импедансом 25 Ом. Настраивают АЧХ в соответствии с рис. 9 (масштаб — 500 кГц/дел).

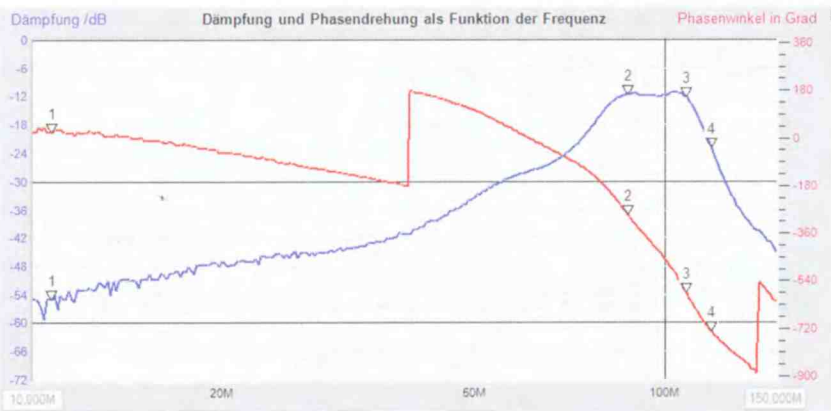


Рис. 6

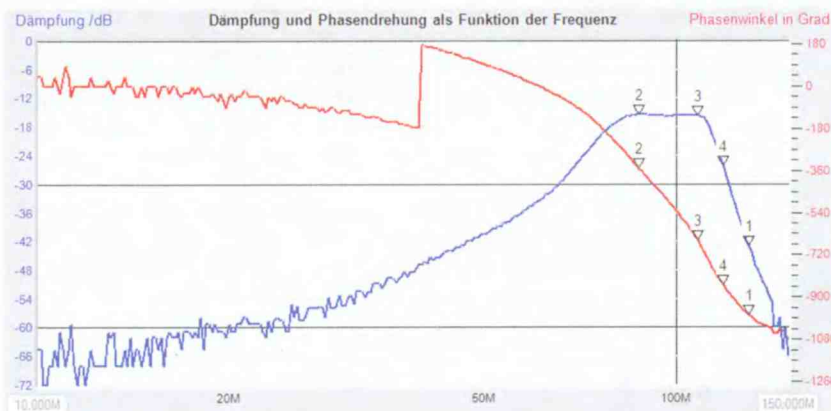
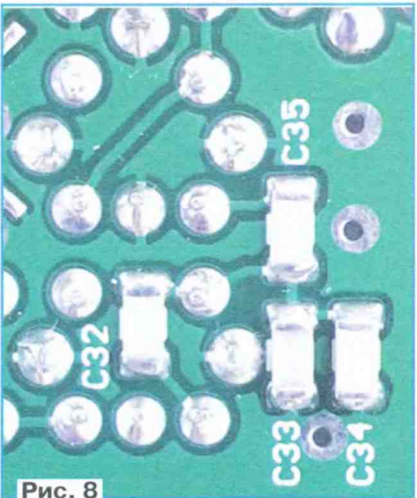


Рис. 7

не более 30 см, или лучше вообще обойтись без них.

Устанавливают элементы фильтра (без элементов L4, C7), здесь примене-

вают по одному витку во второй и третьей секциях снизу, провод выводят крест-накрест для полного витка, в результате получается 2,25 витка.



Полоса пропускания по уровню -6 дБ должна быть шириной $1,5\dots1,8$ МГц. Подборкой конденсатора C34 (связь между контурами) добиваются ровной АЧХ в КТ2 (жёлтый график), и горб в КТ5 или КТ6 — с почти ровной вершиной на частоте 10700 кГц с полосой ±300 кГц (синий график). Жёлтая АЧХ с затуханием ровно 50% от интерполированного максимума при холостом ходу свидетельствует об идеальном согласовании со смесителем (60 Ом). Синяя АЧХ на выходе на нагрузке 25 Ом "отстает" от идеала всего на 10% по уровню, это примерно 1 дБ затухания в согласованном фильтре. Это достигнуто высоким качеством катушек L11, L12 и L13 и обеспечит малый шум в узле пассивного смесителя с буферным МШУПЧ.

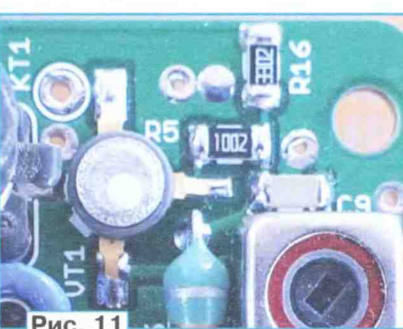
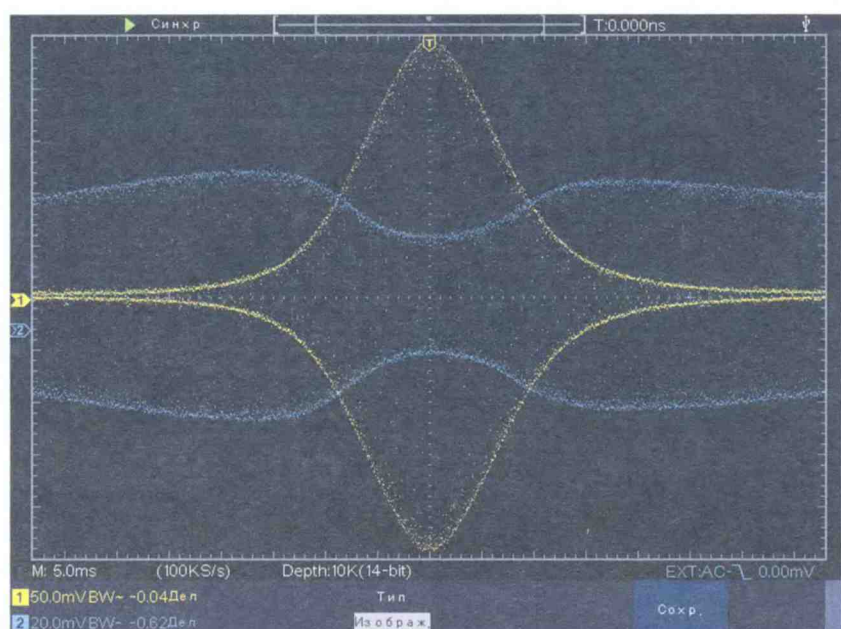
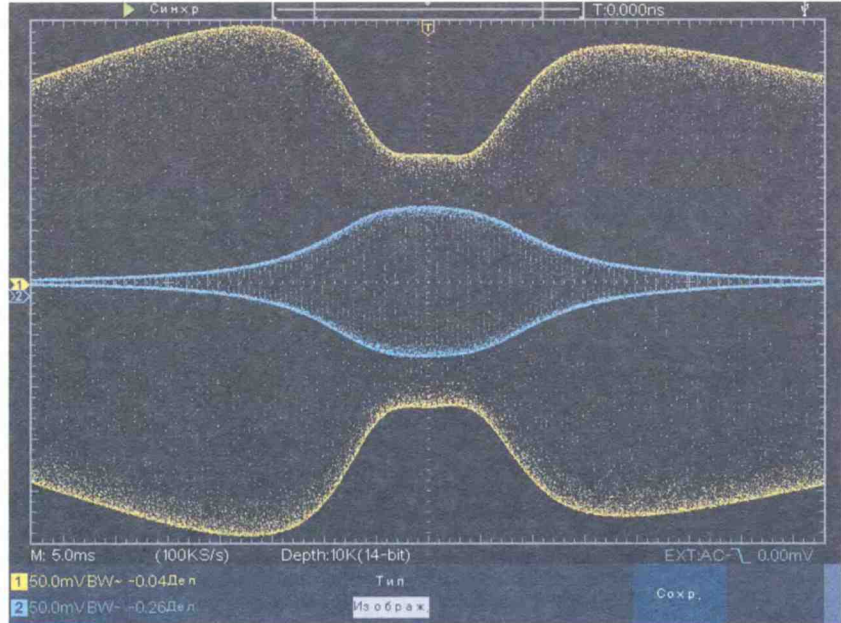
2. Монтаж активных узлов

2.1. Линии питания и цепи смещения

Устанавливают все дроссели, блокировочные конденсаторы, цепи смещения, проверяют напряжения при подключении питания. Рекомендуется временно последовательно с контактом XT1 установить защитный диод, так как напряжение питания "непривычно" мицусовое. Особенno легко выйдет из строя транзистор VT3 из-за подачи на его затвор напряжения неправильной полярности. Настраивают БП таким образом, чтобы на линию питания УКВ-блока поступало напряжение $-5,6$ В при потребляемом токе $5\dots8$ мА.

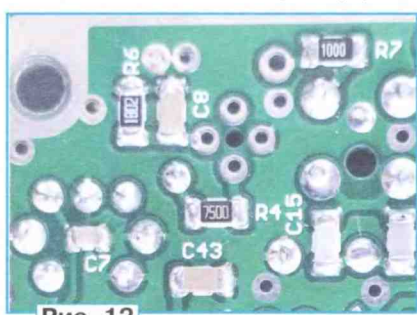
2.2. МШУПЧ и выход к ПКФ

Подбирают транзисторы для УПЧ, у них должно быть $h_{219} \geq 55(90)$ при токе $0,5(1)$ мА. Для транзисторов ГТ322Б устанавливают резисторы $R17 = R18 = 1,5\text{ к}\Omega$ для тока покоя $0,67$ мА. Устанавливают все компоненты, трансформатор T2 мотают обмоточным проводом $0,07$ мм, выходная обмотка (L22) содержит 7 витков в нижних двух секциях изделия Q-3966 (из пяти под ферритовой чашкой) или в трёх секциях изделия Q-4157. Контурная обмотка (L21) — симметричная $12+12$ витков распределена во всех секциях. Подбирают резистор R23 так, чтобы при под-



ключении штатной нагрузки $270\dots360\text{ Ом}$ к контактам XT4, XT5 уровень сигнала уменьшился на 50% . АЧХ показана на

рис. 10 (масштаб — 500 кГц/дел), на КТ2 (синий) до выходной нагрузки (жёлтый) доминирует трансформа-



2.4. Выходной контур УВЧ и сквозная АЧХ

Устанавливают все оставшиеся конденсаторы выходного УВЧ-контура (**рис. 14, рис. 15**), но пока без двухсекционного КПЕ. На рис. 14 показан импортный подстроечный конденсатор синего цвета (максимальная ёмкость — 7 пФ), лучше было бы заменить его белым (максимальная ёмкость — 10 пФ) или отечественным керамическим (диаметром 5 мм) для улучшения температурной компенсации. Наматывают на заводской каркас УКВ-КПИ от радио-

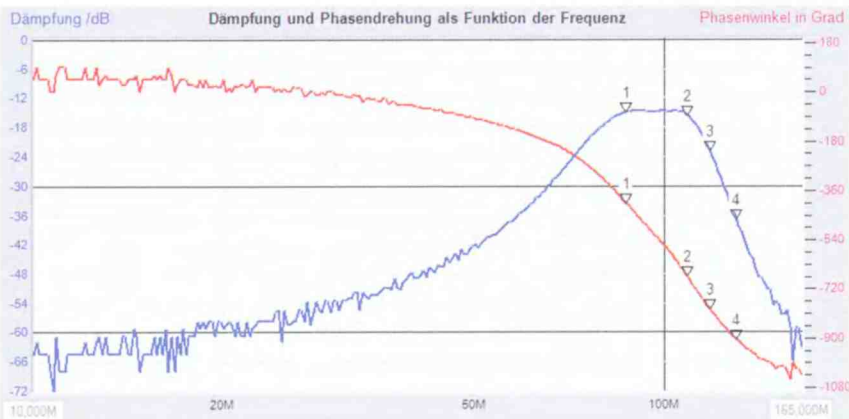


Рис. 13

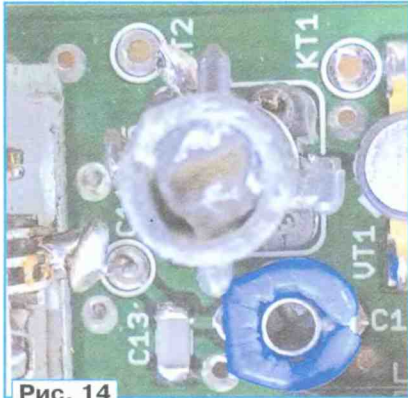


Рис. 14

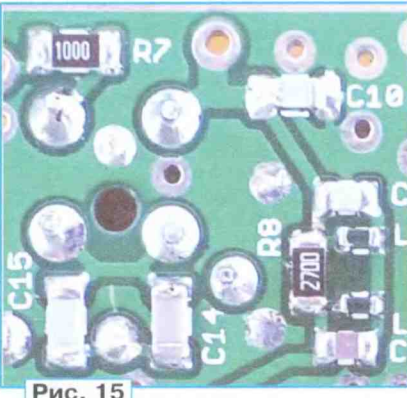


Рис. 15



Рис. 16

тор T2 с полосой пропускания чуть более 1 МГц. Усиление от KT2 до выхода на ПКФ составляет 14 дБ (5 раз) на частоте 10700 кГц.

Для ПКФ с полосой пропускания 280 кГц это вызывает дополнительный подъём АЧХ на вершине не более чем на 1 дБ. На этом этапе можно убедиться в том, что двухтональный ПЧ-сигнал размахом 2×41 мВ от смесителя (KT2, 60 Ом) доходит до KT5 или KT6 с уровнем 2×25 мВ, что вызывает в УПЧ компрессию на 1 % и $IM_3 = -40$ дБ. На выход (нагрузка 270 Ом у XT4, XT5) при этом поступает сигнал размахом 2×180 мВ, на что и был рассчитан новый тракт УПЧ.

2.3. Стыковка входного фильтра с УВЧ

Устанавливают элементы УВЧ с резистором R7 (**рис. 11, рис. 12**) и соединяют правый по схеме вывод этого резистора с общим проводом временной проволочной перемычкой. Для транзистора VT1 получается низкоомная нагрузка, удобная для подключения измерителя АЧХ к KT1.

Сигнал с KT1 снимают через разделительный конденсатор и добавочными резисторами обеспечивают согласование с соединительным кабелем. Скорее всего, придётся временно установить параллельно резистору R7 резистор со сопротивлением 100(300) Ом для кабеля с волновым сопротивлением 50(75) Ом. Корректируют АЧХ входного фильтра (**рис. 13**), при этом надо следить за уровнем сигнала на эмиттере транзистора

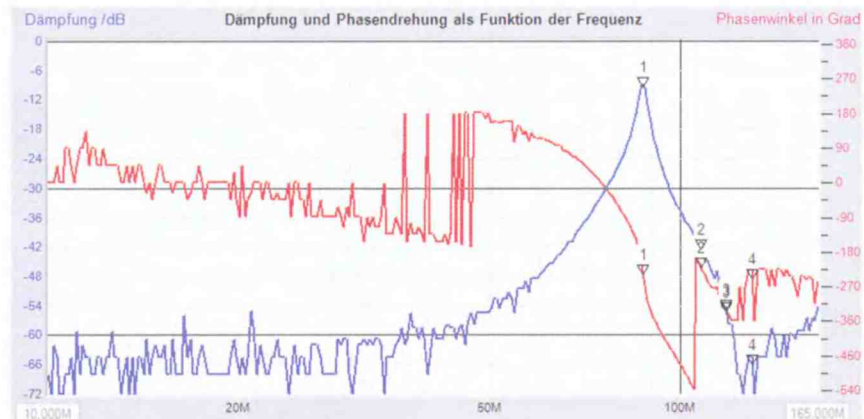


Рис. 17

тора VT1, его размах должен быть не более 20 мВ. Сигналы авиадиапазона (зеркальный канал 118...129 МГц) подавлены не менее чем на 7...20 дБ (маркеры 3 и 4).

Так как входной импеданс транзистора VT1 зависит от тока покоя, нужно убедиться, что при напряжении питания —5,6 В полученная АЧХ оптимальная. Если при другом напряжении питания АЧХ более "правильная", нужно подобрать резистор R5 или проверить качество транзистора на предмет его эмиттерного импеданса. Если в УВЧ установить германниевый транзистор, надо увеличить сопротивление резистора R4 до 820...910 Ом.

приёмника "Океан-209" новую обмотку для L5 — 5,5 витка с началом от нижнего вывода. Отвод надо сделать от 2,75 витка, считая от горячего конца (**рис. 16**). Для вывода горячего конца на печатной плате имеются два отверстия, чтобы можно было подогнать индуктивность при неудачном расположении подстроечника. Индуктивность катушки должна быть 150 нГн при интервале её подстройки 145...155 нГн.

Последним устанавливают восстановленный двухсекционный КПЕ, при этом под его шасси потребуется подложить шайбы. Измеряют АЧХ, подавая сигнал на вход блока от источника сопротивлением 75 Ом, снимают сигнал с KT2

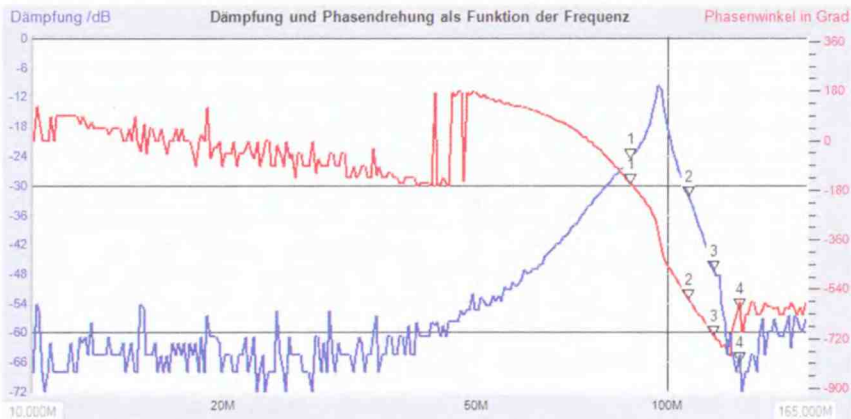


Рис. 18

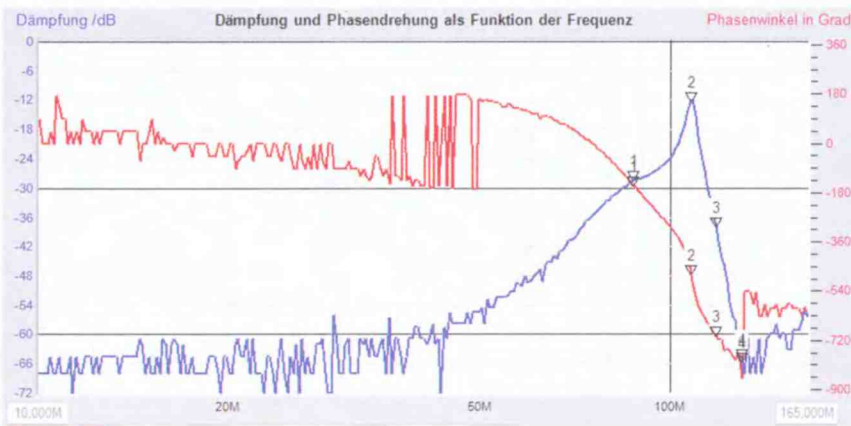


Рис. 19

с сопротивлением 60 Ом с коротким кабелем. Налаживают перекрытие по частоте 87,2...107,9 МГц без экранировки УКВ-блока. С общей экранировкой всё перекрытие по частоте сместится вверх и должно быть 87,4...108,1 МГц.

Проверяют сквозную АЧХ от антенного входа до выхода УВЧ, она при настройке контура УВЧ на частоту 87,2 МГц принимает вид в соответствии с рис. 17. Первой бросится в глаза высокая селективность контура, его полоса пропускания — 2 МГц, что соответствует рабочей добротности 45. Сигнал частотой 10700 кГц подавлен на более чем 80 дБ, в целом сигналы КВ-диапазона хорошо подавлены, и вечером на природе не было замечено интермодуляционных помех при УКВ-приёме слабо заполненного эфира. Сигналы диапазона 144...165 МГц сильно подавлены, так как верхняя по схеме часть катушки L5 и контурная ёмкость работают как последовательный заграждающий контур в области частоты 150 МГц. Сигналы диапазона OIRT 65...73 МГц подавлены на 36...24 дБ, а густо заполненный мегаполисный радиоэфир в диапазоне 100...108 МГц подавлен на более чем 26 дБ и не вызывает проблемы в смесителе. Зеркальный канал приёма на частоте 108 МГц подавлен на 36 дБ, а в диапазоне 108...118 МГц редко встречаются мощные сигналы. Сигналы авиадиапазона подавлены на 46 дБ.



Рис. 20

При приёме на частоте 97 МГц (рис. 18) высокая селективность выходного УВЧ-контура реализуется на краях УКВ-диапазона (подавление — 15...20 дБ), что заметно уменьшит число мощных сигналов, поступающих на смеситель. Подавление зеркального приёма на частоте 118 МГц составляет более 36 дБ. Диапазон OIRT подавлен надёжно на 30 дБ. Радиоприём в диапазоне 100...107 МГц подавлен на 36...50 дБ, здесь сыграет высокая добротность выходного контура УВЧ (около 50), чего

нет в заводских УКВ-блоках и в универсальном УКВ-блоке [1, 2] (рис. 19).

Полная экранировка блока обеспечит хорошее подавление на удалённых частотах, поэтому не грозит образование ложных сигналов от помех в области гармоник гетеродина.

2.5. Гетеродин

Сначала демонтируют КПИ гетеродина из старого УКВ-блока, восстанавливают её каркас, наматывают новую обмотку катушки L9 в соответствии с маркерами на рис. 20. Начинают с горячего конца, как можно ближе к нижней части. Это обеспечит в целом пониженную индуктивность по сравнению с обычной заводской намоткой. Печатная плата позволит скорректировать индуктивность на $\pm 0,5$ витка для получения значения 114 нГц с учётом разброса по проводу и каркаса с резервом для настройки в интервале 110...118 нГц. В отличие от заводского или универсального УКВ-блока, тут важно, чтобы индуктивность КПИ попала "в точку", так как высокая добротность требует отличного сопряжения контуров, и блок рассчитан на подборку контурных конденсаторов.

Монтируют элементы гетеродина, в том числе конденсаторы C29 и C30 (рис. 21). Транзистор VT2 должен иметь малый обратный ток от коллектора к базе и $h_{21s} > 50$, желательно $h_{21s} > 70$. Подстроечный конденсатор C27 желательно подобрать керамический с явно отрицательным ТКЕ, хорошо работает отечественная керамика. Конденса-



Рис. 21

тор C28 ёмкостью 2,7 пФ с ТКЕ M700 (M750) найдётся в заводском ЧМ-детекторе радиоприёмников "Океан-205", "Океан-209". Конденсатор C24 ёмкостью 39...51 пФ подобрать и ТКЕ M750 и соответственно подобрать ёмкость конденсатора C25, чтобы в сумме ёмкость конденсаторов C24 и C25 была 58 пФ. Трубчатые конденсаторы часто имеют у одного из выводов цветную маркировку (внешний электрод на трубке), этот вывод нужно установить на более "холодный" или заземлённый конец в

контуре для снижения паразитного излучения. На месте указанных конденсаторов с ТКЕ М750 можно установить SMD-конденсаторы типоразмеров 1206, 0805 из керамики NPO (бывает отечественного производства и М47, что лучше), это обеспечит терпимый для домашней работы приёмника частотный дрейф частоты гетеродина около -10 кГц/К вместо почти нулевого ТКЧ.

Подстроичником КПЕ устанавливают перекрытие гетеродина в диапазоне 97,9...118,6 МГц (с экранировкой будет 98,1...118,8 МГц).

2.6. Уровень сигнала гетеродина на смесителе

Подключают осциллографический шуп (10:1 с входной ёмкостью 13,5 пФ) к КТ4 с очень коротким заземлением и измеряют размах сигнала гетеродина. В осциллографе устанавливают максимальную полосу пропускания. Многие осциллографы включаются по умолчанию с полосой пропускания до 20 МГц. В моём примере получился размах 700 мВ. С учётом ёмкости транзистора (около 0,3 пФ), ёмкости печатных проводников (около 3 пФ), конденсатора С30 (12 пФ) и ёмкости шупа получим с помощью расчёта 1500 мВ для случая без шупа. В основном мощность генерации определяется ёмкостью конденсаторов в цепи эмиттера, током покоя (устанавливают подборкой резисторов R9—R11) и качеством транзистора. Не стоит излишне увеличивать амплитуду генерации, чтобы в гетеродине ограничение амплитуды не привело к увеличению шума, дрейфа частоты и избытку гармоник. Лучше бы увеличить ёмкость конденсатора С29 и уменьшить ёмкость конденсатора С28.

2.7. Монтаж полевого транзистора

Подобранный ранее по сопротивлению канала транзистор VT3 устанавливают на своё посадочное место с уже установленными элементами обвязки (рис. 22). Вывод затвора имеет диагональный срез. Надо избегать статического электричества, нашими врагами тут являются синтетическая одежда,



Рис. 22

сухой воздух, пластмассовая рабочая поверхность, незаземлённый паяльник, лишнее трение кресла и ног по ковру. Надо заранее помыть руки, вынуть транзистор из упаковки и больше не терять его контакт с рукой, никуда его не выкладывать. Чистыми пальцами его придерживают на плате, припаивают один электрод. Не выпуская плату из рук, её разворачивают и припаивают остальные выводы. Хуже всего, если из-за излишней осторожности многократно прерывать контакт рук с транзистором и платой, а потом с новой набранной высоковольтным зарядом статики продолжить. Один раз взять в руки и не отпускать до конца процесса. Если выложили паяльник из руки, каждый раз непосредственно перед его использованием с помощью металлического предмета выровнять статический потенциал с собой и печатной платой. Такое простое "домашнее" правило позволит обеспечить защиту полевых транзисторов или КМОП-микросхем от статики. Движок подстроичного резистора R15 надо установить в среднее положение.

3. Проверка настроек

Как отмечено ранее, налаживание отлично получается с помощью SDR в качестве измерительного УПЧ. Для этого переключают антенный вход на приём с ТА, подключают проволочную antennу длиной 1 м к входу (ХТ3). Для антенны следует использовать как можно более толстый провод (например, оплётку от коаксиального кабеля). SDR подключают к контактам ХТ4, ХТ5, желательно через ВЧ-трансформатор 4:1 (по импедансу). Настройвают его приём на частоту 10700 кГц с полосой обзора не менее 1 МГц. Подстроечным резистором R15 устанавливают напряжение смещения на затворе транзистора VT3, чтобы получить максимальный коэффициент передачи смесителя. На экране увидим в районе частоты 10700 кГц небольшую "дугу" шумового спектра УКВ-блока. Возможная несимметричная деформация, в первую очередь, может быть от рассогласования настроек гетеродина и УВЧ-контура, если фильтр ПЧ был наложен качественно. Гетеродин уже не трогают, все коррекции делают в выходном контуре УВЧ. Если заранее всё было настроено правильно в отдельности, крутиться ничего не нужно, радуемся получившейся картине.

На экране в области частоты 10700 кГц отчётливо появятся ЧМ-сигналы местных радиостанций и, наверное, компьютерные помехи. Вращением КПЕ убеждаются в работоспособности во всём диапазоне. Все сигналы должны перемещаться по частоте с одинаковой скоростью, что свидетельствует об отсутствии преобразования на гармониках гетеродина и не должно быть "встречных" движений (приём по зеркальному каналу). Не должно быть "гуляющих" сигналов, что указывает на самовозбуждение на СВЧ в одном из узлов. В случае наличия таких сигналов надо проверить качество блокировочных конденсаторов, увеличить сопротивления коллекторных резисторов.

При идеальной компоновке элементов УВЧ и контура гетеродина их расходжение составляет не более 20 кГц (расчёт), и после налаживания не должно быть замечено расходжение.

3.1.1. Усиление и шум

Усиление по напряжению от антенного входа (75 Ом) до нагруженного выхода ПЧ (270 Ом) составляет 22 дБ (по мощности +16 дБ), и этого с хорошим УПЧ достаточно. Такой УКВ-блок подошёл бы и в других приёмниках.

Расчёты с учётом шума УПЧ на основной плате и сборки из двух ПКФ показывают системный $K_{\text{ш}}$ приёмника около 5...6 дБ. По данным из множества публикаций на частоте 100 МГц шум эфира редко доходит до 3 дБ, чаще имеется 4...6 дБ, и это бывает за городом и на природе. В большом городе можно радоваться, если на крыше здания шум эфира не превышает 10 дБ от городских помех.

3.1.2. Установка истыковка ПКФ

После установки УКВ-блока в приёмник линию связи к УПЧ делают в виде скрученной двухпроводной линии без экранировки. Питание и заземление берут от новой главной платы. Проверяют общую работоспособность приёмника. АЧХ последующего фильтра налаживают, снимая сигнал с коллектора транзистора первого каскада УПЧ, его резонансную нагрузку блокируют конденсатором ёмкостью 33 нФ. Подают сигнал ПЧ на КТ2 в УКВ-блоке, деактивируют гетеродин, соединив КТ3 с общим проводом, и подборкой резистора R23 и подстройкой трансформатора T2 до получения лучшего результата. При тщательном предварительном налаживании УКВ-блока и УПЧ сразу образуется правильная АЧХ.

3.1.3. Результаты работы УКВ-блока

Приёмник во всех случаях эксплуатации на природе и в загородном доме показал отличную чувствительность. Скорее всего, это случилось не по причине сверхвысокой предельной чувствительности (нет сверхмалого $K_{\text{ш}}$), а по причине полного отсутствия интермодуляционного шумового фона.

В большом городе с одним радиопередающим центром на расстоянии 1,5 км от него в зоне прямой видимости пришлось задвинуть ТА на половину, чтобы исчезли ложные сигналы на всех каналах. Другие дорогие налаженные брендовые приёмники совсем не справились с этой обстановкой, даже при полностью вставленной ТА. В областном центре приёмник с лёгкостью принимал сигналы из соседних районных центров (расстояние — 30...50 км), он стоял на подоконнике, приём с ТА на 9-м этаже, в окно виден радиопередающий центр.

На практике не наблюдалось мешающей зеркальный приём или внеполосовые помехи. Полностью отсутствует эффект затягивания частоты гетеродина от воздействия мощных сигналов,

частота гетеродина крайне стабильна во времени и при изменении температуры. Эффект блокировки по шуму гетеродина не наблюдается, мощный гетеродин с НЧ-блокировкой и без вариаков делает своё дело.

4. Улучшение комплектации

Если во входном узле для изготовления катушек индуктивности L1—L4 применить изделие Q-3985 с подстроечником из феррита для высоких КВ и УКВ, затухание уменьшится до 0,8...1 дБ и K_{sh} приемника будет 3,3...3,5 дБ. Это уже соизмеримо с шумом тихого "деревенского" УКВ-эфира, и приемник станет "круглогодичным" для мегаполиса и дачи. Изделие Q-3985 сложно разбирать, но используемый в её конструкции клей — вязкий и при умеренном воздействии растягивается до отрыва и прокруткой ферритовой чашки. Новые КПИ и схема входного фильтра показаны на **рис. 23** и **рис. 24**, топология схемы и платы останется без изменений, у компонентов номиналы — новые, L1 и L3 — идентичные и на фото показаны с разных сторон.

Обмотка для катушки L2 — плотная из семи витков, а у катушек L1 и L3 обмотка также семь витков, но с промежутком, чем достигается правильная разница у катушки L2 по индуктивности при оптимальном ввинчивании подстроечника в катушку. Для намотки использован обмоточный провод диаметром не менее 0,15 мм, лучше 0,2 мм. Провода обмоток всегда выведены крест-накрест в зоне действия феррита для полного замыкания витков без внешних полей.

АЧХ входного фильтра и узла согласования до выхода на транзистор VT1 показана на **рис. 25**. Для измерения соединительные кабели не использованы, подключение сделано близко к разъёмам измерителя АЧХ, сделана подгонка импедансов 50 Ом с помощью дополнительных резисторов. В результате затухание во входном узле от ТА до транзистора VT1 по мощности составляет не более 1 дБ, и это есть главный результат улучшения, подавление внешнеполосовых сигналов в целом улучшилось незначительно, на 1...3 дБ.

Второе улучшение касается трансформатора T1, и в этот раз он выполнен на колышевом магнитопроводе K7x4x2 из феррита M400НН (можно 200НН—600НН), и потери в нём крайне малы. Но потери тут не главное, куда важнее идеальная магнитная связь обмоток на более чем 96 %, что на мягких ферритах серий М6000НМ—1000НН не получается при КВ-частотах. Обмотки — строго симметричные 6+6 витков обмоточным проводом 0,15 мм с плотной скруткой. Индуктивность каждой обмотки составляет 16 мГн, допускается значение 10...20 мГн. Трансформатор удобно поместить на срезанном карка-

Рис. 23

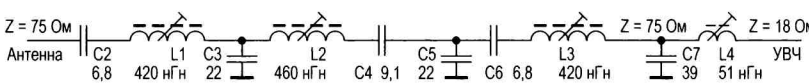


Рис. 24

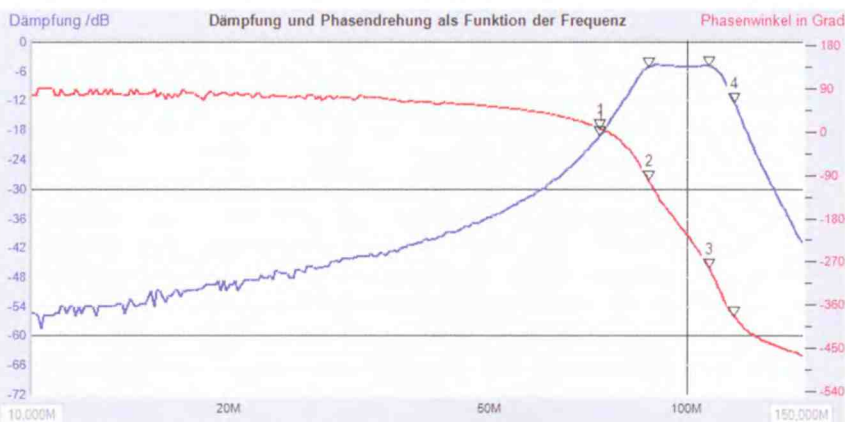


Рис. 25

се импортных КПИ размерами 7×7 мм или закрепить его пластмассовым винтом M3 на каркасном изделии Q-4193 с резьбой M3. Желательно для этого трансформатора тоже подобрать конденсатор C37 для компенсации реактивного импеданса на частоте 10700 кГц. Такое исполнение с идеальной магнитной связью между эмиттерами МШУПЧ снизит интермодуляционный фон на 10 дБ, так как на КТ6 (или КТ5) допускается увеличенный на 3 дБ двухтональный сигнал размахом 2×35(12) мВ для $IM_3 = -40(60)$ дБ при импедансе 25 Ом. Применены транзисторы VT4, VT5 2T326B ($h_{213} = 120$). При использовании транзисторов КТ3108A, КТ3108B допускается сигнальная смесь

ещё на 20 % больше по размаху. Если бы удалось увеличить магнитную связь до 98...99 %, можно было бы увеличить сигналы ещё в 1,5...2 раза. Но это будут другие габариты и режимы вне рамок этого проекта.

5. Заключение

На описанном выше примере показано, что можно без сложных трансформаторов и без затратного смесителя с громоздким усилителем гетеродинного сигнала построить высоколинейный УКВ-блок, даже без многосекционного КПЕ. Применённые технические решения легко использовать для стационарных приемников. Если имеется трёхсекционный КПЕ, лучше бы оставить вход УВЧ широкополосным, а выходной УВЧ-фильтр к смесителю сделать на основе связанных контуров при

высокой добротности. Это решит большинство вопросов по селективности в УВЧ и при этом добавит непосредственно в полосе его пропускания ровную на 200...400 кГц вершину АЧХ, в пределе которой допускает расхождение с гетеродином и нет искажений сигнала с паразитными АМ и ФМ. Входной контур с высокой селекцией приобретает смысл только с четырёхсекционным КПЕ. Нужно составить этот контур с крайне высокой собственной добротностью Q_c (не менее 100, лучше бы 200...300) и этот контур потом существенно нагрузить антенной и входным активным сопротивлением УВЧ-транзистора, чтобы нагруженная добротность Q_h была не более 10. При соотношении

добротностей $Q_c/Q_h = 100/10$ (или $300/10$) этот контур ухудшает K_{sh} примерно на 1(0,3) дБ, и ДД для УВЧ расширяется примерно на 6 дБ по мере ожидаемого снижения числа мощных сигналов. При этом полоса пропускания у входного контура будет около 10 МГц, т. е. УВЧ всё равно должен быть с высокой линейностью. Можно сделать соотношение добротностей $Q_c/Q_h = 300/30$ и получить ухудшение K_{sh} на 1 дБ, зато полосу довести до 3 МГц и уменьшить число мощных сигналов в 6...8 раз для УВЧ — это статистическое (не физическое) улучшение ДД для УВЧ на 16...18 дБ из-за снижения числа сигналов. А соотношение 100/30 с бюджетным контуром с полосой пропускания 3 МГц привело бы к ухудшению K_{sh}

на 3...4 дБ, вот почему в таких приёмниках мы видим много драгметала во входном контуре, даже в КПЕ, в проводке и просторной экранировке. По всем этим соображениям есть смысл во многих конструкциях УКВ-блоков оставить широкополосный вход к УВЧ и наращивать его линейность без деградации K_{sh} .

В предложенном УКВ-блоке нельзя "раскрутить" УВЧ по усилию с помощью перемещения вверх по схеме коллекторного отвода у катушки L5, поскольку выходной МШУПЧ работает на пределе своей линейности. Это стало понятно при тестах в восточной части Москвы, где имеется "адский" букет в УКВ-эфире от многочисленных радиосистем и двух мощных радиопередаю-

щих УКВ-центров. Но и этой проблеме нашлось решение, об этом будет рассказано в дальнейших публикациях.

ЛИТЕРАТУРА

1. **Лохни Х.** Универсальный УКВ-блок для радиоприёмников "Океан"/Selena. — Радио, 2024, № 5, с. 14—22.

2. **Лохни Х.** Универсальный УКВ-блок для радиоприёмников "Океан"/Selena. Монтаж и налаживание.— Радио, 2024, № 6, с. 13—22.

От редакции. Дополнительный справочный материал находится по адресу <http://ftp.radio.ru/pub/2024/08/ukv-dd.zip> на нашем FTP-сервере.

НОВОСТИ ВЕЩАНИЯ

Раздел ведёт В. ШЕПТУХИН (R5GF), г. Липецк

РОССИЯ

АЛТАЙСКИЙ КРАЙ. Радио "Искатель" начало своё тестовое вещание в Барнауле на частоте 92,9 МГц. В ближайшее время в эфире можно будет услышать местные новости, прогнозы погоды и программы об Алтайском крае (источник — URL: https://vk.com/vcfm2014?w=wall-62613163_23419 (22.06.24)).

АРХАНГЕЛЬСКАЯ ОБЛ. С мая 2024 г. в Архангельске на частоте 89,6 МГц начало своё вещание "Радио Русский Хит". На этой же частоте радиостанцию можно слушать и в Северодвинске Архангельской области (источник — URL: <http://www.krutoymedia.ru/news/12576.htm> (22.06.24)).

БАШКОРТОСТАН. 7 июня 2024 г. радиостанция "L-Радио" начала вещание в г. Белебее на частоте 96,8 МГц (источник — URL: https://vk.com/bashfmtv?w=wall-23672167_1306%2Fall (22.06.24)).

ВОЛОГОДСКАЯ ОБЛ. В Вологде на частоте 92,7 МГц начала вещание федеральная музыкально-информационная патриотическая радиостанция "Радио Гордость" (источник — URL: https://vk.com/vcfm2014?w=wall-62613163_23500 (22.06.24)).

ДНР/ЛНР. В Мариуполе радиостанции "Маяк" и "Вести FM" сменили свои частоты вещания. "Вести FM" теперь вещает на частоте 96,4 МГц, а радиостанция "Маяк" — на частоте 102,1 МГц (источник — https://vk.com/wall-134632126_48871 (22.06.24)).

КАЛИНИНГРАДСКАЯ ОБЛ. Черняховская епархия РПЦ получила президентский грант на реализацию проекта по созданию на востоке Калининградской области радиостанции. Информация об этом размещена на сайте фонда

культурных инициатив.рф. Цель: создание местной некоммерческой просветительской радиостанции "Черняховск ФМ — Родное радио" с вещанием в восточной части Калининградской области (источник — URL: <https://www.newkaliningrad.ru/news/briefs/community/24096391-chernyakhovskaya-eparkhiya-poluchila-prezidentskiy-grant-na-sozdanie-rodno-go-radio.html> (22.06.24)).

КРАСНОДАРСКИЙ КРАЙ. Православная радиостанция "Радио Вера" начала трансляцию в станице Бриньковской на частоте 96,8 МГц (источник — URL: https://vk.com/wall-206132844_1955 (22.06.24)).

МОСКВА и МОСКОВСКАЯ ОБЛ. В мае 2024 г. было запущено вещание радиостанции "Радио Дача" в Серебряных Прудах. Частота вещания — 93,5 МГц. Мощность передающего оборудования — 250 Вт (источник — URL: https://vk.com/wall-31114824_241658 (22.06.24)).

В Волоколамске радиостанция "Радио Дача" начала своё вещание на частоте 87,6 МГц (источник — URL: <http://www.krutoymedia.ru/news/12566.htm> (22.06.24)).

В лицензии радиостанции "Наше радио" (Л033-00114-77/00738888 от 18 октября 2023 г.) произошли изменения. УКВ-частота 101,7 МГц в Москве и городах близлежащего Подмосковья заменена на частоту 101,8 МГц. Остальные данные прежние. Мощность передающего оборудования — 5 кВт. Время вещания — ежедневно, круглосуточно. Смена частоты радиостанции "Нашего радио" необходима со скрым началом вещания радиостанции "Радио России" в столице России на новой частоте 101,5 МГц (источник — URL: <https://rkn.gov.ru/activity/media/for-broadcasters/teleradio/?id=L033-00114-77%2F00738888> (22.06.24)).

СВЕРДЛОВСКАЯ ОБЛ. В Качканаре с 24 мая 2024 г. началось вещание радиостанции "Джем FM" на частоте 97,7 МГц. Мощность передатчика — 250 Вт, присутствует RDS (источник — URL: https://vk.com/radio_gordost?w=wall-222950544_7806 (22.06.24)).

СТАВРОПОЛЬСКИЙ КРАЙ. В селе Красногвардейском началось вещание радиостанции "Радио Дача" на частоте 101,3 МГц (источник — URL:

Примечание. Время всюду — UTC.

Время MSK = UTC + 3 ч.

<http://www.krutoymedia.ru/news/1256.htm> (22.06.24)).

ТАТАРСТАН. "Радио Гордость" — в эфире Казани на частоте 97,2 МГц. Мощность передатчика — 1 кВт (источник — URL: https://vk.com/wall-222950544_7282 (22.06.24)).

С 31 мая 2024 г. федеральную сеть радиостанции Like FM пополнил новый город-миллионник — Казань. Частота вещания — 107,3 МГц. Мощность передатчика — 4 кВт (источник — URL: <https://www.gpmradio.ru/news-page/uid/37105> (22.06.24)).

ХАБАРОВСКИЙ КРАЙ. С 1 июня 2024 г. на частоте 99,1 МГц в Хабаровске, крупном культурном и деловом центре Дальнего Востока России, началась ретрансляция радиостанции "Детское радио" (источник — URL: <https://www.gpmradio.ru/news-page/uid/37096> (22.06.24)).

ХЕРСОНСКАЯ ОБЛ. В Геническом муниципальном округе стартовала трансляция двух общероссийских радиостанций. Радиостанция Love радио вещает на частоте 94,1 МГц, радиостанция "Европа Плюс" вещает на частоте 98,1 МГц. Вещание запустили при содействии Минцифры Херсонской области совместно с ООО Радиоальянс (источник — URL: <https://tass.ru/obschestvo/20854229> (22.06.24)).

ХМАО-ЮГРА. Старейшая радиостанция округа — радиостанция "Югория" в этом году отметила 92-летие. Уникальность средства массовой информации в том, что радиостанция охватывает весь Ханты-Мансийский автономный округ и вещает на трёх языках: русском, хантыйском и мансийском. Коллектив создаёт программы социальной направленности, рассказывает о живущих в регионе людях.

Общий объём вещания — 650 ч в год. Программам национального вещания отводится свыше 80 ч. Это передачи на хантыйском языке "Рот ясанг" (Родная речь) и мансийском языке "Тайргутурсе" (Голос журавля) (источник — URL: <https://ugra.aif.ru/society/pervaya-radiostanciya-yugry-veschayet-na-trekh-yazykakh> (22.06.24)).

ЧЕЛЯБИНСКАЯ ОБЛ. В Челябинске при поддержке Президентского фонда культурных инициатив начала вещание федеральная музыкально-разговорная радиостанция патриотической направленности "Гордость" на частоте 93 МГц (источник — URL: https://onair.ru/main/eneews/view_msg/NMID_89109 (22.06.24)).

ЧУВАШИЯ. В Чебоксарах снесли радиомачту высотой 142,5 м. Радиовышка на одной из самых высоких точек г. Чебоксары была возведена в 1960 г. Это был период бурного развития радиовещания в стране. Четыре года назад, после очередного обследования мачты, были выявлены дефекты, устранение которых с учётом общего состояния объекта посчитали нецелесообразным. Мачта-антенна располагалась на улице Зои Яковлевой в районе Мемориального парка "Победа" (источник — URL: <https://chgtrk.ru/novosti/obshchestvo/v-cheboksarakh-snesli-142-metrovuyu-radiomachtu/> (22.06.24)).

ЯРОСЛАВСКАЯ ОБЛ. В Ярославле на частоте 93 МГц запущена ретрансляция радиостанции "Радио Родных дорог" (источник — URL: https://vk.com/vcfm2014?w=wall-62613163_23454 (22.06.24)).

ИНТЕРНЕТ-РАДИО

КАЗАХСТАН. В столице Казахстана состоялась церемония открытия радио ALQA, которое транслирует духовно-познавательный контент. На интернет-радио, созданном при поддержке Управления по делам религий акимата Астаны, пропагандируются традиции и мировоззрение казахского народа (источник — URL: https://onair.ru/main/eneews/view_ms_g/NMID_89203 (22.06.24)).

РОССИЯ. Радиостанция "Орфей" запускает новый интернет-канал "Классика российской музыки". С 12 июня 2024 г. к 18 уже работающим тематическим интернет-каналам добавится новый 19-й канал. Цифровизация радиостанции "Орфей" продолжается. Новый канал приглашает слушателей наслаждаться многогранностью отечественной классической музыки, познакомиться с редкими произведениями, а также новыми именами композиторов и исполнителей (источник — URL: <https://www.classicalmusicnews.ru/news/radio-orfej-zapuskaet-novyj-internet-kanal-ko-dnyu-rossii-2/> (22.06.24))).

ЗАРУБЕЖНОЕ ВЕЩАНИЕ

АРГЕНТИНА/АНТАРКТИДА. Национальное радио LRA 36 (Архангел Сан-Габриэль) спешит поделиться хорошими новостями. LRA 36 будет транслировать четыре передачи в неделю на частоте 15476 кГц (USB) в соответствии со следующим графиком: вторник — с 13:00 до 15:00, четверг — с 18:00 до 20:00, пятница — с 12:00 до 15:00, суббота — с 18:00 до 21:00 (источник — URL: <https://swlwg.com/blog/2024/05/radio-nacional-arcangel-san-gabriels-new-broadcast-schedule/> (22.06.24))).

ВЕЛИКОБРИТАНИЯ/о. МЭН. 60 лет Мэнского радио — национальной радиовещательной службы острова Мэн. Мэнское радио было первой коммерческой радиостанцией на Британских островах. Радиостанция начала вещание 60 лет назад, 5 июня 1964 г. В то время вещание велось из трейлера в Ончане, расположенного на земле, рядом с передатчиком и антенной. На момент открытия радиостанция вещала только в УКВ-диапазоне. С октября 1964 г. был введён в эксплуатацию средневолновый передатчик на частоте 1595 кГц, а для дальнейшего улучшения приёма был добавлен второй передатчик на частоте 1295 кГц. С 1978 г. в соответствии с Женевской конвенцией радиостанция вещает на частоте 1368 кГц. Средневолновый передатчик мощностью 20 кВтложен в Фоксдейле, в центре острова. Он по-прежнему активен, в дополнение к УКВ-вещанию на частотах 89 МГц, 97,2 МГц и 103,7 МГц, в анало-

говом стандарте, доступно вещание и в цифровом формате DAB+. Мэнское радио получило широкую популярность среди радиослушателей тем, что транслировало некоторые программы нелегальной радиостанции Radio Caroline North (источник — URL: <https://mediumwave.info/2024/06/06/united-kingdom-isle-of-man/> (22.06.24))).

КАНАДА. Спортивная радиостанция радио CBS теперь называется Infinity Sports Network, в соответствии с приказом CBS о прекращении вещания. 13 мая 2024 г. CRTC (Canadian Radio-television and Telecommunications Commission — Канадская комиссия по радио, телевидению и телекоммуникациям) согласилась с утверждением, что её текущее неустойчивое финансовое положение оправдывает освобождение от некоторых сборов, взимаемых CRTC, которые используются для субсидирования канадского программного контента (источник — URL: <https://mediumwave.info/2024/06/04/canada-161/> (22.06.24))).

ЛИТВА. Правительство Литвы одобрило продление запрета на вещание российских и белорусских каналов на территории страны. Запрет вводится на неопределённое время. Запрет будет действовать, пока в утверждаемой однопалатным парламентом стратегии Россия и Беларусь будут фигурировать как страны, от которых исходит угроза национальной безопасности страны. Прошлый запрет был введён в сентябре 2022 г. и установлен до октября 2024 г. (источник — URL: <https://www.cableman.ru/content/v-litve-prodolzhit-deistvovat-zapret-na-veshchanie-rossiiskikh-i-belorusskikh-kanalov> (22.06.24))).

США. В Ньюпорте (Северная Каролина) вещатель FBN — Fundamental Broadcasting Network (Сеть Фундаментального Вещания) и местная Баптистская Церковь Благодати ведут круглогодичную онлайн-трансляцию своей главной УКВ-станции WOTJ на сайте <https://www.fbnradio.com>. Вещание ведётся круглогодично на английском языке и нерегулярно, по воскресеньям, на испанском языке (источник — URL: <https://fbnradio.com/about.html> (22.06.24))).

ЯПОНИЯ. С февраля 2024 г. некоторые коммерческие радиовещательные компании начали пробную приостановку вещания на средних волнах, и существует реальная вероятность того, что пауза перерастёт в постоянное прекращение вещания по всей стране, поскольку вещатели стремятся сократить расходы. 13 из 47 коммерческих операторов в Японии отключили свои передатчики, чтобы посмотреть, к каким последствиям приведёт временное прекращение СВ-вещания. Средневолновое вещание было запущено в 1925 г., что привело Японию в эпоху регулярного радиовещания (источник — URL: <https://mediumwave.info/2024/06/03/japan-32/> (22.06.24))).

Хорошего приёма и 73!

ПИД-регулятор на Arduino в преобразователе напряжения

Д. КОНОТОП, г. Балашиха Московской обл.

В статье рассматривается ПИД-регулятор, используемый в цепи обратной связи импульсного стабилизатора напряжения с широтно-импульсным регулированием управляемых импульсов, формируемых микроконтроллером ATmega328P, который входит в состав отладочных плат Arduino Nano. Предлагаемый стабилизатор с успехом может быть использован в качестве лабораторного блока питания, предназначенного для питания совместно работающих аналоговых и цифровых устройств при проведении различных радиолюбительских экспериментов.

В своих радиолюбительских экспериментах я часто использую микроконтроллер (МК) для управления и контроля работы аналоговых устройств, а также измерения их параметров. Одно из интересных направлений — это регулирование с применением пропорционально-интегрально-дифференциальной процедуры (ПИД-процедуры) в цепи обратной связи. Так совпало, что для питания экспериментального аналогового устройства, собранного на

ним влиянием на двуполярное напряжение;

— обеспечил защиту от замыкания по всем выходам;

— использует саму отладочную плату Arduino в качестве контроллера для получения стабилизированного напряжения минусовой полярности.

Предлагаемая статья для тех, кто хочет самостоятельно собрать ПИД-регулятор на примере применения его в ИСН.

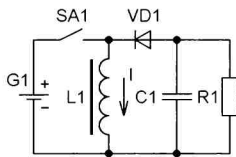
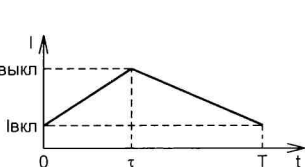


Рис. 1



операционных усилителях, мне понадобилось двуполярное напряжение питания. Наличие свободных ресурсов у МК подтолкнуло меня использовать его же для построения импульсного стабилизатора напряжения (ИСН), который даст мне все необходимые напряжения от одного источника. В результате получился лабораторный блок питания со следующими свойствами:

— использует имеющийся в моём распоряжении сетевой адаптер питания для светодиодной настольной лампы с выходным напряжением 12 В — это позволило мне не занимать дополнительных розеток и продолжать питать от него лампу;

— предоставил качественное двуполярное напряжение ± 5 В с током нагрузки до 200 мА, которого достаточно для работы большинства операционных усилителей;

— обеспечил питание отладочной платы Arduino Nano напряжением 9 В и током нагрузки до 400 мА с минималь-

Для получения стабилизированного напряжения минусовой полярности был выбран ИСН с широтно-импульсным регулированием управляемых импульсов.

На рис. 1 показана упрощённая схема такого ИСН и осциллограмма тока I , протекающего через дроссель $L1$. Чтобы реализовать управление таким ИСН, предварительно необходимо разобраться в его работе.

Анализ работы начнём с осциллограммы тока, протекающего через дроссель. Временной интервал $0 \leq t \leq T$ соответствует замкнутому состоянию коммутирующего элемента $SA1$, диод $VD1$ закрыт, а $t \leq t \leq T$ — его разомкнутому состоянию и открытому диоду $VD1$.

Следует помнить, если магнитопровод дросселя входит в насыщение, произойдёт короткое замыкание с безграничным ростом тока, на что необходимо обращать внимание при выборе режима работы дросселя.

Физический смысл наглядно подтверждается осциллограммой рис. 1 — ток, протекающий через дроссель, неразрывен. Исходя из этого, можно получить простое соотношение для напряжения на конденсаторе $C1$:

$$U_C = E \cdot \tau / (T - \tau) = E / (T/t - 1), \quad (1)$$

где E — напряжение источника $G1$ на рис. 1.

Из формулы (1) видно, что выходное напряжение зависит только от скважности работы коммутирующего элемента $SA1$ и входного напряжения источника $G1$.

А что же мы видим на практике? Если собрать устройство по схеме на рис. 1 без резистора $R1$, мы будем наблюдать неограниченный рост напряжения на конденсаторе даже при малых t , что является основным недостатком преобразователей, построенных по такой схеме — их нельзя включать без нагрузки!

Проведём дополнительный анализ схемы на рис. 1. Когда коммутирующий элемент замкнут, то происходит накопление электромагнитной энергии в дросселе, а когда тот разомкнется, то её "бросок" происходит через диод в конденсатор и нагрузку. Устройство представляет из себя энергетический насос от источника к конденсатору, и если энергию от конденсатора не потреблять, то мы будем наблюдать на нём неограниченный рост напряжения, что и подтверждается практикой. Таким образом, можно предположить, что суще-



Рис. 2

ствует минимальный ток нагрузки через резистор $R1$, начиная с которого соотношение (1) начнёт выполняться, и выходное напряжение не будет зависеть от тока нагрузки.

На рис. 2 представлена нагрузочная характеристика ИСН, которая отражает зависимость длительности замкнутого состояния коммутирующего элемента от тока нагрузки при заданном напряжении $U = 8$ В. По горизонтали отложен ток нагрузки в миллиамперах, по вертикали — длительность замкнутого состояния в микросекундах. Из неё видно, что в начале характеристики t растёт

равномерно с ростом тока нагрузки, а затем входит в "насыщение" и уже не зависит от него, когда тот становится больше 125 мА, т. е. с этого тока нагрузки начинает выполняться уравнение (1).

Таким образом, для использования ИСН, построенного по схеме на рис. 1, необходимо либо заранее обеспечить его минимальной нагрузкой — 125 мА, либо построить эффективную процедуру регулирования поддержания выходного напряжения за счёт управления длительностью замкнутого состояния коммутирующего элемента. Первый вариант подойдёт, если нагрузка не опускается ниже минимальной, но для лабораторного источника питания такой вариант не годится, поскольку нагрузка заранее неизвестна.

Как уже отмечалось, в своих экспериментах я уже использую МК ATmega328P, входящий в Arduino Nano, который имеет в своём составе аппаратный таймер с функцией ШИМ, способный работать в фоновом режиме и не тратить процессорное время для других задач. Мне было интересно реализовать управление длительностью замкнутого состояния коммутирующего элемента с применением процедуры ПИД-регулирования.

стабилитрон VD1 и плавкая вставка FU1. Для подавления синфазных помех на входе установлен синфазный дроссель L2 от компьютерного блока питания.

Далее входное напряжение подаётся на ИСН, а также через фильтр L1C2C3 на стабилизаторы: +9 В для питания Arduino [1] и положительного плеча стабилизатора двуполярного напряжения [2], минусовое напряжение на который приходит от ИСН через фильтр C12C13L4C14C15. Оба стабилизатора неоднократно мной повторялись и зарекомендовали себя как надёжные с высоким коэффициентом стабилизации, способными выдерживать короткое замыкание выхода, и малым падением напряжения на регулирующем элементе.

Выходное напряжение стабилизатора для питания Arduino вычисляется так: напряжение стабилитрона VD10 минус напряжение эмиттерного перехода транзистора VT9 и плюс напряжение стабилитрона VD8. В моём случае получилось +8,95 В. Ток короткого замыкания определяется резистором R15.

При построении двуполярного стабилизатора желательно подобрать транзисторы VT3 и VT4 по равному па-

да не превышает 0,025 В. Напряжение стабилизации равно напряжению стабилитрона минус падение напряжения на эмиттерном переходе и в данной реализации равно ±5,33 В.

Благодаря применению отдельных LC-фильтров, а также разделенных стабилизаторов с высоким коэффициентом стабилизации для питания цифровых и аналоговых цепей удалось свести их взаимное влияние друг на друга к минимуму.

Регулирующий элемент — р-канальный транзистор VT7 (IRFD9120). Он обладает малым сопротивлением канала (не более 0,6 Ом) и высокой скоростью переключения, что позволяет применять его в ИСН без теплоотвода. Для получения управляющего импульса с выхода МК нужной полярности с необходимыми фронтами на затворе VT7 дополнительно используются транзисторы VT5 и VT6. Транзистор VT5 используется в качестве ключа с форсирующим конденсатором С6 в цепи базы. Ёмкость затвора заряжается через цепь R11V5VT5, а разряжается через VT6. Благодаря диоду VD5 транзистор VT6 открывается при закрывании VT5 и заряженном затворе, что ускоряет разряд последнего.

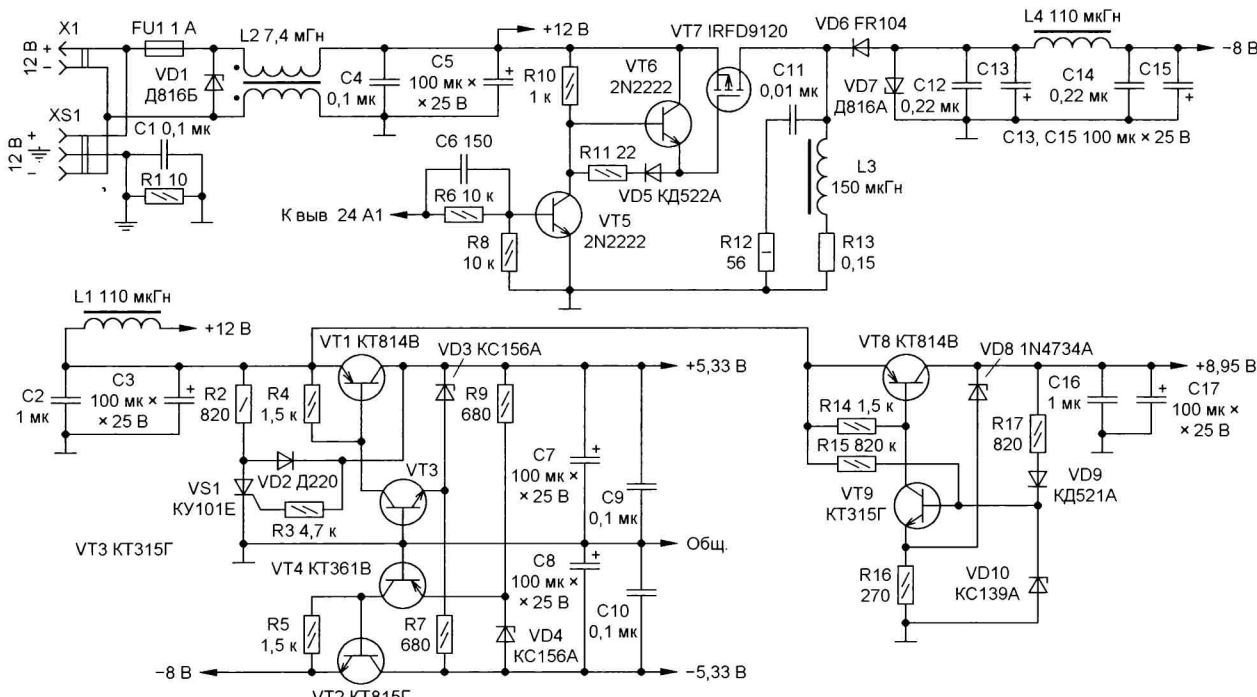


Рис. 3

Схема лабораторного блока питания показана на рис. 3. Внешний источник напряжения подключают через разъём X1, и через разъём XS1 он продолжает питать внешнего потребителя, в моём случае настольную лампу. Также к разъёму XS1 можно подвести внешний контур заземления, который подключается к общему проводу через резистор R1 и конденсатор C1. Чтобы избежать наличия повышенного напряжения и переполюсовки, на входе установлены

дению напряжения на эмиттерном переходе, а также стабилитроны VD3 и VD4 по равному напряжению стабилизации при двух токах 5 мА и 10 мА. При таком подборе элементов напряжения стабилизации обоих плеч будут равны. В моём случае на холостом ходу разница ноль, а при токе нагрузки 200 мА разни-

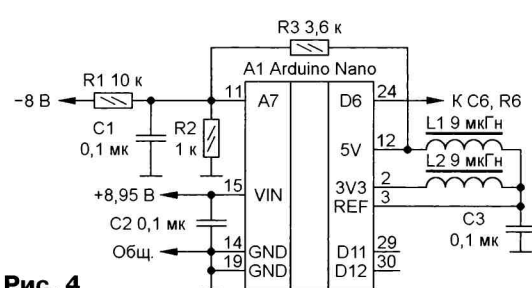


Рис. 4

Резистор R11 выбирают из расчёта непревышения допустимых импульсных токов коллектора транзистора VT5 и диода VD5:

$$R_{11} = (12 \text{ В} - 1 \text{ В})/0,5 \text{ А} = 22 \text{ Ом},$$

где 12 В — входное напряжение; 1 В — суммарное падение напряжения на диоде VD5 и транзисторе VT5; 0,5 А — выбранное значение импульсного тока.

Конденсатор C6 подбирают так, чтобы входные импульсы минимальной длительности формировались без искажений на затворе транзистора VT7.

Чтобы избежать паразитного падения напряжения на клеммных соединениях, для Arduino Nano была разработана переходная плата "под пайку" с удобным креплением, схема которой приведена на **рис. 4**.

Сами импульсы на ИСН поступают от платы Arduino с выхода D6 — выхода внутреннего Timer/Counter0 в режиме Fast PWM, а напряжение обратной связи — с выхода ИСН (8 В) через делитель напряжения R1R2 на вход A7.

В данной реализации конденсатор C3 служит для дополнительной фильтрации внутреннего образцового напряжения АЦП, а резистивный делитель напряжения R1R2R3 — для согласования выходного напряжения ИСН отри-

$$R_3 = (U_{\text{Up}} - A_7)/[(A_7 - U)/R_1 + A_7/R_2] \quad (2)$$

Уравнение (2) вводим в таблицу Excel и, подбирая сопротивления резисторов R1 и R2 из ряда E24, находим сопротивление резистора R3, как показано на **рис. 5**.

Задно вычисляем значения кодов АЦП, колонка ADC, соответствующие выходному напряжению ИСН при образцовом напряжении 1,052 В, — это реальное внутреннее образцовое напряжение АЦП для моего экземпляра MK, которое можно измерить вольтметром на выходе REF (выв. 3 A1 на рис. 4). Также оценим ёмкость конденсатора C1 в делителе для постоянной времени 1 мс — такта работы ПИД-регулятора, т. е. ёмкость C1 должна быть меньше, чем 1,4 мкФ, для того чтобы видеть изменения напряжения на выходе ИСН, произошедшие с последнего такта регулирования.

Лабораторный блок питания и Arduino Nano смонтированы на отдельных печатных платах, изготовленных из фольгированного с одной стороны стеклотекстолита толщиной 1,5 мм. Чертёж платы блока питания и расположение элементов показаны на **рис. 6**, а переходной платы Arduino Nano — на **рис. 7**.

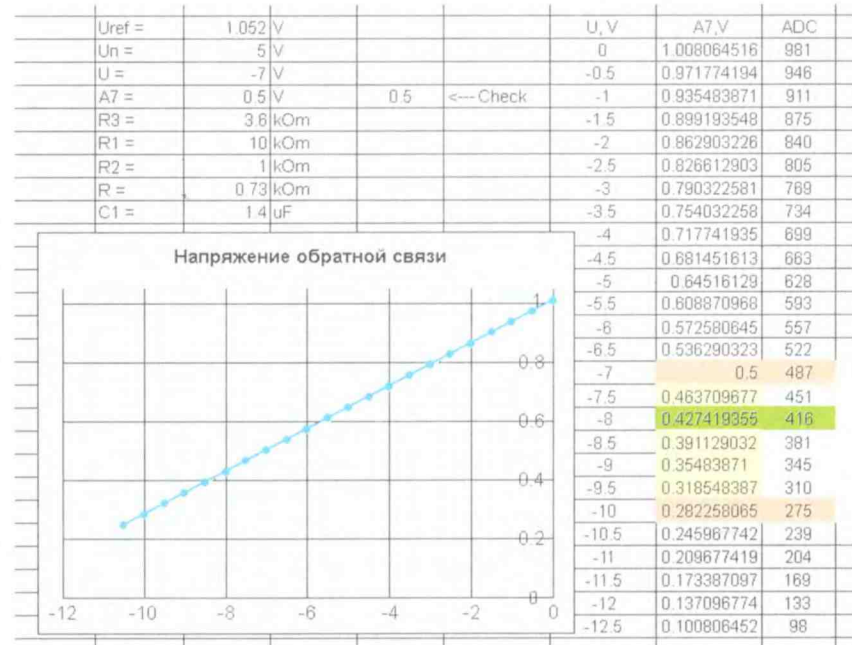


Рис. 5

цательной полярности и образцового напряжения ЦАП положительной полярности, дроссели L1 и L2 не устанавливают.

Расчёт делителя прост. В качестве исходных параметров выбираем значение напряжения на выходе делителя 0,5 В (на входе A7, выв. 11 A1) — это половина образцового напряжения АЦП 1,1 В, которое соответствует выходному напряжению ИСН 7 В при напряжении питания Up = +5 В. Затем выражаем сопротивление резистора R3 через R1 и R2:

Фотография собранной платы блока питания — на **рис. 8**. На переходной плате сначала запаивают конденсаторы C1—C3, а над ними на стойках устанавливают плату Arduino. Синфазный дроссель L2 блока питания взят при разборке компьютерного блока питания, из которого также были взяты кольцевые магнитопроводы с распределённым зазором размерами 21×12×7 мм для намотки остальных дросселей и меньший теплоотвод, на котором установлены транзисторы VT1, VT2 и VT8. Дроссели L1, L3 и L4 намотаны прово-

дом ПЭТВ-2 0,53 мм по 60 витков (до полного заполнения) в один слой на кольцах жёлтого (L1, L4) и серого (L3) цветов. Для удобства намотки кольца желательно обмотать одним слоем лакоткани ЛШМ 0,12 мм. Все оксидные конденсаторы с низким ЭСР и номинальным напряжением 25 В. Датчик тока — резистор R13 — МР930 сопротивлением 0,15 Ом с допуском 1 %.

Для настройки и управления ИСН разработана сервисная программа (далее программа) в виде диалогового приложения ОС Windows. Программа устанавливает соединение с Arduino через порт RS232, который эмулируется драйвером USB-порта для отладочной платы — его необходимо установить заранее. Также перед установкой соединения необходимо "прощить" проект ИСН в MK с помощью Atmel Studio 7.0, которая распространяется производителем MK бесплатно. Для установки соединения необходимо нажать на кнопку "Connect..." в диалоговом окне выбрать из списка необходимый порт (**рис. 9**).

Признаком успешного соединения будет смена надписи на кнопке на "Disconnect", в окне "Protocol" будет отображаться протокол обмена, а информационные поля заполняются данными, как это изображено на **рис. 10**.

Для обмена данными между программой и Arduino был разработан специальный или, как сейчас модно говорить, проприетарный пакетный двоичный протокол связи. Пакеты обрамляются выделенными байтами: начинаются с байта со значением 0A и заканчиваются — 0D (здесь и далее значения байт представлены в шестнадцатеричном виде). Это позволяет выделять пакеты из непрерывного потока данных — часто пакеты отделяются временными интервалами между байтами — тем самым, мы не тратим время перед его обработкой, а выделяем и обрабатываем его по мере приёма данных, что называется "на лету". Двоичный протокол подразумевает использование всего интервала значений байта — 00—FF, поэтому выделенные байты начала и конца пакета внутри него подменяются парой байт: 0A — 10 F5, 0D — 10 F3, а раз мы заняли 10, то 10 — 10 EF. Дополнительно пакет защищён в конце контрольной суммой — логическое ИСКЛЮЧАЮЩЕЕ ИЛИ всех байт. Таким образом, перед передачей пакета в его конец добавляется контрольная сумма данных, затем производится замена встречающихся выделенных байт на их пары, в начало и конец добавляются 0A и 0D соответственно. При приёме потока данных пакетом считается всё то, что расположено между 0A и 0D, после чего данные пакета восстанавливаются (обратная замена выделенных пар), считается контрольная сумма, и если она совпадает с той, что находится в принятом пакете, то пакет считается принятым без искажений и готов к обработке, о чём свидетельствует семафор зелёного цвета в окне протокола обмена.

На главном окне приложения отображается следующая оперативная информация, которая нам поможет для настройки ПИД-регулятора (**табл. 1**).

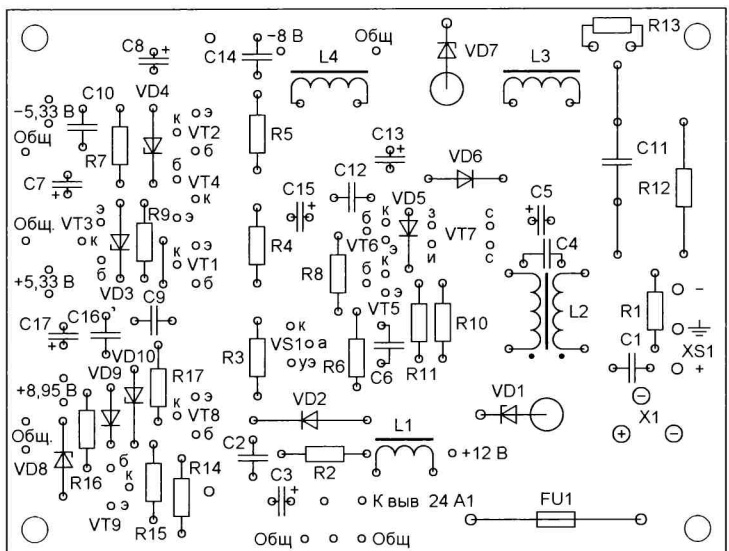
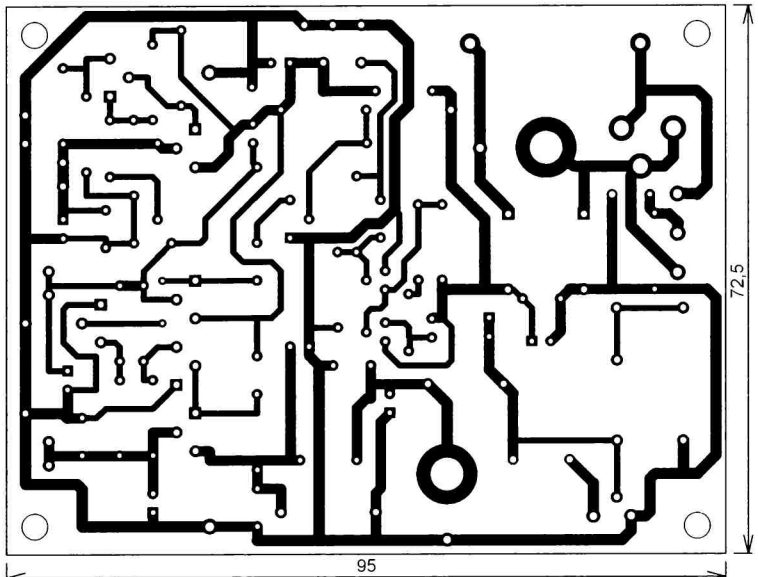


Рис. 6



Рис. 8

Вся оперативная информация сохраняется в log-файле для последующего анализа в виде текста, который можно просмотреть любым текстовым редактором, например Notepad.

После того как Arduino "прошита" и с ней установлено соединение, необходимо перейти к подбору ёмкости конденсатора C6 (см. рис. 3). Для этого на место штатного C6 подключают конденсатор переменной ёмкости 4...495 пФ, осциллограф — к затвору транзистора VT7, к выходу ИСН — нагрузку 75 Ом (помните, без нагрузки не включаем, хотя и есть защитный стабилизатор VD7), а сам ИСН переводится в сервисный режим, в котором есть возможность формировать импульсы требуемой длительности. На **рис. 11**, **рис. 12** представлена последовательность для перевода ИСН в режим управления длительностью импульса.

В поле "Pulse width" задаётся значение длительности импульса в единицах 1/16 мкс: 0 — 1/16 мкс, 127 — 8 мкс. Ёмкость конденсатора C6 подбирают так, чтобы сигнал на экране осциллографа был отчётливым с провалом до нуля при любом значении длительности импульса. Отчётливый сигнал на стоке — площадка +12 В — получится автоматически, в чём можно убедиться с помощью осциллографа. После того как результат получен, измеряем ёмкость C6 и ставим штатный конденсатор ближайшего номинала, округлённого в большую сторону. Эксперимент повторяем, чтобы убедиться в правильности выбранного номинала C6.

Далее подбираем параметры демпферной цепи R12C11, для этого устанавливаем длительность импульса 127 (ИСН всё ещё нагружен!), подключаем осциллограф к резистору R13 и наблюдаем осциллограмму, как на рис. 1. Измеряем значения изменения токов и для контроля из уравнения

$$I_{\text{выкл}} = I_{\text{вкл}} + E \cdot \tau / L$$

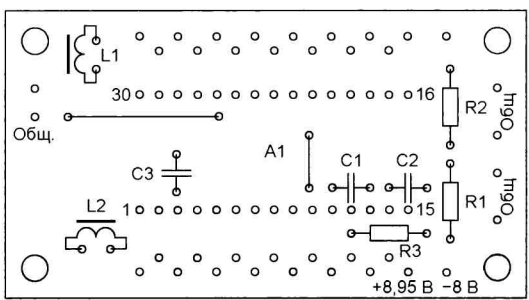
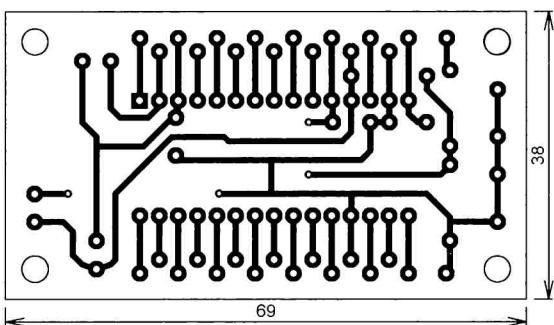


Рис. 7

вычисляем значение индуктивности дросселя L3. Результаты представлены в табл. 2, где 0,02 В/дел — цена деления сетки осциллографа; 0,15 Ом — сопротивление резистора R13; 12 В — напряжение питания; 8 мкс — длительность импульса.

Устанавливаем значение длительности импульса на 40. Осциллограф подключаем к стоку транзистора VT7. Наблюдаем паразитные колебания. Измеряем их частоту и, зная индуктивность, вычисляем собственную ёмкость: $F_0 = 0,875$ МГц, $C_0 = 220$ пФ. Хоть колебания мы исключить не можем, но можем понизить их частоту, и она должна быть вдвое ниже частоты преобразования ИСЧ $F = 0,0625$ МГц, тогда $C_{11} = 1/(L(2\pi F)^2) = 10$ нФ » С0.

Осталось понять необходимость в резисторе R12. В самом начале мы опирались на физический смысл закона электромагнитной индукции — это неразрывность тока через индуктивность, в то время как напряжение на индуктивности может меняться мгновенно как угодно, а в нашем случае — менять свой знак. На конденсаторе всё с точностью до наоборот — напряжение неразрывно, а ток зарядки может меняться как угодно. Поэтому, чтобы выполнить условие непрерывности напряжения на конденсаторе C11, нам нужен ограничитель тока — резистор R12. Поскольку R12 — ограничитель тока для перезарядки конденсатора C11, то в момент переключения индуктивности будет хорошо сохранить значение тока через неё:

$$R_{min} = (U + E)/I_{max} = (8 + 12)/0,773 = 25 \text{ Ом};$$

$$R_{max} = (U + E)/I_{min} = (8 + 12)/0,16 = 125 \text{ Ом}.$$

Я выбрал ближайшее к среднему из наличия резистора подходящей мощности — 56 Ом.

А какой мощности должен быть резистор R12? Для этого необходимо решить задачу по физике: какая энергия выделяется на резисторе R12 при подключении через него конденсатора C11 к источнику Е, если конденсатор был предварительно заряжен до напряжения U? Задача очень просто решается с использованием закона сохранения энергии. Конечное уравнение для тепловой энергии W_{R12} :

$$W_{R12} = C(E - U)^2/2.$$

Таблица 1

Uout, V	текущее напряжение на выходе ИСЧ с его максимальным и минимальным значениями
PWM	текущее значение уставки PWM — значение регистра OCR0A
dUadc/T	текущее вычисленное значение производной напряжения на выходе ИСЧ с его максимальным и минимальным значениями — дифференциальная составляющая
SumDif	суммарная ошибка регулирования — интегральная составляющая

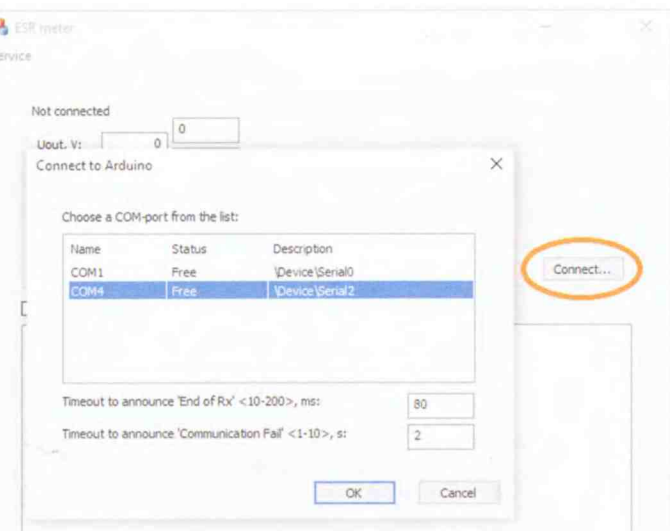


Рис. 9

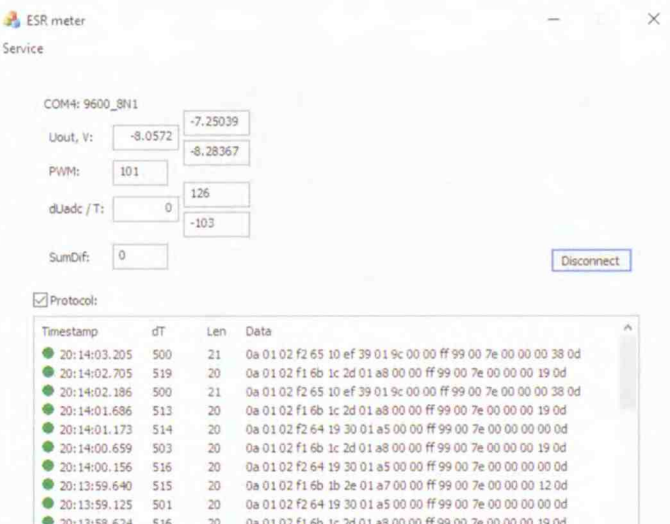


Рис. 10

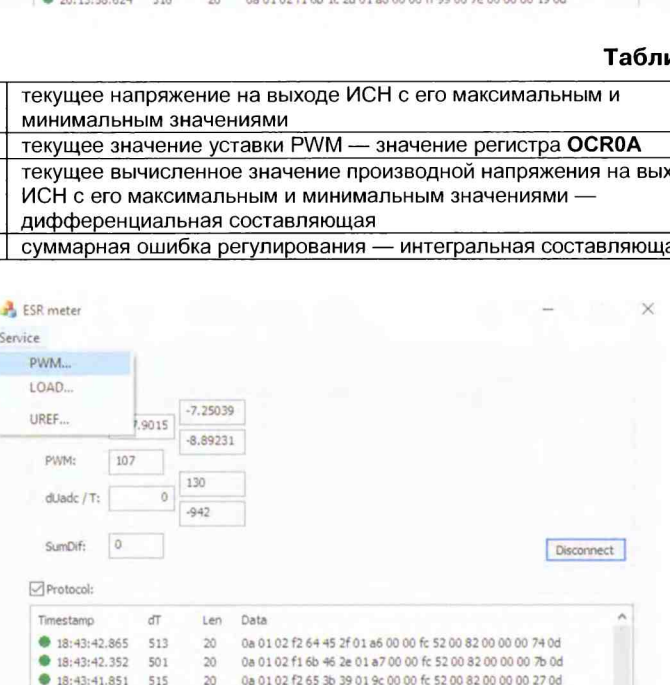


Рис. 11



Рис. 12

По определению мощности — количество теплоты за единицу времени — за такт преобразования 16 мкс перезарядка происходит два раза (включение и отключение):

$$P_{R12} = 2W_{R12}/T = 2 \cdot 10^{-8}(12 - (-8))^2 \cdot 10^6 / 16 = 0,5 \text{ Вт.}$$

Таблица 2

Imin, A	ток через дроссель в момент включения	$1,2 \times 0,02 / 0,15 = 0,16$ А
Imax, A	ток через дроссель в момент отключения	$5,8 \times 0,02 / 0,15 = 0,773$ А
$\Pi\Delta$, А	разность токов	$0,773 - 0,16 = 0,613$ А
L, мГн	вычисленная индуктивность дросселя из (3)	$12 \times 8 / 0,613 = 156,5$ мГн

Обратите внимание — количество энергии, выделяемое на резисторе, не зависит от его сопротивления, т. е. энергия хоть на проводах, но выделяется всегда.

При желании можно снять нагрузочную характеристику, показанную на рис. 2.

Из уравнения (3) мы видим, что демпфирующая цепь снижает КПД ИСН, но при этом осциллограмма тока через L3 становится ровнее с минимальными всплесками при переключениях и во всём интервале нагрузки отсутствуют паразитные колебания, тем самым резко снижаются высокочастотные излучения и помехи, а нагрузочная характеристика становится ровной без провалов, что повышает точность регулирования выходного напряжения.

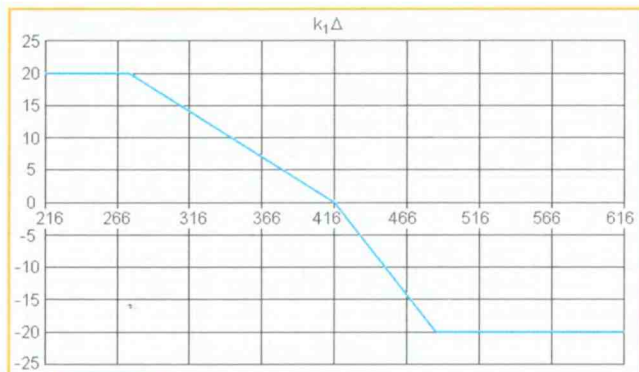


Рис. 13

После выбора параметров демпферной цепи R12C11 резистор R13 можно выпаять, а на его место установить перемычку на том же не менее 1 А.

Закончив настройку электронной части, можно приступить к настройке программной, собственно ПИД-регулятора. Для этого необходимо выйти из сервисного режима — закрыть окно управления длительностью импульса и вернуться в основное окно программы.

Как уже отмечалось, проект для Arduino выполнен в свободно распространяемой среде разработки Atmel Studio 7.0 с использованием языка программирования C++. "Прошивка" платы Arduino осуществляется через ICSP-разъём, к которому подключают программатор STK500. Проект собран для МК ATmega328P. В проекте используются два восьмиразрядных аппаратных таймера: Timer/Counter2 для организации программных прерываний с тактом 1 мс и Timer/Counter0 в режиме

Fast PWM, который формирует длительность τ для регулирования напряжения на выходе ИСН. Один раз в миллисекунду запускается в фоновом режиме процесс измерения аналогового значения по входу A7, по завершении которого также по прерыванию производится расчёт новой длительности τ в зависимости от рассогласования с уставкой регулирования $U_{sp} = -8$ В по ПИД-процедуре.

ПИД-процедура — это способ вычисления корректирующего воздействия по трём составляющим: по текущему рассогласованию (Пропорциональная составляющая), сумме предыдущих рассогласований (Интегральная составляющая — память) и текущей производной рассогласования (Дифференциальная составляющая — упрежде-

ние). 0,0625 МГц — это максимум, который можно получить от аппаратного Timer/Counter0 в режиме Fast PWM и, как мы уже знаем, безболезненно поддержать элементной базой ИСН.

Такт работы регулятора здесь выбран 1 мс — это тот такт прерываний, который позволяет организовать встроенный Timer/Counter2, при котором в ИСН заканчиваются переходные процессы. С другой стороны, 1 мс комфортна и для практической организации вызова прикладных задач.

Сначала выберем коэффициент усиления пропорциональной составляющей k_p . Основной критерий его выбора — это достичь оптимального быстродействия регулирования при сохранении устойчивости. Начнём с быстродействия. Есть нагрузочная характеристика (см. рис. 2), из которой видно, что длительность импульса меняется в интервале от 31 до 127 (ближайшие к степени 2), т. е. разница между максимумом и минимумом равна 96. Здесь мы можем задаться первой характеристикой регулирования — компенсировать лю-



Рис. 14

ние). В некоторых учебниках [3] такой способ регулирования называют трёхимпульсным — по числу составляющих, входящих в процедуру вычисления корректирующего воздействия — импульса, который далее интегрируется на исполнительном органе (в нашем случае в регистре **OCROA** таймера Timer/Counter0). Как показывает практика, для построения качественного регулятора трёх составляющих бывает недостаточно, что мы увидим ниже, и приходится строить четырёх- и более импульсные регуляторы.

Настройка ПИД-регулятора — недетерминированная процедура, основанная больше на понимании основ теории автоматического управления, подкреплённая опытом её применения на практике. Автором статьи не ставится задача доказательства оптимальности настройки ПИД-регулятора для этой реализации, а всего лишь даются практические рекомендации по его настройке.

Частота следования выбрана

бое возмущение (изменение нагрузки) за пять тактов (5 мс), что эквивалентно максимальному корректирующему воздействию, равному 20 ($=96/5$). Вторая характеристика — это зона регулирования, т. е. тот интервал выходных напряжений, для которых мы ещё применяем ПИД-процедуру, вне же её мы используем максимальное корректирующее воздействие — пороговое регулирование. В нашем случае 10...7 В при напряжении уставки регулирования $U_{sp} = -8$ В. Мы намеренно выбрали зону регулирования несимметричной, поскольку при провале напряжения на выходе коэффициент передачи ИСН меньше, чем при его повышении, что следует из нагрузочной характеристики на рис. 2. Этот метод ещё называют методом нормализации, который удобно представлять графически, как это изображено на рис. 13.

На графике по горизонтальной оси отложен код АЦП в соответствии с колонкой ADC (см. рис. 5), по вертикальной оси — значение нормированного корректирующего воздействия с учё-

```
#define MIN_OCROA 31
#define MAX_OCROA 127 // 191 = 3/4, 127 = 1/2
#define MAX_OCROA_DIF 20 // < MIN_OCROA
#define ADC_SP 416 // -8.0 V; Vref = 1.052 V
#define ADC_MIN 275 // 133: -12; 275: -10 V; 348: -9.0 V ---> - ; 419 -8 V ; 384 -8.5 V
#define ADC_MAX 490 // 562: -6.0 V ---> + ; 490 -7 V ; 526 -6.5 V
```

Таблица 3

```

if(uADC < ADC_SP) {
    //uOCROA--;
    iDif = (ADC_SP - uADC) * MAX_OCROA_DIF / (ADC_SP - ADC_MIN);
    iDif = iDif < MAX_OCROA_DIF ? -iDif : -MAX_OCROA_DIF;
} else{
    //uOCROA++;
    iDif = (uADC - ADC_SP) * MAX_OCROA_DIF / (ADC_MAX - ADC_SP);
    iDif = iDif < MAX_OCROA_DIF ? iDif : MAX_OCROA_DIF;
}
iOCROA += iDif;

```

Таблица 4

тому знака делителя напряжения на входе A7. Тем самым чем зона регулирования шире, тем график более пологий и коэффициент усиления более низкий, и наоборот, что наглядно видно из графика.

В проекте границы зоны регулирования и максимального корректирующего воздействия определены в виде констант (**табл. 3**).

Корректирующее воздействие вычисляется так (**табл. 4**).

```
#define ADC_GUARD      10      // 7 - 0.1 V; 14 - 0.2 V; 18 - 0.25 V
```

Если такой код "прощить" в МК и проверить качество регулирования в стационарном состоянии при различных нагрузках ИСН, подключив осциллограф к аноду стабилитрона VD7, то мы увидим малую генерацию в районе уставки -8 В, причём амплитуда колебаний зависит от тока нагрузки. Такое происходит, поскольку не существует такого целого числа, для которого точно соблюдалось бы равенство уставки **ADC_SP** и измеренного значения **uADC**. Из-за этого постоянно происходит изменение и, как результат, — наблюдаемые колебания. Амплитуда колебаний при разных нагрузках говорит о разном коэффициенте передачи самого ИСН, который мы уже учитывали при выборе зон регулирования.

Чтобы избежать колебаний в стационарном состоянии, в цифровых системах вводится так называемая зона нечувствительности (программный триггер Шmittта). Ширина зоны нечувствительности определяется практически, например, с помощью сервисной программы. Для этого в стационарном состоянии переводим ИСН в сервисный режим, что отключит обратную связь ПИД-регулирования, значение длительности включённого состояния "заморозится", колебания прекратятся. При необходимости подбираем длительность импульса по значению **Uout** главного окна (**рис. 14**, слева). Нажимаем

на кнопку Refresh для сброса статистики (рис. 14, справа) и наблюдаем за максимальным и минимальным значениями напряжения на выходе в стационарном состоянии.

На рис. 14 разность между максимальным и минимальным значениями напряжения равна 0,06 В, т. е. это разброс при измерении напряжения на выходе. Для надёжности захвата выбрано значение зоны нечувствительности в кодах АЦП, равное 10, что соответствует

```

// Damping
if(uOCROA > 96)
    iDif >= 2;
else if(uOCROA > 64)
    iDif >= 1;
iOCROA += iDif;

```

Таблица 5

Таблица 6

№	Знак рассогласования	Знак производной	Результирующее рассогласование
1	$\Delta < 0$	$U' > 0$	$ \Delta - k_3 U' > \Delta $
2		$U' < 0$	$ \Delta - k_3 U' < \Delta $
3	$\Delta > 0$	$U' > 0$	$ \Delta - k_3 U' < \Delta $
4		$U' < 0$	$ \Delta - k_3 U' > \Delta $

ет выходному напряжению $\pm 0,15$ В (см. рис. 5 колонка ADC). Это ещё одна характеристика нашего ПИД-регулятора — точность регулирования напряжения на выходе ИСН.

В проекте зона нечувствительности определяется в кодах АЦП, как показано в **табл. 5**.

Для компенсации неравномерности коэффициента передачи самого ИСН желательно знать ток нагрузки — скорректировать управляющий импульс. В нашей реализации ИСН ток нагрузки не измеряется, но мы можем оценить его косвенно — по текущему значению длительности замкнутого состояния комму-

тирующего элемента. Такой механизм часто называют демпфированием — дополнительное уменьшение корректирующего воздействия в зависимости от текущего состояния звена регулирования. В коде проекта это выглядит так, как показано в **табл. 6**.

При больших токах нагрузки ($t > 96$) вычисленное управляющее воздействие уменьшается в четыре раза, при ($64 < t \leq 96$) — в два раза. После "прощивки" кода с введённой зоной нечувствительности и демпфированием мы можем наблюдать устойчивую систему регулирования с выбранной точностью, что для большинства приложений уже считается вполне достаточным.

Следующий этап настройки ПИД-регулятора — выбор коэффициента усиления дифференциальной составляющей — дифференциальной коррекции. Рассмотрим её действие на примерах, обобщённых в **табл. 7**.

В первом случае выходное напряжение выше уставки, и оно отдаляется от неё, следовательно, результирующее воздействие необходимо усилить — из отрицательного числа вычитаем положительное и получим более отрицательное значение.

Во втором случае выходное напряжение также выше уставки, но оно уже и так приближается к ней, что может привести к излишнему перерегулированию, следовательно, результирующее воздействие необходимо уменьшить — из отрицательного числа вычитаем отри-

Таблица 7

```

// Derivative
iADCDif[MAX_ADC_DIF] = (iADCDif[0] << 1) + iADCDif[1];
iADCDif[MAX_ADC_DIF] -= ((iADCDif[3] << 1) + iADCDif[2]);
// ...
short iDif = iADCDif[MAX_ADC_DIF] >= 0 ? iADCDif[MAX_ADC_DIF] : -iADCDif[MAX_ADC_DIF];
if(iDif < 32)
    iADCDif[MAX_ADC_DIF] = 0;      // Зона нечувствительности — обнуление производной
else if(iDif > 320)           // 32 = 0.5 V/T: >> 5; 64 : >> 6; 128 >> 7
    iADCDif[MAX_ADC_DIF] = iADCDif[MAX_ADC_DIF] > 0 ? 10 : -10;
else
    iADCDif[MAX_ADC_DIF] >>= 5;

```

Таблица 8

цательное, т. е. прибавляем его, и результирующее рассогласование может даже поменять знак!

Третий и четвёртый случаи интерпретируются аналогично.

Таким образом, дифференциальная составляющая вносит упреждение в вычисление управляющего воздействия.

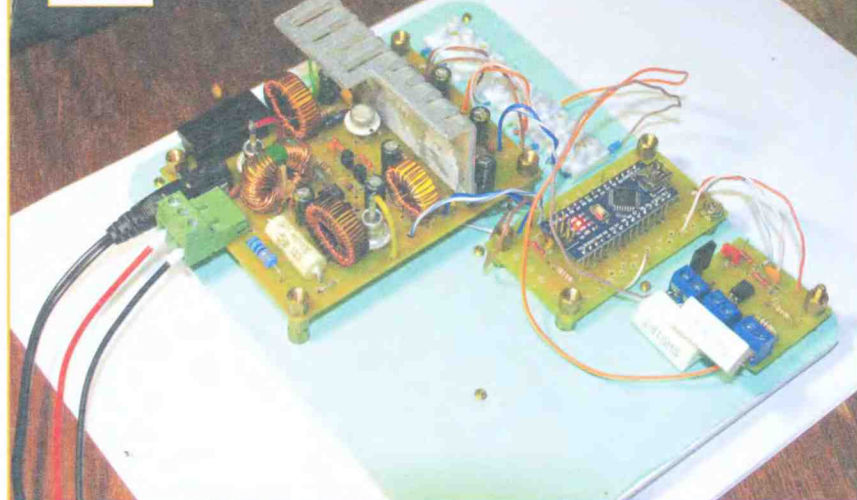
Ранее мы встречались с тем, что значения измеренного напряжения на выходе ИСН при постоянном замкнутом состоянии коммутирующего элемента различны, что делает присутствие дифференциальной составляющей в измерении ненулевой величиной и может приводить к нежелательному управле-

нию. Для преодоления этого мы будем использовать два подхода.

Первый подход — это введение зоны нечувствительности, как это мы делали ранее. В сервисной программе для различных величин нагрузки наблюдаем за максимальным и минимальным значениями вычисленной производной напряжения на выходе ИСН (см. рис. 14).

Второй подход состоит в оптимальной фильтрации при вычислении производной. Для этого удобно использовать "специальные" КИХ-фильтры. В проекте будем использовать КИХ-фильтр четвёртого порядка. Увлекаться порядком фильтра не стоит, поскольку это приводит к дополнительным задержкам в формировании управляющего воздействия.

Рис. 16



В данном проекте производная вычисляется исходя из соображений минимизации процессорного времени, поэтому операции деления и умножения заменяются операциями сдвига: $U_i = 2U_{i-1} - U_{i-2} - 2U_{i-3}$, где умножение на 2 заменено сдвигом влево, а деление — сдвигом вправо.

Код в проекте, учитывающий зону нечувствительности (обнуление производной), ограничение дифференциальной коррекции при максимальных значениях производной, а также коэффициент усиления, представлен в табл. 8.

Чтобы увидеть, как работает дифференциальная коррекция, нам необходимо посмотреть осциллограмму напряжения на выходе ИСН при изменении на нём нагрузки. Для управления нагрузкой был разработан специальный модуль, схема которого приведена на рис. 15.

Это узел с опоразвязкой управляющих импульсов от источника напряжения любой полярности, к которому подключают управляющую нагрузку: импульсную нагрузку подключают к точкам 5 и 6, а постоянную — к точкам 4 и 5, минус источника напряжения подключают к точке 6, а

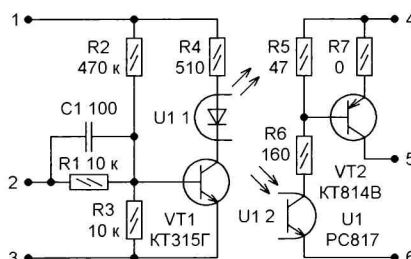


Рис. 15

плюс — к точке 4. Нагрузку выбирают в интервале 50...100 Ом, а постоянная нагрузка может отсутствовать. В импульсном варианте управления

(см. рис. 15) и могут быть использованы в качестве синхроимпульсов осциллографа для наблюдения на его экране переходных процессов.

Фотография собранного устройства показана на рис. 16.

Во время переходных процессов ранее спроектированный регулятор, без учёта дифференциальной составляющей, начинает "звенеть", в момент переключения нагрузки возникают затухающие колебания, которые не успевают завершиться за 500 мс перед следующим переключением нагрузки. Добавление же дифференциальной коррекции к линейному рассогласованию в корне меняет ситуацию — колебания затухают за 20...50 мс. В проекте это выглядит так, как показано в табл. 9.

Коэффициент дифференциальной составляющей выбирается из условия нулевой коррекции для случаев 2 и 3, рассмотренных в табл. 7 при заданном рассогласовании Δ :

$$K_1\Delta - K_3U = 0.$$

Используя в расчётах дифференциальную составляющую, мы придаем дополнительный смысл "зоне нечувствительности" регулятора. Теперь "зона нечувствительности" считается не только минимальное отклонение выходного напряжения от уставки, но и минимальное значение его производной. В проекте это выглядит так, как показано в табл. 10.

Таблица 11

```
iOCROA += iDif;
if(iOCROA < MIN_OCROA)
    uOCROA = MIN_OCROA;
else if(iOCROA > MAX_OCROA)
    uOCROA = MAX_OCROA;
else
    uOCROA = iOCROA;
OCROA = uOCROA;
```

Таблица 10

```
iDif = 0;
if( (uADC < (ADC_SP - ADC_GUARD)) ||
    (uADC > (ADC_SP + ADC_GUARD)) ||
    (iADCDif[MAX_ADC_DIF] != 0) )
{
    if(uADC < ADC_SP){
        //uOCROA--;
        iDif = (ADC_SP - uADC) * MAX_OCROA_DIF / (ADC_SP - ADC_MIN);
        iDif = iDif < MAX_OCROA_DIF ? -iDif : -MAX_OCROA_DIF;
    } else{
        //uOCROA++;
        iDif = (uADC - ADC_SP) * MAX_OCROA_DIF / (ADC_MAX - ADC_SP);
        iDif = iDif < MAX_OCROA_DIF ? iDif : MAX_OCROA_DIF;
    }
    iSumDif = 0;
    iDif += iADCDif[MAX_ADC_DIF];
    iDif += (iSumDif >> 6);
```

// Нижняя зона
// Верхняя зона
// Обнулённая производная

// Обнуление интегральной составляющей
// Дифференциальная составляющая
// Интегральная составляющая

нагрузкой резистор R2 не устанавливают, а вместо R7 устанавливают перемычку. В проекте на выводе D12 (см. рис. 4) формируются управляющие импульсы с частотой 1 Гц и скважностью 2, которые поступают на точку 2

осталось выбрать коэффициент усиления интегральной составляющей. Как уже отмечалось, интегральная составляющая — это память регулятора, благодаря которой отклонение от уставки сводится к минимуму, а также увеличи-

ЛИТЕРАТУРА

вается значение корректирующего значения при длительном рассогласовании. При входении регулятора в зону нечувствительности интегральную составляющую необходимо обнулять, чтобы избежать ненужных колебаний в районе уставки.

Перед тем как вернуть скорректированное значение длительности замкнутого состояния коммутирующего элемента в регистр **OCROA** таймера Timer/Counter0, его необходимо уложить в допустимые границы (**табл. 11**).

Также в проекте заложен механизм прямого измерения длительности исполнения алгоритма ПИД-регулирования. На выводе D11 A1 (см. рис. 4) формируются импульсы с начала измерения напряжения на выходе ИСН до момента записи скорректированного значения длительности замкнутого состояния коммутирующего элемента в регистр

OCROA. Длительность таких импульсов равна 45 мкс, 26 мкс из которых — фоновое измерение аналогового значения при выбранных параметрах преобразования, т. е. чистое время работы самого алгоритма составляет 19 мкс, что эквивалентно 1,9 % процессорного времени для цикла 1 мс. Это значит, что процедуру управления ИСН можно безболезненно встраивать в рабочие проекты без потери их производительности.

Таким образом, мы получили так нужный в радиолюбительских экспериментах лабораторный блок питания для совместного питания аналоговых и цифровых устройств, а также приобрели универсальный опыт по настройке ПИД-регулятора на примере управления длительностью управляющих импульсов ИСН, который можно использовать в своей практике для других приложений.

1. Терещук Р. М., Терещук К. М., Седов С. А. Полупроводниковые приёмно-усилительные устройства. Справочник радиолюбителя, издание третье, переработанное и дополненное. Компенсационный стабилизатор напряжения с дополнительным кремниевым стабилитроном. — Киев: Наукова думка, 1987, с. 551.

2. Лукьянов Д. Простой двуполярный стабилизатор. — Радио, 1984, № 9, с. 53, 54.

3. Добкин В. М., Дулеев Е. М., Фельдман Е. П. Автоматическое регулирование тепловых процессов на электростанциях. — М.: Госэнергоиздат, 1959.

От редакции. Упомянутые в статье программы находятся по адресу http://ftp.radio.ru/pub/2024/08/PID_reg.zip на нашем ftp-сервере.

Настольный вольтметр 4½ разряда

С. БИРЮКОВ, г. Москва

У автора в запасах нашлась микросхема ICL7135 — АЦП на 4½ разряда с выходом на динамическую индикацию. Вольтметр с такой разрядностью может быть весьма полезен. Он позволяет, например, более точно контролировать работу зарядных устройств, что особенно важно для Li-Ion аккумуляторов, следить за медленно изменяющимися параметрами, поэтому автор решил изготовить настольный вольтметр, описание которого предлагается в этой статье.

Принцип работы микросхемы ICL7135 (отечественный аналог — КР572ПВ6) такой же, как и у хорошо известных микросхем КР572ПВ2 и КР572ПВ5 [1, 2], он называется методом двойного интегрирования. Если очень кратко — вначале конденсатор в интегрирующей цепи фиксированное время заряжается током, пропорциональным измеряемому напряжению, затем разряжается фиксированным током, и время его разрядки измеряет счётчик. Это время соответствует измеряемому напряжению.

Отличия АЦП ICL7135 от упомянутых — на порядок большая точность измерения и выходы для динамической индикации, но в нём отсутствуют встроенные источники образцового напряжения (ИОН) и тактовый генератор.

Схема предлагаемого вольтметра приведена на **рис. 1**. Измеряемое напряжение через делитель R1R2 подаётся на входы +IN и -IN микросхемы DD1.

Максимальное входное напряжение 19,999 В приводится к 1,98 В, что соответствует рекомендуемым 2 В, источник образцового напряжения должен быть настроен на 0,99 В. Для такого варианта делителя точность его сопротивлений не важна, поскольку есть калибровка вольтметра резистором R10, необходима их стабильность, можно, например, использовать резистор R1 с сопротивлением 9,1 МОм, R2 — 1 МОм. Можно также установить R1 — 10 МОм, R2 — 1 МОм, при этом источник образцового напряжения должен быть настроен на 0,909 В.

Источник образцового напряжения собран на микросхемах DA1, DA3 и резисторах R8—R11, R15. Микросхема DA1 — TL432CTA фирмы НТС в корпусе TO-92, это так называемый "регулируемый стабилитрон". При соединении выводов 1 и 3 эта микросхема обеспечивает стабильное напряжение 1,24 В. Следует иметь в виду, что мик-

росхемы TL432 некоторых производителей имеют напряжение стабилизации 2,5 В, особенности микросхемы TL432 различных производителей приведены в статье [3].

Микросхема DA3 LM334Z в корпусе TO-92 — генератор тока, стабилизируемый ею ток пропорционален абсолютной температуре корпуса. При 20 °C ток определяется по формуле $I (\text{мА}) = 66,6 \text{ мВ}/R (\text{Ом})$ и при сопротивлении резистора R15, равном указанному на схеме, составляет около 1,5 мА. При изменении температуры на $\pm 10^\circ\text{C}$ изменение тока равно около $\pm 3,4\%$, что никак не скажется на стабилизируемом микросхемой DA1 напряжении, но наличие стабилизатора тока сделает образцовое напряжение неизменным при разрядке аккумулятора G1.

Внешний тактовый генератор частотой 100 кГц собран на компараторе DA3.1 микросхемы LM393N (отечественные аналоги — K1401CA3 и KP1040CA1).

Параметры элементов интегрирующей цепи R13C2C4 микросхемы DD1 соответствуют рекомендациям изготовителя. Для корректной работы микросхемы АЦП при напряжении питания $\pm 3,2$ В размах напряжения на выходе интегратора уменьшен за счёт увеличения сопротивления резистора R13 с 100 кОм до 150 кОм. Элементы R4, R12, VD1 — вспомогательные, они ускоряют восстановление после перегрузки и обеспечивают более чёткое переключение компаратора полярности АЦП.

При нажатии на кнопку SB1 можно проконтролировать напряжение питания.

Как уже было отмечено выше, микросхема АЦП ICL7135 обеспечивает динамическую индикацию, её работа проиллюстрирована на **рис. 2**. С двойчных выходов B1, B2, B4, B8 микросхемы поочерёдно выдаются параллельные коды цифр, которые необходимо индицировать, а с выходов, соответствующих позиции индицируемого знака, — импульсы положительной полярности (D1 — младший разряд, D5 — старший).

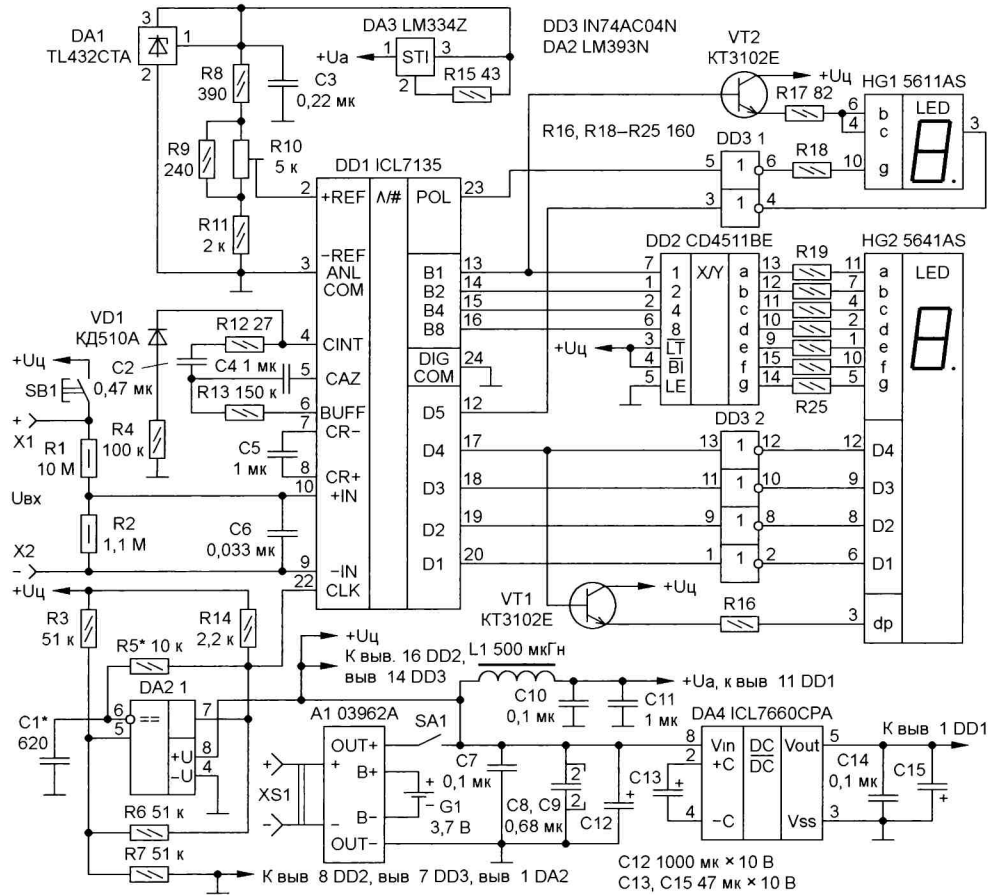


Рис. 1

Для индикации четырёх младших разрядов используется четырёхразрядный индикатор с общими катодами HG2 с высотой цифр $0,56'' = 14,2$ мм. Для передачи на катоды знаков импульсы с выходов D1—D4 инвертируются элементами микросхемы DD3 IN74AC04N (это экспортная маркировка белорусской микросхемы KP1554ЛН1). Нагрузочная способность этой микросхемы достаточно для обеспечения яркой индикации знаков в динамическом режиме.

Параллельные коды цифр преобразуются в коды семизначного индикатора с помощью микросхемы DD2 CD4511BE (отечественный аналог по цоколёвке в планарном корпусе — 1564ИД23), предназначеннной для подачи сигналов на индикаторы с общим катодом и имеющей требуемую нагрузочную способность.

Для старшего разряда и знака используется одиночный индикатор HG1 того же серий. Для индикации единицы в старшем разряде используется сигнал с выхода B1, если на нём 0, сегменты b и c погашены, если на нём 1 — b и c включены, индицируется 1. Выход B1 умножён эмиттерным повторителем на транзисторе VT2.

Выход знака POL микросхемы ICL7135 потенциальный, на нём высокий уровень для индикации плюса, низкий — для минуса. В предлагаемой конструкции подсвечивается только знак минус, и тоже в динамическом режиме, одновременно с индикацией в старшем

разряде. Для индикации четырёх младших разрядов используется четырёхразрядный индикатор с общими катодами HG2 с высотой цифр $0,56'' = 14,2$ мм. Для передачи на катоды знаков импульсы с выходов D1—D4 инвертируются элементами микросхемы DD3 IN74AC04N (это экспортная маркировка белорусской микросхемы KP1554ЛН1). Нагрузочная способность этой микросхемы достаточно для обеспечения яркой индикации знаков в динамическом режиме.

Минусовое напряжение питания микросхемы DD1 с током около 1 мА обеспечивает ставший уже стандартным "преобразователь полярности" ICL7660CPA [5, 6] (отечественный аналог — KP1168ЕР1).

В устройстве использованы в основном резисторы МТ, МЛТ и их импортные аналоги. В делителях напряжения необходимо установить стабильные резисторы (C2-29В — оптимально, ОМЛТ с допуском 0,5 %, C2-13, C2-14). Для R1, R2 установка стабильных резисторов обязательна, для R8, R11 — желательна, стабильность резистора R9 не требуется. Подстроечный резистор R10 — многооборотный импортный, приобретённый в АлиЭкспрессе в составе комплекта с микросхемой LM3914N-1 и некоторыми другими деталями для сборки индикатора заряженности Li-Ion аккумулятора или батареи. Конден-

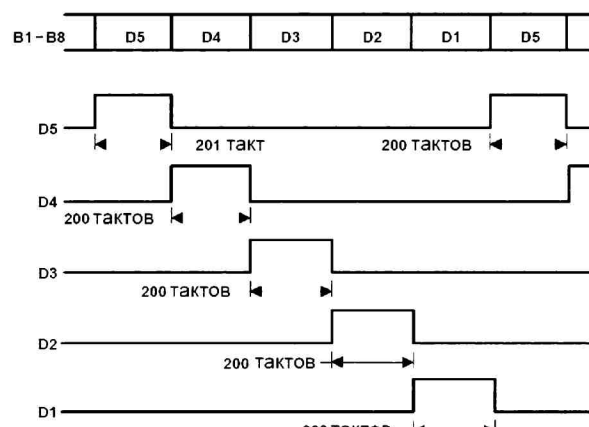


Рис. 2

разряде. Правая часть элемента g индикатора десятков вольт прикрыта самоклеющейся чёрной бумагой с вырезом, формирующим правую часть знака "минус".

Для подсветки десятичной точки в разряде D4 (также в динамическом режиме) используется умножительный сигнал с одноимённого выхода.

Питание вольтметра осуществляется от одного Li-Ion аккумулятора, типоразмера 18650 ёмкостью 3 А·ч, потребляемый ток при напряжении питания 4,2 В равен 40...50 мА, он меняется при изменении числа включённых элементов индикаторов и уменьшается по

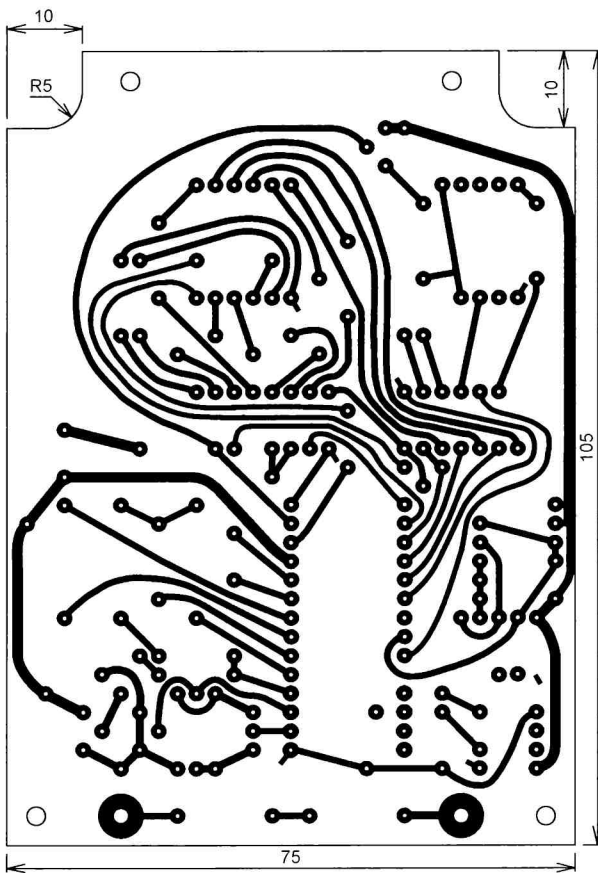
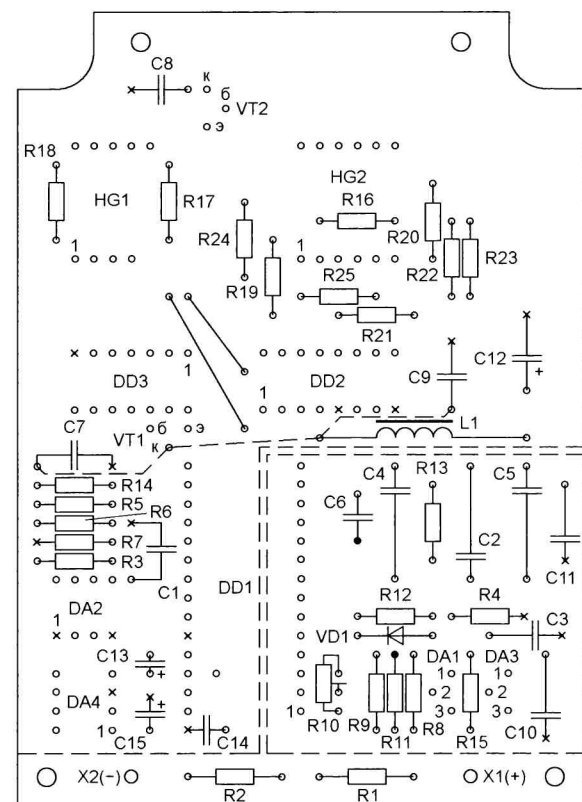


Рис. 3

саторы — КМ5 (C1), К73-17 на номинальное напряжение 63 В (C2, C4, C5) и С6 на 400 В, импортные аналоги К50-16 (C12, C13, C15), КМ6 (C3, C7—С11, C14), эти конденсаторы можно установить ёмкостью от 0,33 до 1 мкФ. Транзисторы VT1, VT2 — практически любые маломощные структуры п-р-п с коэффициентом передачи тока базы не менее 50, дроссель L1 — ДМ0.1 с индуктивностью 500 мГн.

Почти все элементы вольтметра установлены на печатной плате размерами 75×105 мм из фольгированного с двух сторон стеклотекстолита толщиной 1,5 мм, её чёртёж показан на рис. 3. На одной стороне платы разведены проводники, на другой почти полностью сохранён слой металлизации, он является "общим проводом". Проводники печатной платы дополнены двумя перемычками на стороне деталей (сплошные линии) и тремя на стороне проводников, показанными штриховыми линиями. Общий провод разделён на две зоны — аналоговую и цифровую, они соединены перемычкой под корпусом DD1 около её выводов 5 и 24. Линия разделя показана двойными штриховыми линиями. Кроме того, фольга на стороне установки деталей снята вдоль нижнего края для формирования контактных площадок для подпайки входных гнёзд (см. далее). Отверстия со стороны установки деталей раззенкованы.

На виде расположения деталей знаками "x" обозначены места пайки выводов радиоэлементов к фольге общего



проводка, в этом случае отверстия под выводы не сверлят, залитыми чёрным цветом кружками — места пайки к фольге общего провода и контактной площадке на стороне проводников, в этом случае отверстия не зенкуют.

Плюсовые цепи питания также разделены на аналоговую +U_a и цифровую +U_c части. Плюсовой выход зарядной платы A1 через выключатель SA1 подключён проводом к левому по виду расположения деталей выводу дросселя L1, от которого расходятся проводники к цифровым потребителям по цепи +U_c — микросхемам DD2, DD3, DA2 и преобразователю полярности DA4. От правого вывода дросселя по цепи +U_a подаётся питание на аналоговые потребители — ИОН (DA1 и DA3) и АЦП (DD1). Минусовый выход зарядной платы A1 подключен к контактной площадке, расположенной под микросхемой DD1 рядом с её выводом 26, в которую вклёпана трубчатая заклёпка и пропаяна с двух сторон.

С резистора R2 входного делителя часть измеряемого напряжения подаётся на контакты 9 и 10 микросхемы DD1 витой парой проводов МГТФ-0,07.

Индикаторы HG1 и HG2 установлены в отрезки гнёздных линеек, впаянных в печатную плату, это даёт возможность разместить под индикаторами часть токоограничивающих резисторов R16—R25. Микросхема DD1 также установлена в панель, собранную из двух разрезанных вдоль панелей для 14-выводных микросхем. Это позволяет не устанавливать дорогостоящую микросхему до проверки других узлов устройства.

Монтаж платы следует начать с тех элементов, выводы которых подпаиваются к металлизации общего провода, это облегчит доступ к местам пайки.

Печатная плата прибора разработана для использования на месте DA3 микросхемы LM334Z в корпусе TO-92, однако приобретённая в АлиЭкспрессе микросхема с такой маркировкой оказалась фальшивкой, это был обычный р-п-р транзистор. Одновременно там же (но у другого продавца) была приобретена микросхема LM334MX в корпусе для поверхностного монтажа SOP-8, она соответствовала маркировке. Микросхема была распаяна на печатную плату размерами 12×12 мм, предназначенную для установки микросхем в таком корпусе, и использована в этой конструкции. Обратите внимание, что цоколёвка микросхемы в корпусе SOP-8 иная, по сравнению с корпусом TO-92, — выводы 1, 2, 3 (TO-92) соответствуют выводы 4, 1, 2 и 3.

Печатная плата установлена в пластмассовый корпус размерами 141,5×81,5×39,5 мм (продавец в АлиЭкспрессе указывает его размеры 140×82×38 мм) и прикреплена винтами к брускам из органического стекла (рис. 4). Бруски приклеены цианакрилатным клеем к бортам задней стенки так, что между платой и задней стенкой обеспечивается зазор 15 мм. В передней стенке корпуса, напротив индикаторов, вклеен прямоугольник из прозрач-

ного красного органического стекла. Малогабаритная кнопка SB1 вклена в боковую стенку корпуса таким же клеем.

Аккумулятор установлен в соответствующий держатель, купленный в АлиЭкспрессе. Следует иметь в виду, что продаваемые в этом магазине держатели (пеналы) бывают, по крайней мере, двух типов — с выводами из проводов и с выводами в виде лепестков. Держатель с выводами из проводов не требует укорочения (как это пришлось делать в [4]), в него можно установить как аккумулятор без защитной платы (длина 65 мм), так и с такой платой (длина 67 мм), но из него очень неудобно его извлекать, лучше доработать его боковые стенки — уменьшить бокорезами их высоту.

Плата зарядного устройства установлена на задней стенке корпуса деталями к этой стенке под основной платой устройства. Для облегчения теплового режима на микросхему ТР4056 наклеен теплоотвод размерами 9×9×5 мм. Напротив светодиодов зарядной платы в стенке просверлено отверстие диаметром 3 мм, в которое изнутри корпуса введена капля прозрачного термоклея, что позволяет отслеживать процесс зарядки аккумулятора.

В качестве входных гнёзд используются контакты под штыри 1,5 мм от разъёма 2РМ, они впаяны в печатную плату. На передней панели вольтметра установлены корпусы гнёзд Г1,6, у которых срезана часть, из которой выведен контакт для пайки, и извлечён сам контакт. Контакты от 2РМ при сборке устройства вводятся в указанные корпусы.

Налаживание вольтметра следует начать без микросхемы DD1 при напряжении питания 3,5...4 В. Подборкой конденсатора C1 и (или) резистора R5 устанавливают частоту тактового генератора (100 ± 2) кГц. Затем подстраивают резистор R10 для получения на его движке напряжения 0,99 В, при необходимости корректируют сопротивление резистора R8 или R11, подключая к ним параллельно дополнительные резисторы.

Проверяют, что на контакт 1 панели для установки микросхемы DD1 приходит минусовое напряжение питания. После проведения указанных операций устанавливают индикаторы и микросхему DD1. Далее все операции следует делать спустя не менее десяти минут после последней пайки.

При подаче питания на индикаторах через несколько секунд должны установиться нулевые значения, время от времени может включаться знак минус. Если подключить точку соединения резисторов R1 и R2 к выводу 2 микросхемы DD1, на индикаторах должно появиться значение в пределах от 9,995 до 10,000; если эту точку подключить к верхнему по схеме выводу резистора R8, — значение, близкое к 12,350. Эти подключения следует проводить без пайки, поскольку любой существенный нагрев

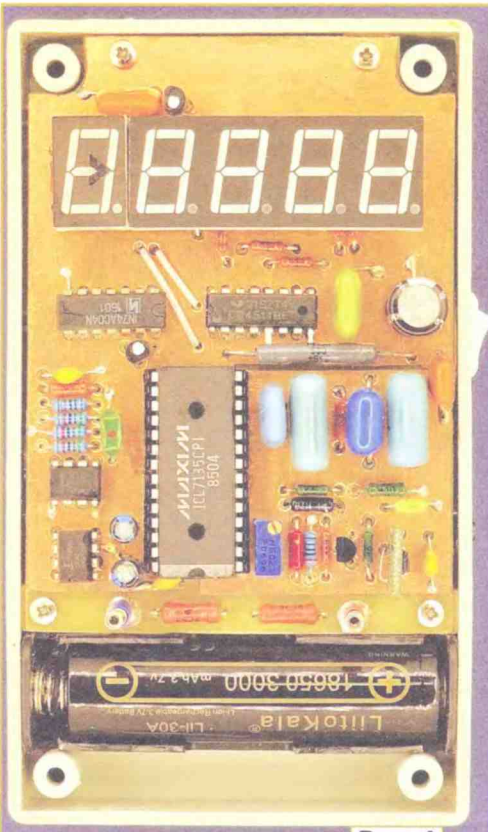


Рис. 4



Рис. 5

радиоэлементов приводит к изменению показаний.

Далее к входу вольтметра следует подключить источник напряжения 14...18 В, не связанный с сетью, например, аккумуляторную батарею от шуруповёрта. Показания через несколько секунд должны застабилизироваться, допускается нестабильность в пределах одной единицы младшего разряда (EMP). Если сменить полярность подключения, должен появиться знак минус, не должно быть изменения показаний более одной EMP.

Оставляют подключённый источник на десять минут и наблюдают за показаниями, дрейф не должен превышать одну-две EMP.

При контроле напряжения внутреннего аккумулятора питания нажатием на кнопку SB1 возможны скачки показаний до нескольких EMP, поскольку оно зависит от числа включённых элементов индикаторов.

Для калибровки вольтметра на его вход следует подать напряжение от 10 до 19 В, контролируемое точным вольтметром, и с помощью подстроечного резистора R10 добиться одинаковых показаний обоих приборов. Можно также использовать откалибранный по точному вольтметру прецизионный источник напряжения [7].

При проведении калибровки следует соблюдать рекомендацию статьи [7] — если калируемый вольтметр питается от сетевого источника (проверка работы в интервале напряжения питания 3,2...4,2 В), источник прецизионного напряжения должен питаться от батареи, поскольку, если источники питания обоих устройств сетевые, уровень помех может существенно превышать разрешающую способность вольтметра и его показания будут нестабильными.

Общий вид вольтметра приведён на рис. 5.

Вместо микросхемы LM334 можно использовать стабилизатор LowDrop (с малым падением) на напряжение 1,6...2,4 В, например серии XC6206. Вариант схемы ИОН с использованием стабилизатора на напряжение 1,8 В приведён на рис. 6. Сопротивление резистора R15 должно быть таким, чтобы ток через него был равен около 1,5 мА.

Если вольтметр должен быть с несколькими пределами, многопредельным, его делитель следует собрать по схеме рис. 7. Большой трудностью в этом случае будет подбор точных резисторов делителя для сохранения высокой точности измерений, для него резисторы R1—R3, R5 должны иметь точность 0,03 %, в крайнем случае 0,05 %, R4 — 0,5 %, например, проволочные резисторы МВСГ, МРГЧ, МРХ, Р2-67, С5-5В, С5-53. Источник образцового напряжения должен быть настроен на 1 В.

Резистор R6 служит для отделения конденсатора C6 (см. рис. 1) от цепи, в которой производится измерение, его сопротивление некритично.

Нижнее плечо делителя с сопротивлением, кратным 1,1(1), можно собрать и с другим соотношением сопротивлений резисторов из ряда E48, как показано на рис. 7 в правой части. Допуск резистора R7 должен быть не хуже 5 %.

Если в наличии есть высокоточные резисторы (допуск 0,03 %) только с сопротивлением, кратным 10, нижнее плечо делителя 11,111 кОм можно составить из резистора 10 кОм 0,03 % и последовательно соединённых с ним

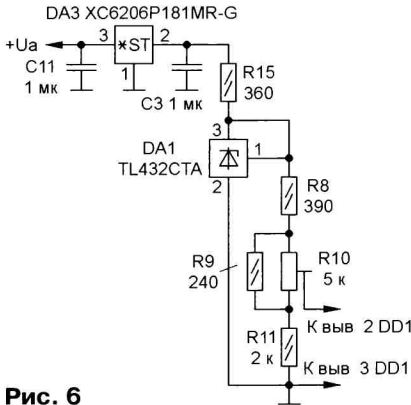


Рис. 6

и параллельно между собой резисторов 1,2 кОм 0,25 % и 15 кОм 2 %.

Для многопредельного вольтметра потребуется ещё одна секция переключателя SA2 для включения десятичной точки, соответствующей выбранному пределу.

Изготовленный вольтметр обладает двумя непринципиальными недостатка-

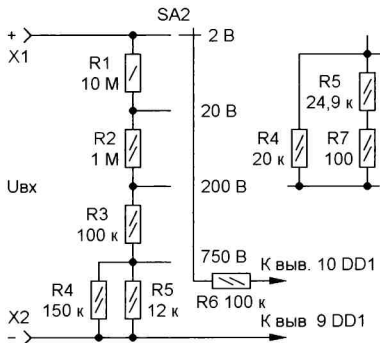


Рис. 7

ми. Во-первых, яркость индикаторов заметно падает по мере разрядки аккумулятора, но остаётся вполне достаточной при снижении напряжения питания до 3,2 В. Во-вторых, очень непривычны (и некрасивы) цифры 6 и 9, большие похожие на мягкий знак и развернутую букву "Р", это особенность применённой микросхемы преобразования дво-

ичного кода в коды семизлементного индикатора CD4511BE. Заменить эту микросхему можно на K561ИД4 или K561ИД5, но у них другая цоколёвка, и для них потребуется умножение выходов эмиттерными повторителями на п-п транзисторах. Хорошо знакомая микросхема K514ИД1 применима при напряжении питания 5 В и также только при умножении выходов.

Упоминавшаяся выше, как аналог CD4511BE, микросхема 1564ИД23 в планарном корпусе не требует умножения выходов и имеет привычную индикацию цифр 6 и 9.

ЛИТЕРАТУРА

- Бирюков С. А.** Портативный цифровой мультиметр: Сб.: В помощь радиолюбителю, вып. 100, с. 71–90. — М.: ДОСААФ, 1988.
- Бирюков С.** Применение АЦП КР572ПВ5. — Радио, 1998, № 8, с. 62–65.
- Бирюков С.** Разрядное устройство — приставка к эквиваленту нагрузки. — Радио, 2024, № 4, с. 25–27.
- Бирюков С.** Вольтметр из миллиомметра. — Радио, 2024, № 5, с. 37–39.
- Бирюков С.** Преобразователи напряжения на переключаемых конденсаторах. — Радио, 2001, № 12, с. 44, 45.
- Глибин С.** Настольный вольтметр. — Радио, 2019, № 2, с. 31–33.
- Бирюков С.** Прецизионный источник напряжения. — Радио, 2024, № 7, с. 28, 29.

Стабилизатор напряжения в корпусе батареи 6F22

А. ПАНЬШИН, г. Москва

В статье приводится описание стабилизатора напряжения 9 В, размеры которого соответствуют размерам батареи типоразмера 6F22 ("Крона", "Корунд"). Необходимость в таком стабилизаторе напряжения возникла при работе с радиомикрофоном SVEN MK-710. Его приёмник питается от батареи 6F22. При ёмкости щелочной батареи 0,6 А·ч и токе потребления приёмника около 40 мА продолжительность работы должна быть около 15 ч, но из-

ния в цепь питания установлен диод Шоттки, падение напряжения на нём равно 0,12...0,15 В;

— в приёмнике установлен интегральный стабилизатор напряжения +5 В, пытающий его узлы. В описании на используемый интегральный стабилизатор указано, что напряжение на входе должно на 2 В превышать выходное напряжение. На практике эта разница меньше, но при разрядке батареи до 6,3...6,4 В у приёмника загорается

На рис. 1 приведена схема стабилизатора напряжения, вставляемого в батарейный отсек приёмника SVEN MK-710 вместо батареи 6F22. На входе стабилизатора установлен разъём XS1 (DC 5,5x2,1 для установки на плату), к которому подключается вилка сетевого блока питания (адаптера). На выходе стабилизатора установлен разъём X1 (от батареи 6F22). Для уменьшения воздействия ВЧ-помех, проникающих из сети в приёмник, на выходе установлен фильтр на конденсаторах C3—C6 и дросселе L1. Дроссель намотан на ферритовом кольце размерами 10x6x4 мм, покрытом синей эмалью. Намотка выполнена сложенным вдвое проводом ПЭЛШО 0,38 до заполнения, это примерно 30 витков. Концы обмоток провода закреплены kleem "Момент", а на выводы для маркировки надеты отрезки цветной изоляционной трубки.

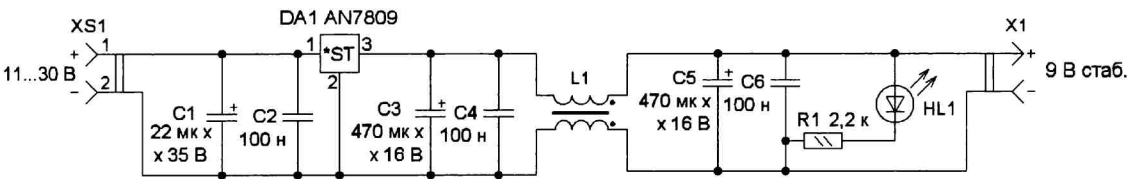


Рис. 1

за особенностей приёмника это время сокращается по следующим причинам:

— в приёмнике радиомикрофона батарея подключена не к соответствующему разъёму, а к двум плоским пружинным контактам. Для исключения неправильной полярности её подключе-

ний индикатор разрядки батареи, и он перестаёт работать;

— приёмник SVEN MK-710 подключен к аудиоколонке и находится в неподвижном положении, поэтому автономный источник питания ему не нужен.

Стабилизатор собран на двух платах из одностороннего фольгированного стеклотекстолита толщиной 1,5 мм. Чертёж первой показан на рис. 2, а второй — на рис. 3. Конденсаторы C1, C3 и C5 — импортные, C1 — высотой 10 мм, C3 и C5 — высотой 12 мм. Остальные

конденсаторы — керамические импортные. При этом конденсаторы С1 и С2 должны быть на номинальное напряжение не менее 35 В. Интегральный стабилизатор напряжения (использован без теплоотвода) может быть любого типа в корпусе TO-220 с подходящей цоколёвкой и выходным напряжением 9 В. Резистор R1 — любой подходящий по размерам, применён светодиод в прямоугольном корпусе, но подойдёт любой и в круглом корпусе диаметром 3 мм. Светодиод нужен для быстрой оценки исправности стабилизатора. При выключенном приёмнике после отключения адаптера от разъёма XS1 при исправных оксидных конденсаторах светодиод должен светить ещё не сколько секунд.

На первой плате установлены конденсатор С2 и разъём XS1, у которого перед пайкой удаляют боковой вывод, а сам разъём приклеивают к плате. На второй плате установлены все остальные детали, к ней припаяны провода от

боковой срез второй платы приклеивается к лицевой стороне первой платы. На второй плате концы перемычек загибают, отрезают излишки и припаивают к

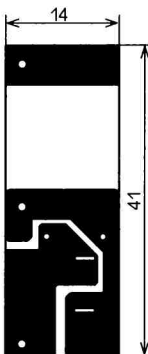


Рис. 2

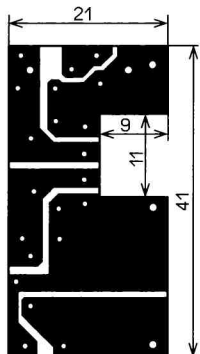


Рис. 3

клейким к каркасу, а его выводы припаиваются к соответствующим контактным площадкам. Вырезанную из текстолита заднюю стенку размерами 21×12,5 мм, в которой сделан вырез для разъёма XS1 8×12 мм, приклеивают между платами и разъёмом XS1 так, чтобы корпус разъёма XS1 выступал наружу на 1 мм. Для укрепления задней стенки к её задней поверхности и ко второй плате дополнительно приклеивают отрезок текстолита размерами 5×12,5 мм (рис. 6).

Затем с помощью наждачной бумаги и надфilia удаляют все выступы, выходящие за края плат, уменьшают толщину припаянных перемычек на 0,5 мм и закругляют края плат. Собранный стабилизатор помещён в отрезок термоусаживаемой трубы диаметром 25 мм, тремя рёбрами жёсткости для которой служат края плат и место их соединения, а четвёртым — корпусы конденсаторов С1, С3, С5 и места склейки отрезков текстолита (рис. 7).



Рис. 4



Рис. 6

разъёма X1. Этот разъём вынимают из старой батареи 6F22, выравнивают заднюю поверхность и припаивают к внутренним сторонам его контактов отрезки изолированных проводов длиной 30 мм. На второй плате сделан вырез для дросселя L1. Отверстия на платах для выводов дросселя, соединительных проводов разъёма X1 и перемычек имеют диаметр 1,2 мм. Конденсатор С1 размещён на корпусе микросхемы, поэтому его выводы, на которые надеты изолирующие трубки, должны быть достаточной длины. Если выводы конденсатора С1 короткие, их надо удлинить с помощью лужёных проводов и надеть на них изолирующие термоусаживаемые трубы. Вид смонтированной второй платы показан на рис. 4.

После установки элементов обе платы соединяют перемычками — отрезками одножильного лужёного провода длиной около 30 мм и диаметром 1 мм. Расположение элементов на платах и их соединение показаны на рис. 5. Перемычки вставляют в отверстия первой платы и припаивают к их контактным площадкам. Затем свободные концы перемычек от первой платы отгибают под прямым углом и на расстоянии 1,5 мм от платы согибают и вставляют в отверстия второй платы. На склеиваемые поверхности плат наносят клей "Суперклей" и прижимают их друг к другу до затвердения клея.

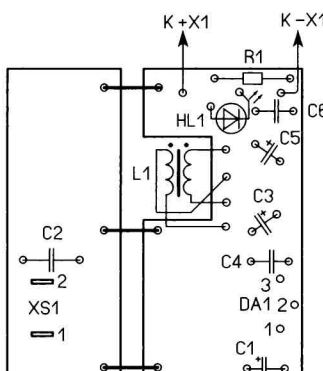


Рис. 5

их контактным площадкам. К разъёму XS1 подключают адаптер, измеряют напряжение на выходе стабилизатора. Если оно равно 9 В, приклеивают дроссель L1 к первой плате kleem "Момент".

Передней стенкой стабилизатора служит разъём от батареи 6F22. Он крепится на каркас из двух отрезков текстолита и передних кромок плат. В одном из отрезков сделан пропил для светодиода HL1. Эти отрезки приклеивают к первой и второй платам, затем склеивают между собой. Разъём при-



Рис. 8

На передней стенке загнутые края термоусаживаемой трубы обрезают бритвой или скальпелем по краям контактов X1. На задней стенке её обрезают по периметру разъёма XS1. Если между корпусом XS1 и термоусаживаемой трубкой образовалась щель, в неё булавкой вносят небольшое количество клея "Суперклей" и прижимают на



Рис. 7

несколько минут. То же самое делают при отслоении трубки на передней и задней стенках. Использовать клей на

основе растворителей (например "Момент", "Моделист") нельзя, он размягчает трубку.

В приёмнике SVEN MK-710 переделки минимальные. В крышке батарейного отсека надо просверлить по месту отверстие диаметром 5,5 мм для разъёма адаптера (рис. 8). После этой переделки приёмник SVEN MK-710 сохраняет возможность работать от батареи 6F22. АдAPTERЫ лучше применять с сетевыми трансформаторами, нестабилизированные — с выходным напряжением 12 В или стабилизированные — с напряжением 12...30 В.

Всего было сделано несколько таких стабилизаторов, все они показали хорошую работу. Этот стабилизатор можно использовать для питания других радиоэлектронных устройств, рассчитанных на питание от батареи типоразмера 6F22.

От редакции. Чертежи печатных плат находятся по адресу <http://ftp.radio.ru/pub/2024/08/6F22.zip> на нашем FTP-сервере.

Лабораторный блок питания

Н. САЛИМОВ, г. Ревда Свердловской обл.

В статье рассматривается лабораторный блок питания (ЛБП), показавший высокую надёжность в работе. Первый вариант этого ЛБП был разработан и изготовлен девять лет назад, затем он был модернизирован. Его схема показана на рис. 1. По сути, это комбинированный ЛБП со стабилизацией выходного тока и напряжения. Выходное напряжение регулируется в

интервале 2,5...16 В, выходной ток — в интервале от 5 мА до 2,2 А. При коротком замыкании выходной цепи устройство остаётся в режиме стабилизации тока, а выходное напряжение уменьшается практически до нуля. Наибольший ток короткого замыкания — 2,2 А.

ЛБП работает следующим образом. Выпрямление переменного напряжения вторичной обмотки (18 В) осуществляется

диодным мостом VD3 с конденсатором фильтра C3. Постоянное напряжение на выходе выпрямителя — 25 В без нагрузки и 18 В при токе нагрузки 1,6 А и выходном напряжении ЛБП 16 В. Выпрямитель с удвоением напряжения выполнен на диодах VD1, VD2 и конденсаторах C1, C2, напряжение на конденсаторе C2 без нагрузки — 50 В. К выходу этого выпрямителя подключён параметрический стабилизатор R1VD4, обеспечивающий питание усилителя постоянного тока (УПТ) на транзисторах VT1, VT3, управляющего регулирующим составным транзистором VT2.

ОУ DA1.2 используется в стабилизаторе тока, напряжения на его входах плюсовые. Образцовое напряжение снимается с движка резистора R10 и поступает на инвертирующий вход ОУ

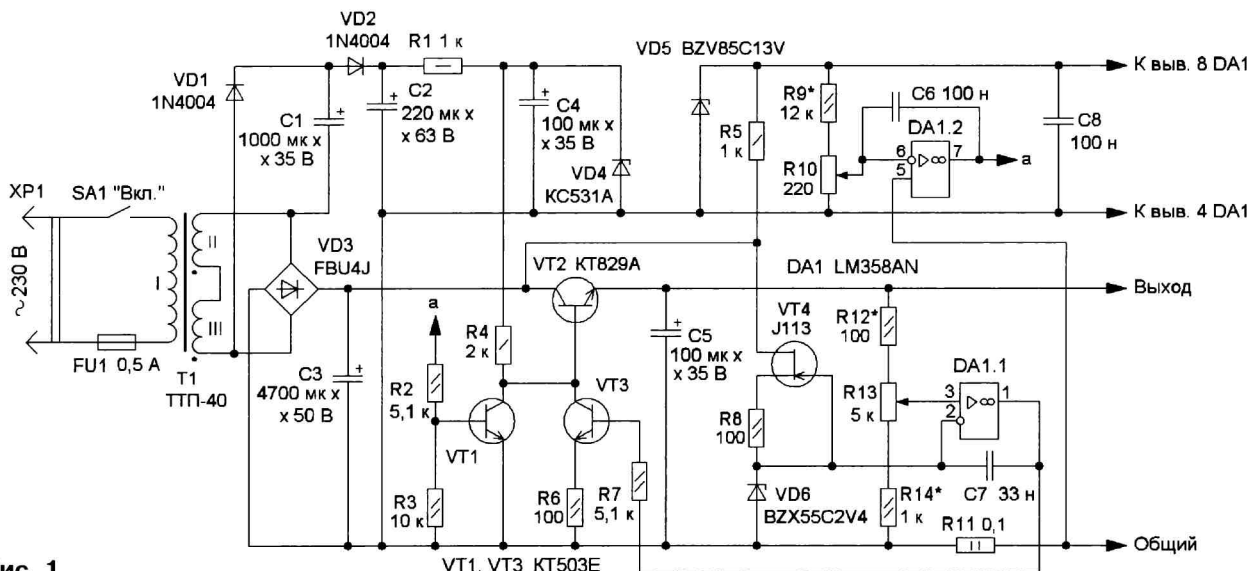


Рис. 1

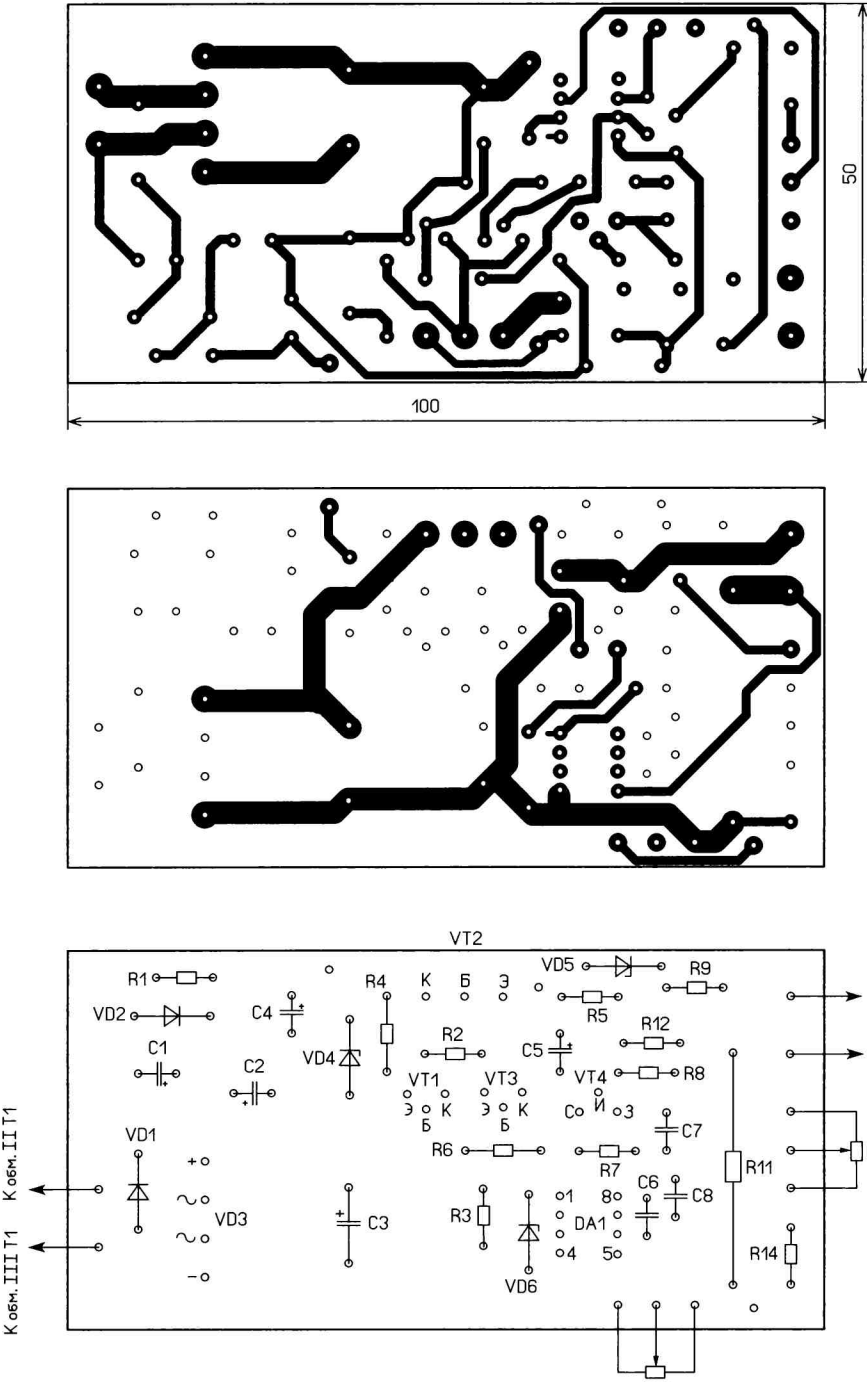


Рис. 2

DA1.2. Контролируемое напряжение, пропорциональное выходному току, снимается с датчика тока — резистора R11 и поступает на неинвертирующий вход этого ОУ. Переменным резистором R10 устанавливают максимальный ток нагрузки.

ОУ DA1.1 используется в стабилизаторе напряжения. Источник образцового напряжения выполнен на транзисторе VT4 и стабилитроне VD6. Контролируемое напряжение, пропорциональное выходному, снимается с резистивного делителя R12—R14. Регулируется выходное напряжение переменным резистором R13. Конденса-

торы С6 и С7 устранили самовозбуждение ОУ DA1.1 и DA1.2 на высокой частоте.

Плата устройства изготовлена из двухстороннего стеклотекстолита, чертёж и расположение элементов показаны на рис. 2. Регулирующий транзистор VT2 смонтирован на теплоотводе. При работе ЛБП среднее значение тепловой мощности, выделяемой на регулирующем транзисторе, — около 7 Вт. В случае короткого замыкания выделяемая тепловая мощность значительно возрастает, к примеру, при напряжении $U_{\text{кз}} = 17$ В и токе $I_{\text{кз}} = 2,2$ А она будет около 37 Вт. Поэтому для исключения

перегрева транзистора теплоотвод следует выбирать исходя из наибольшей тепловой мощности.

Применены постоянные резисторы R1, R4 — CF-50, МЛТ, резистор R11 — С5-16МВ, остальные — CF-25, С1-4. Переменный резистор R10 — СП4-1, резистор R13 — 16К1-Б5К. Оксидные конденсаторы — К50-35 или аналогичные импортные, конденсаторы С6—С8 — К10-17. Замена стабилитрона КС531А — стабилитрон BZV85C30, замена составного транзистора KT829A — транзистор BD677.

Пульсации на выходе ЛБП (канал 1) и на выходе выпрямителя (канал 2) пока-

заны на **рис. 3**. Входы осциллографа закрыты, выходное напряжение — 16 В, ток — 1,6 А. На **рис. 4** показаны осциллограммы при открытых входах осциллографа. Собранная плата ЛБП показана на **рис. 5**.

Налаживание ЛБП проводят в следующей последовательности. Начинают с расчёта сопротивлений резисторов R9 и R10. Отправная точка — падение напряжения на датчике тока (R11) при максимальном токе нагрузки. Если в ЛБП планируется установить встраиваемый модуль амперметра/вольтметра, резистор R11 исключают из схемы и его функцию будет выполнять токовый шунт этого модуля. Максимальный выходной ток зависит от максимального тока вторичной обмотки трансформатора T1 (диодный мост VD3 и транзистор VT2 выбраны с запасом по току), в нашем случае — 2 А. Добавляем 10 % и получаем ток 2,2 А. При сопротивлении резистора R11 = 0,1 Ом напряжение на нём будет 0,22 В. Следовательно, максимальное напряжение на инвертирующем входе ОУ DA1.2 должно быть равно 0,22 В (в верхнем по схеме положении движка резистора R10). Ток делителя напряжения R9R10 определим по формуле $I = U_d/R_{10}$, где U_d — максимальное напряжение на датчике тока (резистор R11). Сопротивление резистора $R_9 = U_{vd5}/I - R_{10}$, где U_{vd5} — напряжение стабилизации стабилитрона VD5.

В делителе напряжения R12—R14 сопротивления резисторов R12 и R14 подбираются методом последовательного приближения из-за их взаимного влияния. Вначале подборкой сопротивления резистора R12 устанавливают минимальное выходное напряжение, равное напряжению на стабилитроне VD6. Затем подборкой резистора R14 устанавливают максимальное выходное напряжение. Если минимальное напряжение изменилось, подборку повторяют. В заключение надо правильно подключить переменные резисторы к плате. Для этого движок переменного резистора поворачивают до упора по часовой стрелке и вывод, который будет соединён со средним выводом, подключают у резистора R10 с резистором R9, а у резистора R13 — с резистором R12.

В заключение о применении устройства для зарядки свинцовых кислотных аккумуляторных батарей (далее АКБ) с напряжением 6...12 В на примере батареи DT1212. Номинальное напряжение этой АКБ — 12 В, ёмкость — 12 А·ч при разрядке током 0,6 А до напряжения 1,75 В на элемент. Сначала надо установить конечное напряжение батареи (14,5...14,9 В). Устанавливают минимальный ток зарядки и подключают батарею. Затем устанавливают номинальный ток зарядки $I_{зар} = 0,1 \cdot C$, где C — номинальная ёмкость батареи. По окончании зарядки зарядный ток уменьшится до 100...150 мА — аккумулятор заряжен.

От редакции. Чертёж печатной платы находится по адресу <http://ftp.radio.ru/pub/2024/08/lbp.zip> на нашем FTP-сервере.

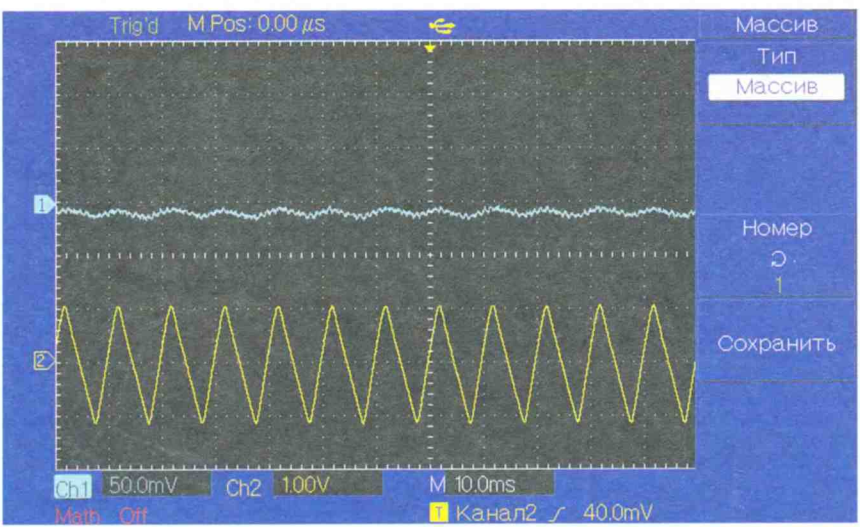


Рис. 3

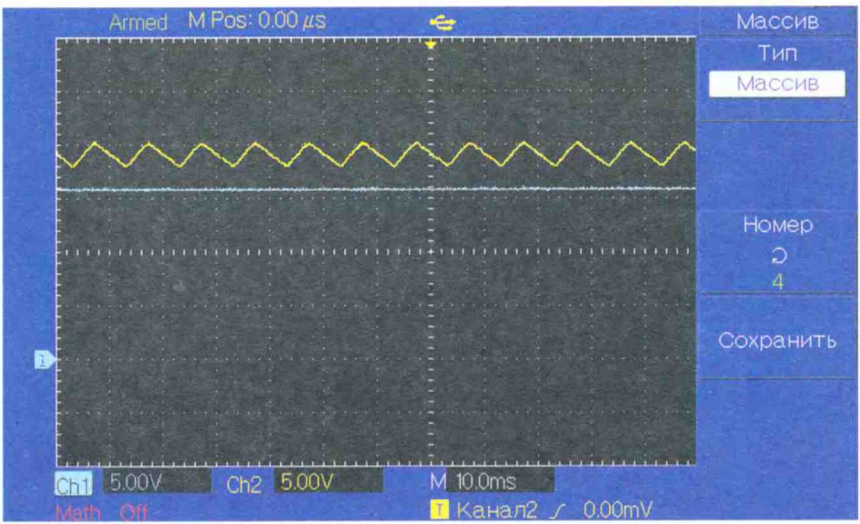


Рис. 4

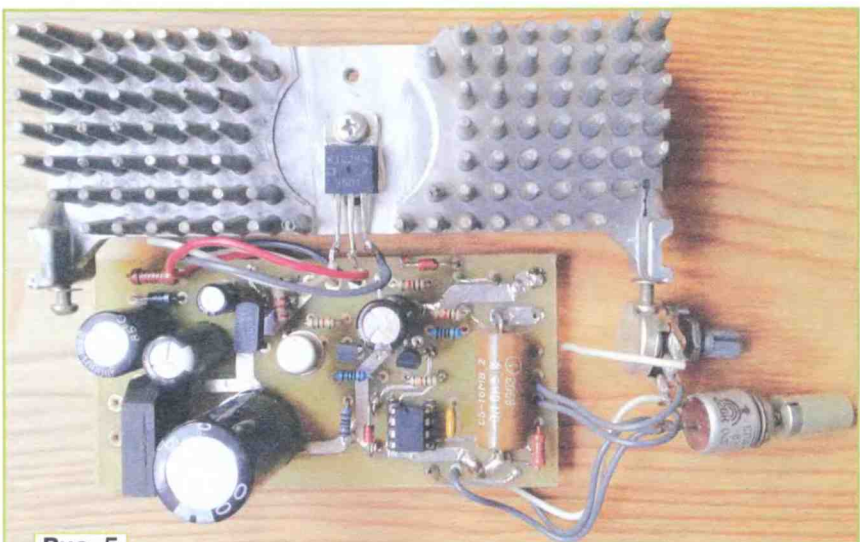


Рис. 5

Расширение возможностей простого USB-тестера

И. НЕЧАЕВ, г. Москва

Сегодня радиолюбители в своей практике используют так называемые USB-тестеры, номенклатура и функциональные возможности которых существенно различаются. С помощью самых продвинутых можно протестировать не только исправность USB-портов персональных компьютеров, ноутбуков и т. д., но и некоторые параметры заряжаемых встроенных аккумуляторов.

В статье рассмотрена возможность применения одного из самых бюджетных USB-тестеров (рис. 1) без маркировки производителя. Он предназначен в первую очередь для измерения ём-

кости заряжаемых от ЗУ аккумуляторов, а также параметров самих ЗУ. Этот USB-тестер (далее — тестер) подключают к выходному гнезду ЗУ, а к его выходу подключают заряжаемое устройство. Тестер снабжён ЖКИ, на который выводится информация о выходном напряжении ЗУ, потребляемом от него токе, времени зарядки и электрической ёмкости, полученной аккумулятором от ЗУ. Достоинства этого тесте-

ра — подсветка ЖКИ и наличие режима памяти, при котором результаты измерений сохраняются при отключении напряжения. Для сброса этих данных (обнуления показаний) служит кнопка Reset. Но возможности этого USB-тестера можно существенно расширить, если дополнить его приставками, описание которых приведено далее. Поскольку этот тестер позволяет измерять электрическую ёмкость аккумулятора при его зарядке от ЗУ, было бы хорошо, если бы он смог измерить её и при разрядке. Кроме того, желательно, чтобы с

напряжения 3,4...12 В, что объясняется наличием на плате тестера стабилизатора напряжения 3,3 В. Следует отметить, что на некоторых сайтах для схожих по конструкции тестеров указано максимальное входное напряжение 18 В.

Сравнение результатов измерения напряжения тестером и мультиметром APPA61 показало, что в интервале 2,9...12 В разница в показаниях не превышала 20...30 мВ, что можно признать неплохим результатом и позволит использовать тестер для измерения ёмкости Li-Ion аккумуляторов при их

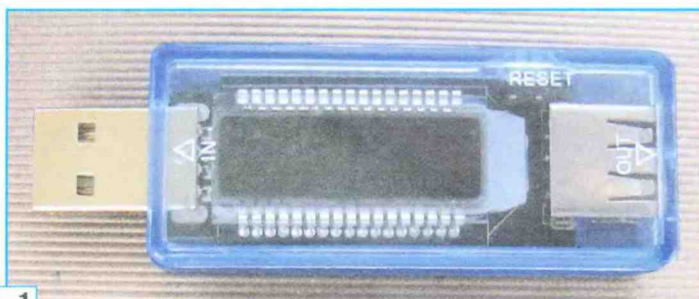
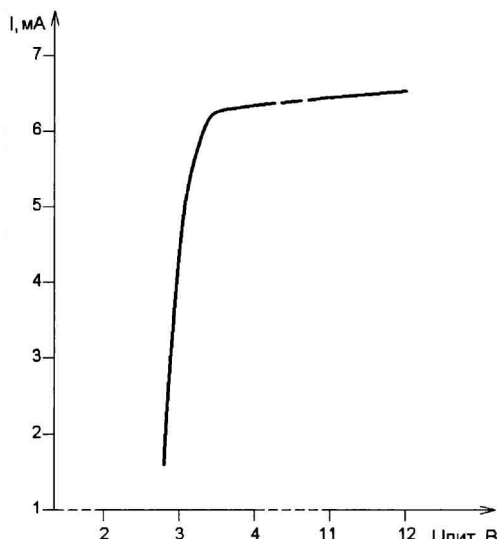


Рис. 1

кости заряжаемых от ЗУ аккумуляторов, а также параметров самих ЗУ. Этот USB-тестер (далее — тестер) подключают к выходному гнезду ЗУ, а к его выходу подключают заряжаемое устройство. Тестер снабжён ЖКИ, на который выводится информация о выходном напряжении ЗУ, потребляемом от него токе, времени зарядки и электрической ёмкости, полученной аккумулятором от ЗУ. Достоинства этого тесте-

ра помошью можно было проверять и другие источники питания. Но сначала надо оценить некоторые параметры тестера, в том числе и метрологические. Зависимость потребляемого тока от напряжения питания показана на рис. 2. Он не превышает 6,3 мА и незначительно изменяется в интервале питающего



разрядке вплоть до напряжения 3 В. А вот с измерением тока не всё так хорошо. Дело в том, что в качестве датчика тока применён резистор сопротивлением 0,025 Ом, что обусловлено необходимостью минимизировать падение напряжения на нём при протекании тока несколько ампер. Но в этом случае на АЦП микроконтроллера с датчика поступает небольшое напряжение, поэтому погрешность будет большой. При проведении измерений оказалось, что на ток менее 30 мА тестер вообще не реагирует, т. е. на его индикаторе нулевые показатели. При плавном увеличении тока нагрузки показания амперметра тестера скачком изменяются



Рис. 3

на 30 мА, иногда на 40 мА. Поэтому при измерении тока менее 100 мА погрешность достигает нескольких десятков процентов. По мере увеличения тока

проводников. Применены постоянные резисторы МЛТ, С2-23, кроме R5 — для поверхностного монтажа. Переменный резистор может быть любой,

массовом корпусе, поскольку он приклеен к плате, конденсаторы — керамические К10-17а или аналогичные импортные. ОУ может быть общего

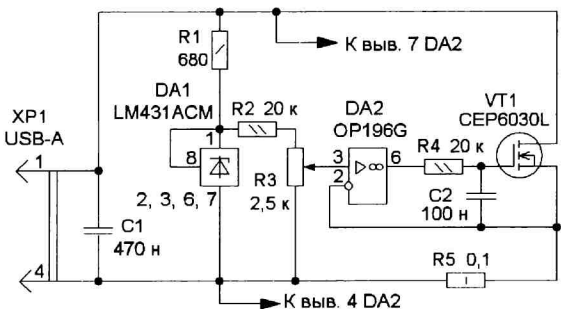


Рис. 4

погрешность измерения уменьшается (рис. 3). По этой причине для уменьшения погрешности измерения ёмкости аккумуляторов при их разрядке желательно применить электронный эквивалент нагрузки со стабильным регулируемым током. Если же в качестве нагрузки применить резистор или другие резистивные нагрузки, которые можно приобрести в Интернете, по мере разряда аккумулятора ток будет меняться, что и станет причиной дополнительной погрешности при измерении ёмкости.

Поэтому первой приставкой будет электронная нагрузка. Она должна быть с регулируемым током до нескольких ампер. Такую нагрузку проще всего сделать на основе стабилизатора тока [1], который должен быть работоспособен при напряжении питания от 3 В и более. Схема такой электронной нагрузки показана на рис. 4. В ней применены ОУ OP196G (DA2) класса Rail-to-Rail [2] и мощный полевой транзистор CEP6030L [3] с малыми напряжением открытия и сопротивлением открытого канала. На микросхеме параллельного стабилизатора напряжения DA1 собран источник образцового напряжения 2,5 В. С движка переменного резистора R3 уменьшенное напряжение поступает на неинвертирующий вход ОУ DA2. На инвертирующий вход ОУ поступает напряжение с датчика тока — резистора R5. Стабилизатор тока работает так, что ОУ уравнивает напряжение на своих входах, поэтому при увеличении напряжения на движке резистора R3 увеличивается и ток через резистор R5. Поскольку почти всё напряжение питания падает на полевом транзисторе, на нём и рассеивается практически вся потребляемая электронной нагрузкой мощность. Поэтому его необходимо разместить на теплоотводе.

Все элементы электронной нагрузки размещены на печатной плате из фольгированного с одной стороны стеклотекстолита толщиной 1,5...2 мм. Чертёж платы и размещение элементов показаны на рис. 5. Все элементы смонтированы на стороне печатных

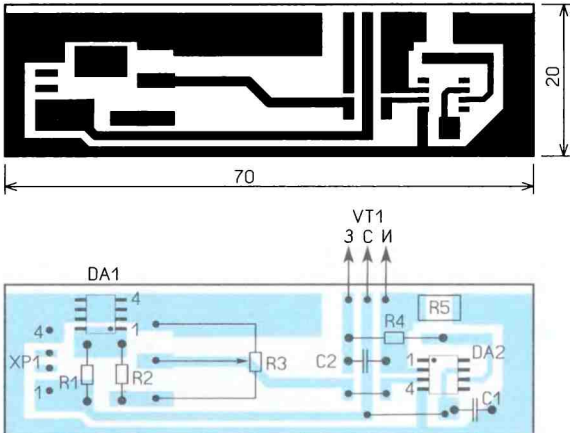


Рис. 5



Рис. 6



Рис. 7

назначения класса Rail-to-Rail с минимальным напряжением питания не более 3 В. Следует обратить внимание на то, что максимальное напряжение применённого ОУ — 15 В.

Вид смонтированной платы показан на **рис. 6**, её размеры выбраны исходя из размеров теплоотвода, который

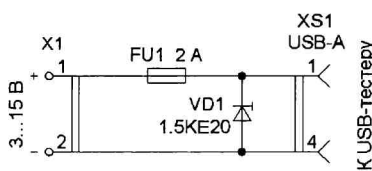


Рис. 8

использован от видеокарты ПК. Полевой транзистор установлен на теплоотводе через теплопроводящую пасту. После монтажа и проверки работоспособности USB-разъём и теплоотвод приклеены к плате эпоксидным клеем или секундным kleem с так называемым сварочным гранулятом. При необходимости налаживание сводится к установке максимального тока, де-

Рис. 10

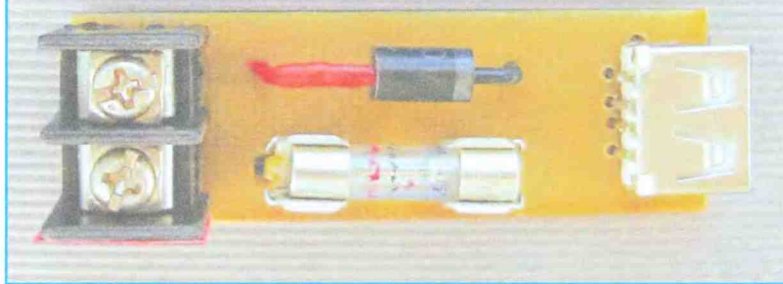


Рис. 11

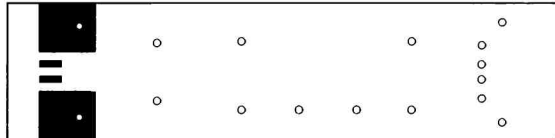
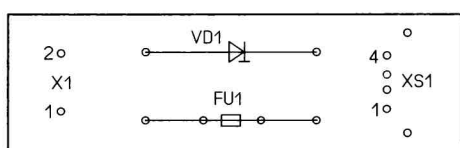
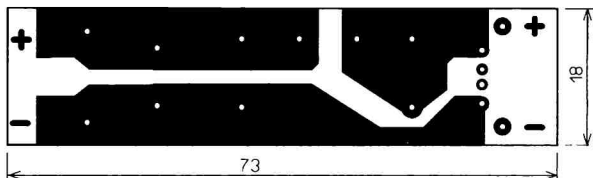
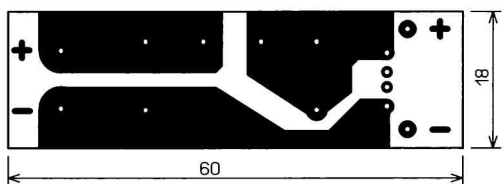


Рис. 9

лают это подборкой резистора R2. Поскольку в этой конструкции применён теплоотвод с относительно небольшой эффективной площадью, максимальный ток ограничен значением около 2 А. При использовании теплоотвода с большей площадью максимальный ток можно увеличить в два или три раза.

Для проверки зарядных устройств эквивалент нагрузки подключают к выходу ЗУ с USB-разъёмом (**рис. 7**) и, изменяя ток нагрузки, наблюдают за изменением выходного напряжения ЗУ.

Как отмечено выше, с помощью этого тестера и эквивалента нагрузки можно измерить и ёмкость аккумулятора или аккумуляторной батареи при разрядке. Но для этого надо к тестеру подключить проверяемый аккумулятор или батарею. Сделать

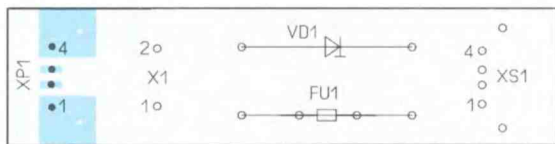


Рис. 13

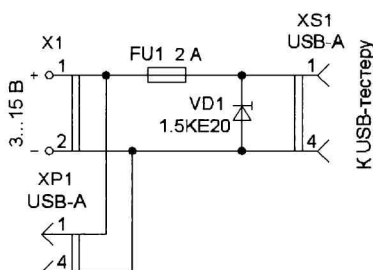


Рис. 12

это можно с помощью простой, уже второй, приставки, схема которой показана на **рис. 8**. Её включают на вход тестера. Она содержит винтовой разъём-клеммник X1, к которому можно подключить провода, имеющиеся у аккумулятора, или провода с соответствующим разъёмом. Защитный диод VD1 вместе с плавкой вставкой FU1 защищают тестер от неправильной полярности или запредельного значения входного напряжения.

Чертёж печатной платы второй приставки показан на **рис. 9**. Она изготовлена из фольгированного с одной сто-

роны стеклотекстолита толщиной 1,5...2 мм. Здесь применён держатель для плавкой вставки, чтобы была возможность её оперативной замены, а также защитный диод с напряжением ограничения 15...17 В, рассчитанный на ток, превышающий ток срабатывания плавкой вставки. Вид смонтированной печатной платы показан на рис. 10.

Для измерения ёмкости аккумуляторной батареи подключают к входу второй приставки, к которой подключают тестер с эквивалентом нагрузки (рис. 11). Установив требуемый ток разрядки, периодически контролируют напряжение аккумулятора (батареи) и отключают устройство, когда он разряжается до минимального напряжения. Если аккумулятор или батарея снабжена драйвером защиты от чрезмерной разрядки, за их напряжением можно не следить.

Такой вариант измерений можно использовать для проверки различных источников питания, в том числе нестабилизированных, например, для снятия зависимости выходного напряжения от тока нагрузки.

Следует отметить, что при проверке ЗУ возможны варианты, когда его выходное напряжение (в случае возникновения неисправности) может быть

существенно больше номинального, что небезопасно для тестера. Поэтому ЗУ желательно проверять с помощью второй приставки, которую надо усовершенствовать, снабдив её USB-разъёмом. Схема такого варианта показана на рис. 12, а чертёж печатной платы для неё — на рис. 13. Эта плата изготовлена из двухстороннего фольгированного стеклотекстолита толщиной 1,5...2 мм. Через отверстия в плате рядом с разъёмом XP1 печатные проводники на обеих сторонах платы

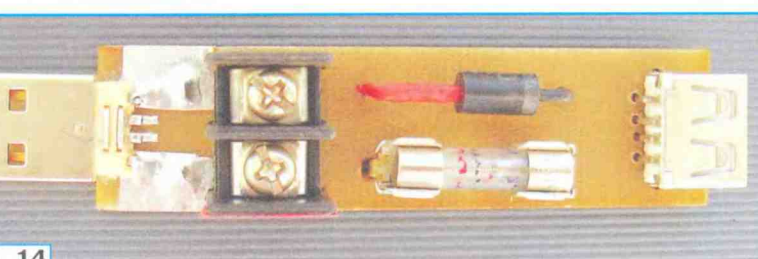


Рис. 14

соединены отрезками лужёного медного провода. Внешний вид модернизированной второй приставки показан на рис. 14.

ЛИТЕРАТУРА

1. Нечаев И. Универсальный эквивалент нагрузки. — Радио, 2002, № 2, с. 40, 41.
2. ОР196/ОР296/ОР496. — URL: <https://clck.ru/3AhqBV> (11.06.24).
3. СЕР6030L/CSEB6030L. — URL: <https://clck.ru/3A6gAJ> (11.06.24).

От редакции. Чертежи печатных плат находятся по адресу <http://ftp.radio.ru/pub/2024/08/tester.zip> на нашем FTP-сервере.

МОДУЛЬНАЯ РЕКЛАМА

Радиодетали в режиме онлайн.

Более 6 000 000 позиций.

www.radiodetali.perm.ru

Тел: 8-800-201-75-54

Вышла в свет новая книга



Портнов Э. Л.,
Колесников О. В.,
Сенявский А. Л.,
Хромой Б. П.

Волоконная оптика и измерения в телекоммуникационных системах. Учебное пособие для вузов / Э. Л. Портнов, О. В. Колесников, А. Л. Сенявский и др. — М.: Горячая линия — Телеком, 2023 г. — 440 с.: ил.

ISBN 978-5-9912-1062-1

Систематизирована и структурирована обширная информация в области применения и перспектив развития волоконно-оптических линий связи (ВОЛС). Актуальные теоретические и практические решения волоконной оптики рассмотрены применительно к постоянно развивающимся технологиям по направляющим средам передачи. Описаны принципы передачи сигналов по оптическому волокну (ОВ), основные передаточные характеристики ОВ и нелинейные эффекты, возникающие в ОВ при передаче сигналов по пассивным оптическим компонентам, типы стандартных и новых оптических волокон и кабелей, их параметры и характеристики. Рассмотрены вопросы метрологического обеспечения оптической связи. Приведены методики и различные способы измерения параметров ОВ и пассивных компонентов на различных этапах строительства и эксплуатации ВОЛС. Разобраны теоретические и практические вопросы, связанные с передачей света по оптическим волокнам (ОВ).

Для студентов вузов, обучающихся по направлениям подготовки: 11.03.02 — "Инфокоммуникационные технологии и системы связи" (бакалавриат); 11.04.02 — "Инфокоммуникационные технологии и системы связи" (магистратура), а также для студентов технических вузов направлений подготовки группы 11.00. 00 — "Электроника, радиотехника и системы связи" и по специальности 05.12.13 — "Системы, сети и устройства телекоммуникаций" (аспирантура). Будет полезно для преподавателей и широкого круга специалистов, связанных с проектированием, разработкой и эксплуатацией ВОЛС.

Адрес издательства в Интернет
WWW.TECHBOOK.RU

Прозвонка на ионисторе

С. РЫЧИХИН, г. Первоуральск Свердловской обл.

Для проверки целостности электрических цепей можно пользоваться цифровыми мультиметрами, но есть всем известный простейший прибор, именуемый прозвонкой, который прекрасно выполняет эту же функцию. Он состоит из элемента питания, миниатюрной лампы накаливания и двух щупов, конструкция которых может быть различной. Схема такой прозвонки представлена на рис. 1. Замыкая щупы напрямую, затем через контролируемую цепь, по яркости свечения лампы можно определить качество контакта и целостность цепи. Такая прозвонка часто применяется при ремонте оборудования с релейно-контакторной

схемой управления. В некоторых случаях с её помощью можно обнаружить такую неисправность, которую мультиметром найти затруднительно. В общем — прибор до сих пор актуален.

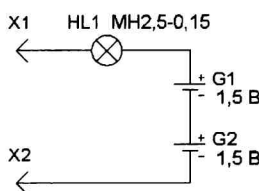


Рис. 1

Казалось бы, что тут ещё можно придумать? Но была сконструирована прозвонка без химического источника энергии, вместо него был применён современный конденсатор сверхбольшой ёмкости — ионистор, также называемый суперконденсатором. Ёмкость применённого конденсатора — 60 ф, номинальное напряжение — 2,7 В. Полной зарядки такого конденсатора хватает на 15 мин непрерывного свечения лампы накаливания МН2,5-0,15 (напряжение — 2,5 В, ток — 0,15 А), чего вполне достаточно для выполнения ремонтных работ в течение дня. Схема прозвонки с ионистором представлена на **рис. 2**. Диоды VD2—VD5 защищают накопительный конденсатор C1 от повышенного напряжения

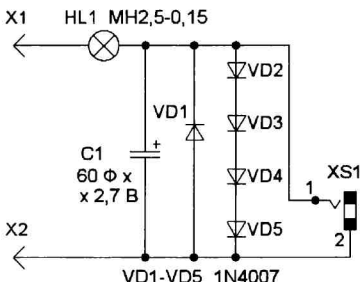


Рис. 2

прямой полярности, а диод VD1 — от напряжения обратной полярности. До появления неприятностей при ошибочном подключении прозвонки к необесточенной цепи успевает перегореть нить накала лампы HL1, которая играет в этом случае роль предохранителя. Гнездо XS1 предназначено для подключения источника питания для зарядки конденсатора C1. В отличие от аналога устройства с аккумулятором, у предлагаемой прозвонки малое время (70...80 с) полной зарядки конденсатора большим током и практически неограниченное число циклов зарядки/разрядки источника питания. Для "традиционного" варианта прозвонки требуются одноразовые гальванические элементы питания, которые после использования нужно правильно утилизировать.

Особенностями использования ионистора являются требования к напряжению, до которого он заряжается, и ограничение тока зарядки и разрядки. При их превышении ионистор выходит из строя.

Для быстрой зарядки ионистора используется специальное зарядное устройство (ЗУ), которое обеспечивает зарядный ток около 2 А и автоматически отключает конденсатор при достижении на нём напряжения 2,7 В. Схема такого ЗУ показана на **рис. 3**. Его основой является популярный таймер KP1006ВИ1 (импортный аналог — 555) с типовой схемой включения. Работает оно следующим образом. После подачи питания на ЗУ к нему подключают предварительно разряженную прозвонку и нажимают на кнопку SB1. Срабатывает реле K1, которое своими контактами K1.1 подключает конденса-

тор прозвонки к выходу ЗУ. При этом конденсатор начинает заряжаться от напряжения 12 В через токоограничивающий резистор R5. Когда напряжение на конденсаторе достигнет 2,7 В, реле отключит конденсатор от цепи зарядки, и зажигается светодиод HL1, свидетельствующий об окончании процесса зарядки.

Подробнее принцип работы устройства разберём на упрощённой схеме, показанной на **рис. 4**. Внутри микросхемы KP1006ВИ1 есть два компаратора DA1, DA2, на их входах установлен резистивный делитель R1—R3, RS-триггер DD1, инвертор DD2 и транзистор VT1. Компараторы сравнивают напряжения на своих инвертирующем и неинвертирующем входах. Если напряжение на неинвертирующем входе больше, чем на инвертирующем, тогда на выходе компаратора установится лог. 1. В противном случае будет лог. 0. Триггер DD1 при подаче лог. 1 на вход S устанавливается в состояние с лог. 1 на своём инверсном выходе. При подаче на вход S лог. 1 на его выходе установится лог. 0. В остальное время триггер сохраняет своё состояние.

После подачи питающего напряжения в точке А напряжение близко к напряжению питания, поступающему через токоограничивающий резистор R_t. Напряжение на неинвертирующем входе компаратора DA1 будет больше, чем на инвертирующем. Поэтому на его выходе будет лог. 1.

Напряжение на инвертирующем входе компаратора DA2 больше, чем на неинвертирующем, на его выходе будет лог. 0. В результате триггер DD1 будет сброшен уровнем лог. 1 на входе R. На выходе триггера при этом будет лог. 1, транзистор VT1 откроется, и светодиод HL1 будет светить. Реле K1 будет обесточено.

При нажатии на кнопку SB1 в точке А напряжение упадёт до нуля. Компараторы DA1 и DA2 от этого поменяют свои выходные состояния на противоположные. На входе S триггера DD1 будет лог. 1, которая и переключит его. Транзистор VT1 закроется, и светодиод погаснет, а реле сработает и своими контактами подключит конденсатор C1 к резистору R_t. В процессе зарядки напряжение на конденсаторе (в точке А) плавно увеличивается, при этом сначала переключится компаратор DA2, что приведёт к появлению лог. 0 на входе S триггера DD1 и не изменит его состояния. Дальнейшее увеличение напряжения приведёт к переключению компаратора DA1, который установит лог. 1 на входе R триггера DD1 и переключит его в исходное состояние. Светодиод HL1 при этом включится, а реле выключится, отключив конденсатор C1 от зарядной цепи. При отсутствии резистора R_t пороги переключения компараторов пропорциональны 2/3 и 1/3 напряжения питания, т. е. 8 В и 4 В, что явно выше требуемого для зарядки конденсатора.

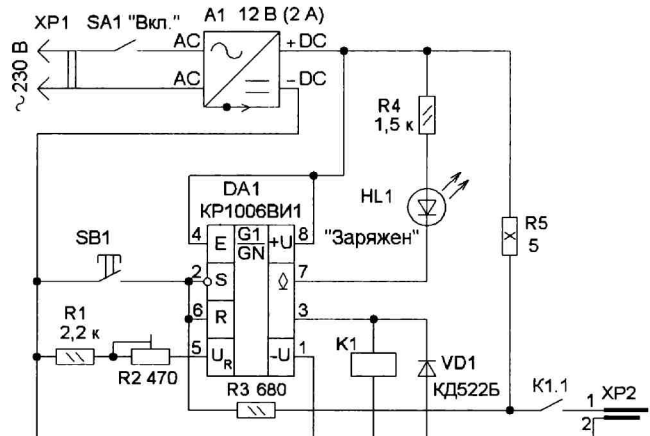


Рис. 3

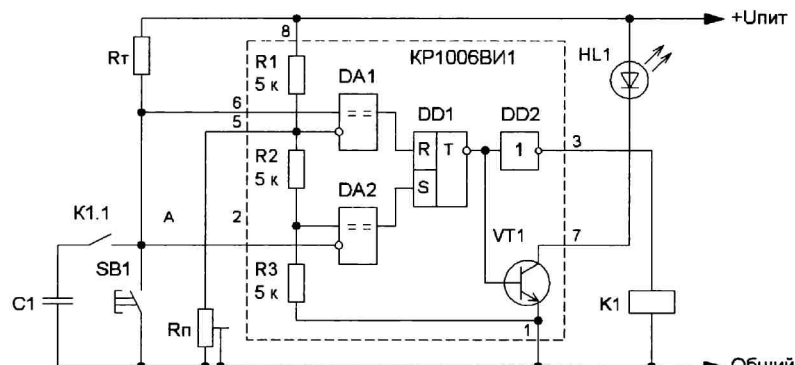


Рис. 4

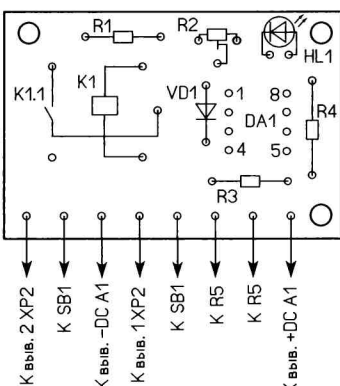
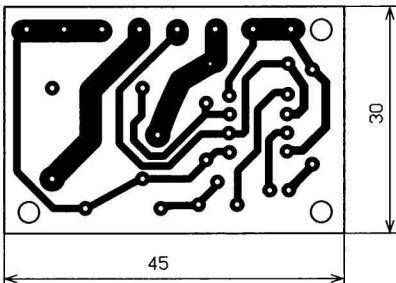


Рис. 5

Резистором R_p устанавливают порог напряжения переключения компаратора DA1 до 2,7 В.

Вернёмся к принципиальной схеме устройства (см. рис. 3). Резистор R1

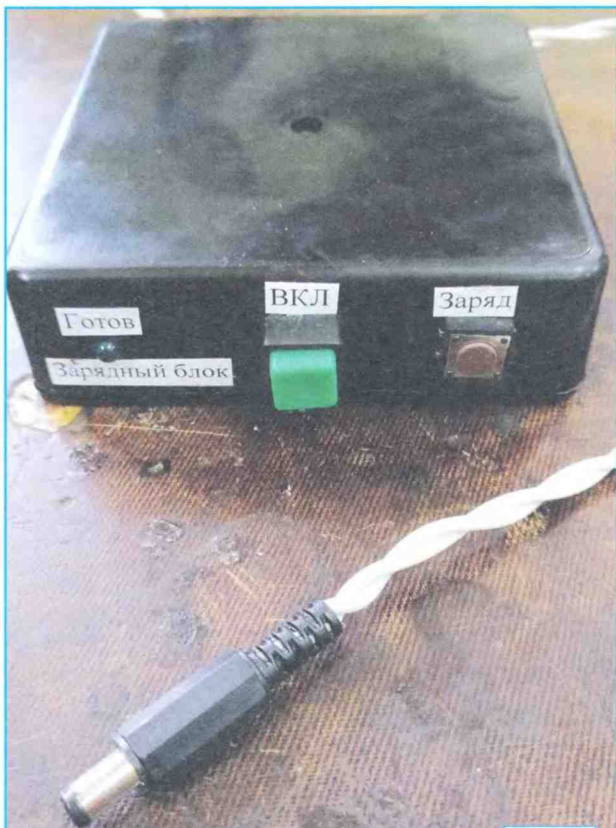


Рис. 7

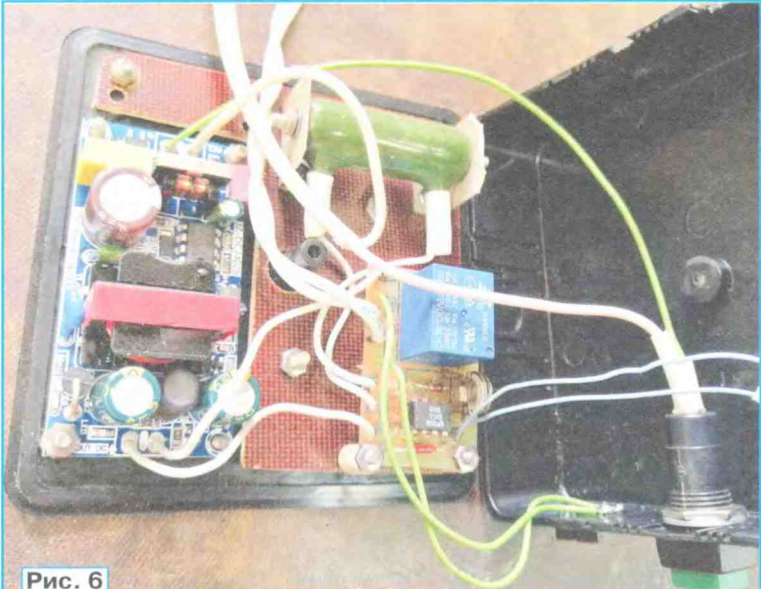


Рис. 6

ограничивает зарядный ток, он не превысит 2,4 А. Резистор R3 нужен для ограничения тока через кнопку SB1 в момент запуска процесса зарядки и при наличии остаточного напряжения на заряжаемом конденсаторе. Диод VD1 нужен для гашения ЭДС самоиндукции на катушке реле K1 при его отключении.

Налаживание ЗУ заключается в установке напряжения на накопительном конденсаторе, при достижении которого зарядка прекращается. Для этого

движок резистора R2 устанавливают в правое по схеме положение и подключают прозвонку. К щупам прозвонки подключают вольтметр и нажимают на кнопку SB1. После отключения зарядки фиксируют

Затем разряжают конденсатор провонки, замкнув её щупы, и повторяют зарядку вновь. Напряжение отключения реле К1 желательно выставить точно 2,7 В, если оно будет больше, это может вывести ионистор из строя. При меньшем напряжении он будет заряжаться не полностью, что скажется на продолжительности непрерывной работы прозвонки. При первой зарядке нужно быть внимательным, чтобы не превысить напряжение конденсатора. Чтобы уменьшить время наложения, можно временно использовать лампу накаливания с большой мощностью.

Большинство элементов ЗУ размещены на печатной плате, чертёж которой показан на **рис. 5**. Она изготовлена из одностороннего фольгированного стеклотекстолита толщиной 1...2 мм. Интегральный таймер KP1006ВИ1 можно заменить импортным аналогом.



Рис. 8

напряжение на конденсаторе. Если оно оказалось менее нормального напряжения 2,7 В, смещающий движок резистора R2 влево по схеме

например таймером NE555. Резистор R5 — ПЭВ-10 или импортный, хотя его мощность и меньше рассеиваемой на нём мощности в процессе зарядки, ввиду ограниченного времени зарядки, это допустимо. Остальные постоянные резисторы — МЛТ, С2-23 или

импортные, подстроечный резистор — СП3-38а. Диод КД522Б можно заменить диодом 1N4148. Разъёмы для подключения провонки к ЗУ могут быть любыми, выдерживающими ток зарядки, а соединительные провода должны быть сечением 1,5...2,5 мм², желательно меньшей длины. Реле — SRD-12VDC-SL-C, но можно применить реле в аналогичном корпусе с сопротивлением обмотки не менее 150 Ом. Ионистор — CXHP2R7606R-TW или его аналог — K58-26-2,7B-50Ф. Кнопка SB1 — KAN1211-0501B 12x12x5 или другая аналогичная. В качестве источника питания применён готовый модуль на основе микросхемы DK124. Он обеспечивает питание стабилизированным напряжением 12 В и током до 2,5 А.

Источник питания можно использовать и на больший ток, что позволит сократить время зарядки ионистора. При этом нужно будет подобрать сопротивление и мощность токоограничивающего резистора R5.

Плата устройства, резистор R5, кнопка и модуль питания размещены в пластмассовом корпусе габаритными размерами 100x100x45 мм (рис. 6). Внешний вид зарядного устройства показан на рис. 7, а провонки — на рис. 8.

От редакции. Чертёж печатной платы находится по адресу <http://ftp.radio.ru/pub/2024/08/zvon.zip> на нашем FTP-сервере.

МОДУЛЬНАЯ РЕКЛАМА

Разработка программ для микроконтроллеров STM32, ATmega и других на заказ:

Сбор данных, передача на сервер, управление, свет, звук, CAN и LIN, генерация сигналов, измерения и т. д.

E-mail: micro51@mail.ru
т. +7-912-619-5167

Суточный таймер "Четвертак"

В. РУБАШКА, г. Лисичанска, ЛНР

"Четвертак, четвертачок — серебряная монета в четверть рубля, 25 коп., полуполтинник [1]."

Мечты часто сбываются. Особенно, если постараться их достичь. А мечта у меня была давняя — сделать суточный таймер для себя. К

сожалению, реальность отодвигает мечты, и порой надолго. Вначале в таймере планировалось применять логические микросхемы, но прошло нема-

ло лет, и мечта воплотилась в реальность уже на микроконтроллере (МК). Пока шло время, предпримчивые люди наполнили рынок всевозможными таймерами. Некоторые из них почти копировали мечту. Правда, её реализация была не современной. Электродвигатель с редуктором вращает пластиковый диск установки про-межутков времени. Нажатые ламели диска замыкают кнопку подачи напряжения на нагрузку. Сердито, но не очень дёшево и надёжно. А главное — не очень точно. Особенно, если в сети периодически пропадает напряжение. Накопившаяся ошибка со временем приведёт к неприятным последствиям. Не вовремя включённая реклама, конечно, не так опасна, как не вовремя выключенный нагреватель или другой мощный прибор. Поэтому нужен таймер с энергонезависимыми часами. Такие таймеры тоже есть, возразите вы, и будете правы. Но суточного тай-

Рис. 1

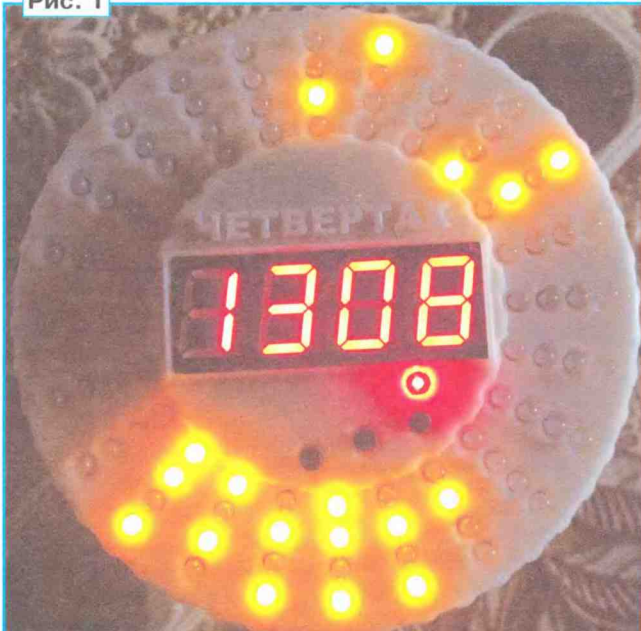


Рис. 2



мера, который настраивается с интервалом в 15 минут и светодиодной индикацией настройки, я нигде не нашёл. Собственно, название таймера и произошло от его дискретности в четверть часа.

В начале каждого нового проекта перед разработчиком встаёт масса вопросов, порой весьма сложных и нередко противоречивых. Выбор элементной базы, схемотехнических решений, разработка программного обеспечения, проектирование печатной платы и дизайн корпуса, макетирование, сборка и налаживание. Над коммерческими разработками трудятся целые коллективы разноплановых специалистов. А радиолюбительские конструкции зачастую придумывает, проектирует и превращает в



Рис. 3

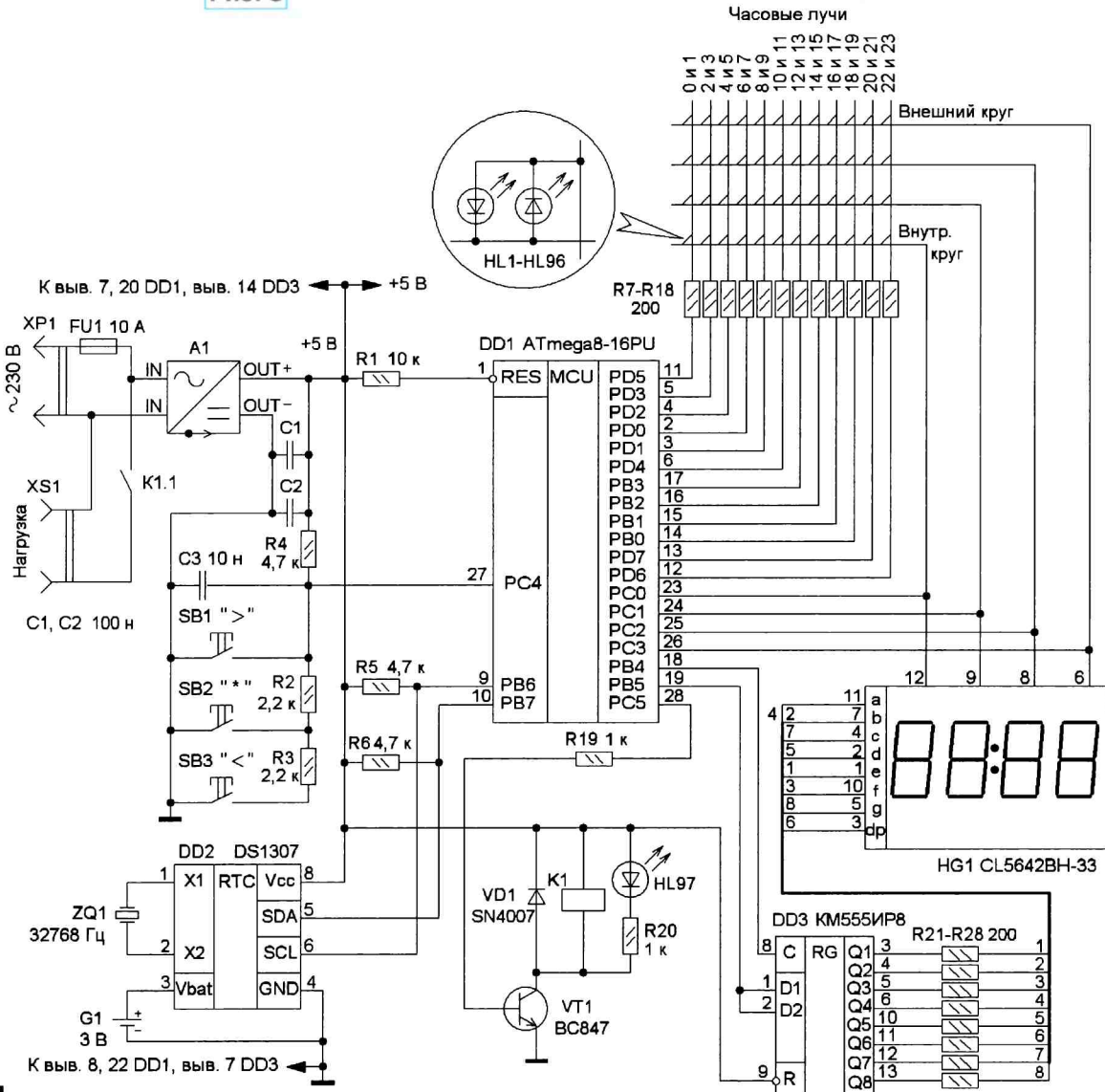


Рис. 4

жизнь один человек. И хотя это довольно сложно, многие люди выбирают именно это направление в качестве хобби. Решение разных противоречивых вопросов вызывает такие чувства и эмоции, ради которых стоит постоянно учиться и повышать свой уровень профессионализма.

Итак, всё начинается с идеи. У меня под рукой всегда находится блокнот с ручкой. Идею или внезапно посетившую мысль упускать нельзя. Несмотря на век современных гаджетов, заменить по скорости фиксирования мыслей блокнот и ручку они пока не могут. Достаточно нескольких минут, чтобы набросать рисунок и добавить пару предложений описания, зарисовать блок-схему или алгоритм. И даже изобразить внешний вид готового изделия.

Конечно, всё можно сделать на телефоне, планшете, ноутбуке, компьютере... Но это кому как удобнее. Позже я перенесу бумажную идею в цифру с помощью обычного фото со страницы блокнота. Для каждой такой идеи создаю свою папку. Со временем в папку попадает разная дополнительная информация — литература по теме, изображения из Интернета, похожие решения, справочные данные. Наступает момент, когда папка из идей переносится в текущие проекты. Иногда идея так и остаётся нереализованной, но я с удовольствием, во время перерыва, просматриваю эти папки, а под настроение, по вечерам, перелистываю пожелавшие страницы многочисленных тетрадей и блокнотов. Когда старые идеи соприкасаются с новыми знаниями и движутся реальной необходимостью, рождаются интересные и полезные вещи. Одной из воплотившихся идей хочу поделиться с вами, уважаемые читатели.

Таймер "Четвертак" (рис. 1—рис. 3) предназначен для управления мощной нагрузкой по заданной пользователем программе. Каждый час разделён на четыре интервала. Итого в сутках есть 96 пятнадцатиминутных четвертей (установок), доступных для выбора и программирования. Этот таймер удобно использовать в наружной рекламе, управлении насосом скважины, подсветке рассады, цветов, грибницы, продолжении светового дня для животных, для имитации присутствия на объекте и во многих других случаях.

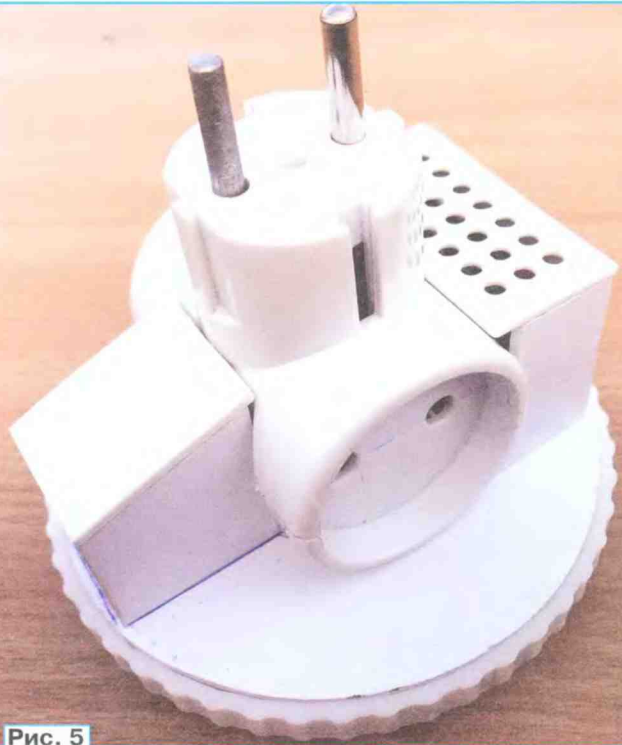


Рис. 5

Как всегда, при разработке радиолюбительских устройств приходится использовать комплектующие, которые есть в наличии. Было принято решение выбрать один из микроконтроллеров

AVR семейства Mega. Его быстродействия и памяти вполне хватит для такой довольно простой задачи. Единственный нюанс — наличие доступных входов/выходов для используемой в таймере периферии. Давайте посчитаем необходимое нам число выводов. Для цифрового индикатора (восемь элементов в каждом из четырёх разрядов) нужно 12 выводов. Для трёх кнопок — три вывода, для управления реле — один вывод, для микросхемы часов реального времени — два вывода. Подключение 96 светодиодов (матрица 24x4) потребует ещё $24 + 4 = 28$ выводов. В итоге потребуются 46 выводов. Если не предпринимать никаких мер, в таймере придётся использовать МК с 64 или 100 выводами. Такие МК значительно дороже широко распространённых и относительно недорогих с 28 или 32 выводами.

Поэтому пришлось оптимизировать. Кнопки можно подключить к входу АЦП, для чего потребуются три резистора и один конденсатор, зато экономится два вывода. Четыре вывода, которые переключают разряды цифрового индикатора при динамической развертке, параллельно будут переключать четыре светодиодных кольца матрицы. В результате — ещё минус четыре вывода. Элементами цифрового индикатора будем управлять с помощью регистра. Для самого распространённого регистра 74HC595 нужно три вывода, поэтому используем KM555ИР8. У него достаточная нагрузочная способность и всего два вывода для управления. Для семи

будет не 48, а 96. Это достигается установкой параллельно светодиоду ещё одного, но включённого встречно. По существу, это одна из разновидностей чарлиплексинга (Charlieplexing) [2]. Чарли Аллен (Charlie Allen) предложил технологию, работая в компании Maxim. С тех пор Maxim выпускает микросхемы, реализующие этот алгоритм. Такую матрицу можно обслуживать только МК, у которого есть высокомпедансное состояние выводов (Z). Оно используется для выключения ненужных светодиодов в матрице. Включаются светодиоды подачей на соответствующие выводы матрицы сигналов высокого и низкого уровней. При таком включении необходимо обратить особое внимание на исправность светодиодов. Обрыв или короткое замыкание будет оказывать влияние на всю матрицу. При этом найти проблемный светодиод бывает непросто. Необходимо изучать схему подключения и анализировать поведение всего дисплея при включении/выключении отдельно взятого светодиода.

Посчитаем заново число необходимых выводов МК. Для цифрового индикатора нужно шесть выводов, для кнопок — один, для управления реле — один, для часов реального времени — два, для светодиодов матрицы — 12. Получается 22 вывода. Такое число есть у МК серий ATmega8, ATmega88, ATmega168, ATmega328. Можно использовать любой из них. В предлагаемой программе будет достаточно изменить тип МК и перекомпилировать её.

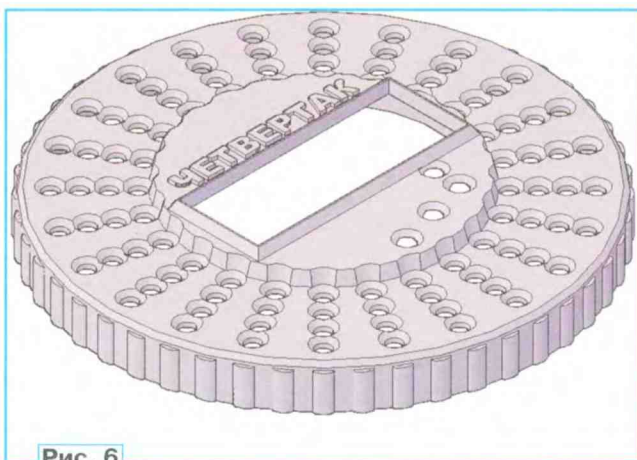


Рис. 6

элементов и двоеточия нужно будет всего два вывода на регистр. Здесь получается экономия в шесть выводов. У нас остаются неподключёнными ещё 24 вывода светодиодной матрицы. Конечно, можно использовать ещё три регистра. Но у нас есть 12 свободных выводов МК, и к ним подключим оставшиеся светодиоды. Подключение будет необычное. Матрица будет иметь размерность 12x4, но светодиодов

в итоге основой для таймера, схема которого показана на рис. 4, стал широко распространённый МК ATmega8-16PU. Он работает от внутреннего RC-генератора, настроенного на частоту 8 МГц. В качестве часов реального времени выбрана микросхема DS1307. Если у вас есть более точная микросхема DS3231, можно смело применять её без корректировки прошивки, но с изменением топологии печатной платы. Четырёхразрядный индикатор HG1 (CL5642BVH-33) с общим анодом отображает текущее время. Микросхему KM555ИР8 можно заменить микросхемой 74HC164. Все светодиоды — в трёхмиллиметровом корпусе, при этом светодиод HL97,

индицирующий включение реле, — красного свечения, а остальные — жёлтого. При приобретении большого числа светодиодов следует рассчитывать на запас 10...20 %. Вполне вероятно, что попадётся бракованный

экземпляр или несколько штук выйдут из строя при монтаже. Все светодиоды боятся перегрева, а сверхъяркие ещё и статического электричества. На практике наиболее капризными оказались светодиоды белого и голубого

свечений. Поэтому выводы светодиодов должны быть хорошо очищены от окислов с помощью школьного ластичка, обильно смочены нейтральным флюсом, и паять их надо не более 2...3 с. Укорачивать выводы нужно только после монтажа, при пайке они будут служить теплоотводом, предохраняя сам кристалл и нежное внутреннее подключение к нему. Применено малогабаритное реле в пластмассовом корпусе неизвестного производителя и типа с обмоткой на напряжение 5 В, с одной группой контактов, рассчитанной на 10 А. Элемент резервного питания часов реального времени — литиевый типоразмера CR2032 с держателем.

В качестве основы для корпуса таймера используется сетевой тройник (рис. 5). Он немного доработан — был распаян один из металлических соединителей, идущих к гнездам для подключения нагрузки. К сторонам разреза припаяны изолированные провода достаточного сечения (минимум 1,5 мм²), идущие к контактам реле, и всё залито эпоксидным клеем. С боков тройника приклеены отсеки из ПВХ. В одном из них расположены реле и контейнер с гальваническим элементом, а в другом — плавкая вставка и модуль питания A1, в качестве которого использована плата без корпуса от зарядного устройства (5 В) мобильного телефона. Сверху тройника термоклеем приклейен пластиковый круг, на который ложится плата таймера. Декоративная накладка — лицевая панель (рис. 6), напечатана на 3D-принтере. Она плотно входит в пластиковый круг и за счёт этого держится надёжно.

Печатная плата — односторонняя из фольгированного стеклотекстолита толщиной 1,5...2 мм с перемычками. Её чертёж и размещение на ней элементов показаны на рис. 7 и рис. 8. Со стороны печатных проводников установлены резисторы и конденсаторы для поверхностного монтажа типоразмеров 0805 и диод SN4007. Выводной резистор (МЛТ, С2-23) установлен с другой стороны. Кнопки — тактовые, без фиксации, длина пластмассового толкателя — 3 мм. Смонтированная плата таймера показана на рис. 9.

Настройка часов и установка таймера. Таймер имеет четыре режима:

1. Таймер в работе, при этом мигают двоеточия индикатора. Это основной режим. На индикатор выводится текущее время — часы и минуты. В этом режиме таймер включится сразу после подачи питания.

2. Настройка уставок — мигает один из 96 светодиодов текущей уставки.

3. Настройка часов — мигают цифры часов.

4. Настройка минут — мигают цифры минут.

Если при включении таймера удерживать нажатой кнопку SB2, произойдёт сброс всех уставок, поэтому все светодиоды будут выключены. Кратковременное нажатие на кнопку SB3 в основном режиме работы переводит таймер в режим настройки часов. Кратковременное нажатие на кнопку SB1 в основном режиме работы

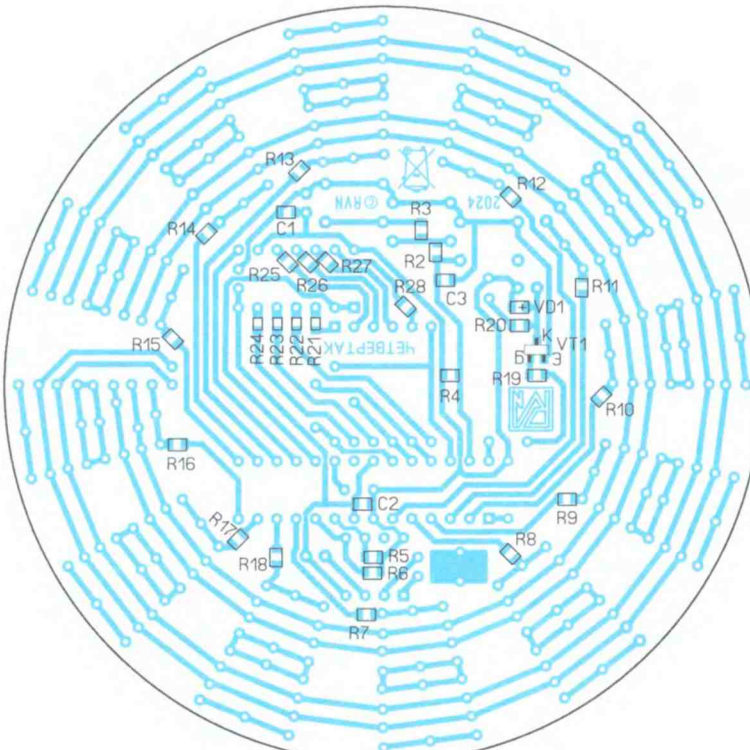
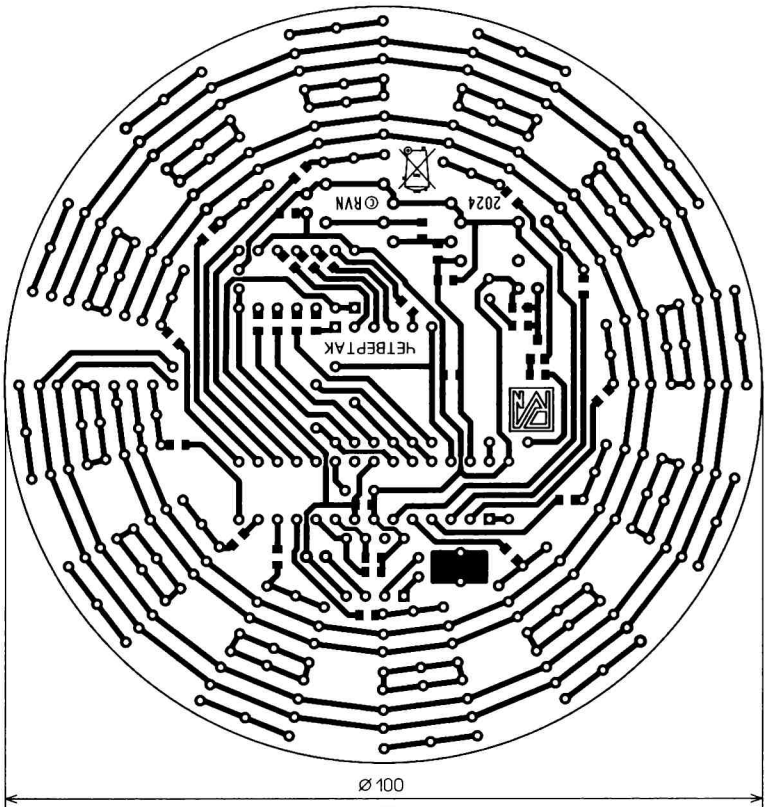


Рис. 7

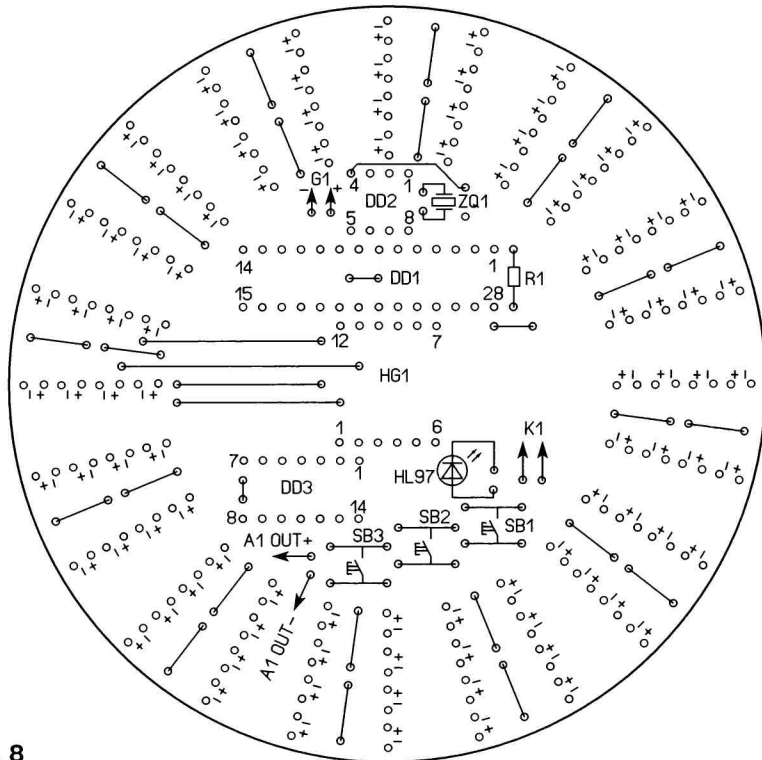


Рис. 8

переводит таймер в режим настройки минут. С помощью этих же кнопок увеличивают или уменьшают текущие значения времени. Нажатие на кнопку SB2 возвращает таймер в основной рабочий режим. Если в основном режиме работы нажать на кнопку SB2, таймер перейдёт в режим настройки периодов его срабатывания (установок-четвертей). При включении таймера в сеть происходит считывание настроек четвертей, и они отображаются на светодиодном табло.

Конструктивно светодиоды четвертей таймера расположены в виде 24 лучей вокруг цифрового индикатора и кнопок управления. Каждому лучу соответствует свой час суток. Луч, уходящий от цифрового индикатора вертикально вверх, начинает сутки с нуля часов. За ним по часовой стрелке идут лучи, соответствующие времеми от 1 до 23. Как в стрелочных часах, но только не на 12, а на 24 ч. Каждый луч состоит из четырёх светодиодов. Один светодиод представляет 15-минутный промежуток — четверть часа. Светодиод, расположенный на внешнем кольце (самого большого диаметра), соответствует периоду часа от 0 до 15 мин. Следующий за ним — от 15 до 30 мин. Третий светодиод — от 30 до 45 мин. Последний светодиод (внутреннего кольца) — от 45 мин и до 0 мин следующего часа.

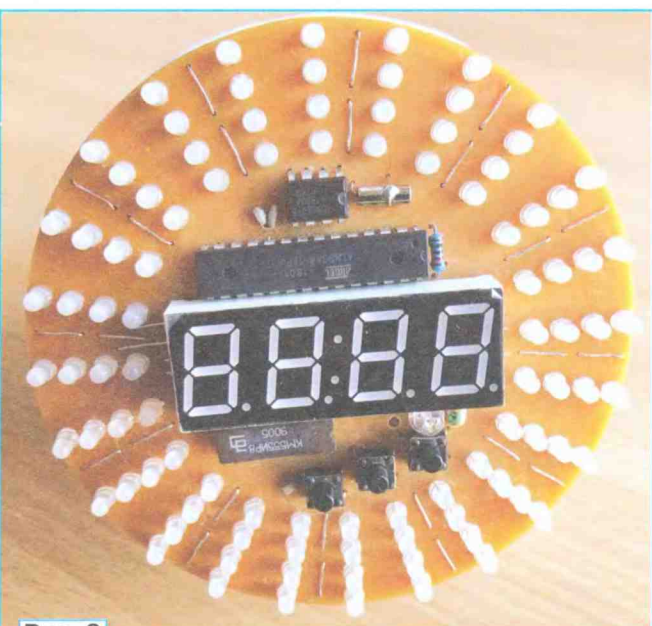


Рис. 9

При первом включении таймера нужно установить текущее время. Затем запрограммировать необходимые временные периоды-установки. Переход из основного режима в режим настроек установок происходит при нажатии на кнопку SB2. Кнопками SB1 и SB3 переходим к предыдущей или следующей четверти. А кнопкой SB2 переключаем значение текущего светодиода. Настраиваемый период определяется мигающим светодиодом. Если большая скважность миганий —

уставка включена, маленькая скважность — уставка выключена. Выход из этого режима происходит автоматически через 10 с после последнего нажатия на кнопку. При этом обновляется информация о настройках всех установок-четвертей в энергонезависимой памяти МК.

При наступлении новой секунды таймер проверяет текущее время и соответствующую этому времени установку. Если есть совпадение, открывается транзисторный ключ и включается реле нагрузки. Если совпадения нет, реле выключено.

Программа написана на языке BASCOM AVR. Вначале указывают тип МК и тактовую частоту, на которой он работает (\$regfile = "m8def.dat", \$crystal = 8000000). Далее поочерёдно выполняется настройка портов, АЦП для кнопок и часов реального времени DS1307. Затем настраивается нулевой таймер (Config Timer0). В его прерывании выполняется код динамической индикации матрицы светодиодов и цифрового индикатора (Pulse). В модуле динамической индикации при каждом его вызове наращивается переменная Takt. За двенадцать тактов на светодиоды и индикатор будет выведена вся графическая информация. Четыре такта обслуживают цифровой индикатор, в течение которых выводятся значения десятков и единиц часов и минут. Всем оставшихся тактов обслуживаются четыре строки из светодиодов, расположенных на плате в виде кольца. Первая половина тактов нужна для включения светодиодов с общим анодом, а вторая половина — для подключения с общим катодом. Из-за большой скорости выполнения кода динамической индикации и инерционности человеческого зрения процесс переключения светодиодов не заметен. Инициализируются переменные (Dim), и перед главным циклом (Do — loop) проверяется нажатие на кнопку SB2 для сброса всех установок.

В главном цикле выполняются несколько важных операций:

- мигание текущим светодиодом четверти, если таймер находится в режиме настройки (If Regim = 1 Then);

- опрос микросхемы часов реального времени (Gosub Gettime);
- определение новой секунды (If Seco <> Prev_seco Then).

Если наступила новая секунда, выполняются операции:

- определение новой минуты (If Seco = 0 Then);
- проверка совпадения текущего времени и установок таймера (Gosub Proverka) для управления реле;
- изменение флага мигания двоеточия часов (Toggle F_1hz);
- если прошло 10 с в режиме на-

Вышла в свет новая книга

Нетес В. А.

Ethernet операторского класса. Учебное пособие для вузов. — М.: Горячая линия — Телеком, 2023. — 128 с.: ил. ISBN 978-5-9912-1023-2



Описаны основные принципы и особенности технологии Ethernet с точки зрения её использования в сетях связи общего пользования, эволюция и стандартизация этой технологии. Применительно к этой области применения Ethernet, получившей название Carrier Ethernet (Ethernet операторского класса), рассмотрены также вопросы обеспечения качества обслуживания и отказоустойчивости, управления сетью и услугами, сетевой синхронизации.

Для студентов, обучающихся по направлениям подготовки бакалавров и магистров 11.03.02 и 11.04.02 — "Инфокоммуникационные технологии и системы связи". Будет полезно студентам и аспирантам, обучающимся по смежным направлениям, и специалистам предприятий связи.

Адрес издательства в Интернете
WWW.TECHBOOK.RU

строки таймера и не было нажатий на кнопки, происходит возвращение в основной режим и запись установок в энергонезависимую память.

МК постоянно измеряет напряжение на кнопках ($\text{Tmp_w} = \text{Getadc}(4)$). Если измеренное значение менее 1024, значит, нажата одна из кнопок. После небольшой паузы для устранения дребезга контактов измерение производится вновь ($\text{If } \text{Tmp_w} < 1020 \text{ Then Waitms } 30$). На основании полученного результата МК определяет, какая из кнопок нажата. Кнопки выполняют несколько функций, в зависимости от режима таймера. Об этом говорится в описании настройки часов и установке таймера.

Помимо динамической индикации, в программе присутствуют ещё несколько функций и вспомогательных таблиц. Их назначение вполне понятно из краткого описания:

- чтение установок из энергонезависимой памяти при старте (R_eeprom);
- загрузка параллельного регистра последовательными данными (Ir_8);
- проверка совпадения текущего времени и установок таймера (Proverka);
- инверсия статуса светодиода четверти (Chetvert_on_off);
- следующий светодиод четверти (Chetvert_plus);
- предыдущий светодиод четверти (Chetvert_minus);
- считывание текущего времени с часов (Gettime);
- запись установленного времени в часы (Settime);
- инкремент часов (Hour_plus);
- декремент часов (Hour_minus);
- инкремент минут (Min_plus);
- декремент минут (Min_minus);
- таблица с цифрами индикатора (Shrift);
- таблица с путём обхода установок таймера при настройке (Puth).

ЛИТЕРАТУРА

1. Толковый словарь живого великорусского языка В. И. Даля. Четвертак. — URL: <https://azbyka.ru/otekhnika/Spravochniki/tolkovyj-slovar-zhivogo-velikorusskogo-jazyka-v-i-dalja-bukva-ch/254> (27.06.24).
2. Charlieplexing. — URL: <https://en.wikipedia.org/w/index.php?title=Charlieplexing&oldid=1222916613> (27.06.24).

От редакции. Файлы для программирования микроконтроллера, для 3D-принтера и чертежи печатной платы в авторском и редакционном вариантах находятся по адресу <http://ftp.radio.ru/pub/2024/08/timer.zip> на нашем FTP-сервере.

Бесконтактный прерыватель нагрузки

В. КАПЛУН, с. Можняковка, ЛНР

Устройство предназначено для включения и выключения с частотой примерно 1 Гц нагрузки с током потребления до 30 А при напряжении питания 12...30 В. В качестве коммутатора нагрузки использован мощный N-канальный МДП-транзистор. Это устройство можно использовать в реле указателя поворота различных транспортных средств или мигалки для декоративного освещения с лампами накаливания или светодиодами.

Схема устройства показана на рис. 1. Функционально устройство содержит генератор импульсов, ключ на транзисторе и узел контроля состояния нагрузки. Управление ключевым МДП-транзистором VT3 осуществляется генератором импульсов на симметричном мультивибраторе, собранном на транзисторах VT1 и VT2 с частотозадающими элементами R2, R3, C2, C3. Импульсы с выхода генератора (коллектор транзистора VT2) поступают на

затвор транзистора VT3, и когда он закрыт, через резистор R5, диод VD1 и нагрузку заряжается конденсатор С1 "плавающего" источника питания устройства. Применение такого способа питания позволило эффективно управлять ключевым транзистором и откастаться от отдельного минусового провода источника питания, что делает устройство полностью совместимым с термоэлектромеханическими двухполюсными прерывателями, но при этом оно не имеет недостатка последних, поскольку частота его переключения не зависит от сопротивления нагрузки.

Узел контроля нагрузки обеспечивает управление контрольной лампой, которая подключается к коллектору транзистора VT6 ("Контроль"), а также защиту ключевого транзистора при кратковременном коротком замыкании нагрузки. Во время открытого состояния ключевого транзистора VT3 поступающее через резистор R6 на цепь

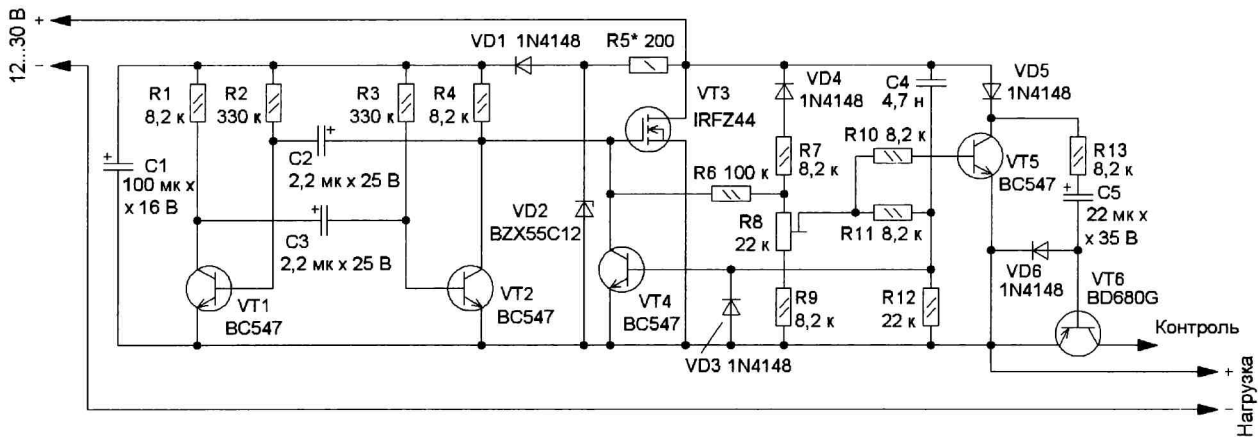


Рис. 1

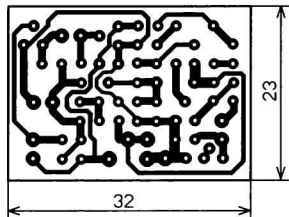


Рис. 2

R7V4 напряжение формирует на этой цепи положительное относительно плюса источника питания напряжение примерно 1,5 В. С делителя на подстроечном резисторе R8 и резисторе R9 регулируемое напряжение поступает на базы транзисторов VT4 и VT5. Если из-за падения напряжения на сопротивлении канала открытого транзистора напряжение между базой и эмиттером транзистора VT5 становится достаточным для его открывания, ток разрядки конденсатора C5 через резистор R13 открывает транзистор VT6, подающий напряжение на контрольную лампу. Включение этой лампы сигнализирует о том, что сопротивление нагрузки не увеличилось выше номинального, например, вследствие выхода из строя одной или нескольких ламп указателей поворотов. Если сопротивление нагрузки недопустимо уменьшилось, например, вследствие короткого замыкания, возросшее падение напряжения на ключевом транзисторе откроет и транзистор VT4, изначальное напряжение смещения на базе которого уменьшено делителем R11R12. Открытый транзистор VT4 шунтирует затвор транзистора VT3, закрывая его, и досрочно переводит мультивибратор в состояние с низким напряжением на выходе. Цепь VD3C4 создаёт условия для форсированного открывания или закрывания транзистора VT4. Во время закрытого состояния ключа через цепь VD5R13VD6 происходит зарядка конденсатора C5, напряжение с которого используется для управления транзистором VT6. Стаби-

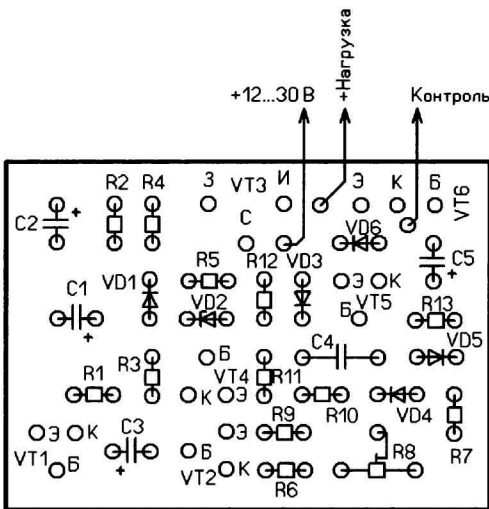


Рис. 3

литрон VD2 устанавливают, если напряжение питания нагрузки будет более 14 В. Резистор R5 подбирают для обеспечения тока через стабилитрон в интервале 5...10 мА.

При налаживании движок подстроечного резистора R8 устанавливают в нижнее по схеме положение, подключают нагрузку номинальной мощности между выходом устройства и минусом источника питания и убеждаются, что она коммутируется с требуемой частотой и скважностью. При необходимости подбирают резисторы R2 и R3 для получения необходимой частоты импульсов. Подключают контрольную лампу между выходом "Контроль" и минусом источника питания. Подстроечным резистором R8 добиваются устойчивого зажигания контрольной лампы синхронно с нагрузкой. При управлении светодиодной нагрузкой с включёнными последовательно несколькими светодиодами, например светодиодной лентой, её необходимо зашунтировать резистором сопротивлением 470 Ом мощностью 0,25—0,5 Вт для обеспечения полной зарядки

конденсатора C1 плавающего источника питания устройства.

Для устройства разработана односторонняя печатная плата, чертёж которой показан на рис. 2. Она изготовлена из фольгированного стеклотекстолита толщиной 1...1,5 мм. Схема размещения элементов на ней показана на рис. 3. Все постоянные резисторы и диоды установлены перпендикулярно плате, что сделано для минимизации её размеров. Это позволяет разместить плату в корпусе с контактами вышедшего из строя штатного реле указателя поворотов практически любого существующего размера. Если узла контроля нагрузки не требуется, устройство быстрее и проще собрать методом объёмного монтажа без использования печатной платы и, поместив в корпус подходящего размера, заполнить его безукоризненным герметиком (например, "Гермесил" производства г. Казань).

Применены постоянные резисторы МЛТ, С2-23, подстроечный — СП3-19, Конденсатор C4 — К10-17, остальные — К50-35 или импортные. Транзисторы BC547 можно заменить маломощными кремниевыми транзисторами серии KT3102 или аналогичными. Транзистор BD680G (VT6) можно заменить составным транзистором средней мощности общего применения структуры р-р-с максимальным током коллектора не менее 1 А, например серии KT973. Диоды 1N4148 можно заменить практически любыми подходящими по размеру кремниевыми маломощными импульсными или выпрямительными диодами. Стабилитрон VD2 — любой маломощный с напряжением стабилизации 11...13 В.

От редакции. Чертёж печатной платы находится по адресу <http://ftp.radio.ru/pub/2024/08/pre.zip> на нашем FTP-сервере.

наша жизнь

Редакция "Радио" в ОК "Юго-Запад"

В соответствии с программой сетевого взаимодействия сотрудники редакции журнала "Радио" в конце мая провели встречу со студентами и преподавателями Государственного бюджетного профессионального образовательного учреждения г. Москвы "Образовательный комплекс "Юго-Запад" (ОК "Юго-Запад") (фото 1). Встреча была приурочена к столетию журнала и собрала студентов отделения "Академическое". Встречу организовала кафедра радиоэлектроники совместно с Информационно-библиотечным центром для знакомства ребят с научно-техническим изданием, обмена опытом, расширения кругозора студентов (фото 2). Примечательно, что на встрече присутствовала старший редактор журнала "Радио" канд. техн. наук Нечаева Н. В., которая много лет про-



Фото 2

Фото 1

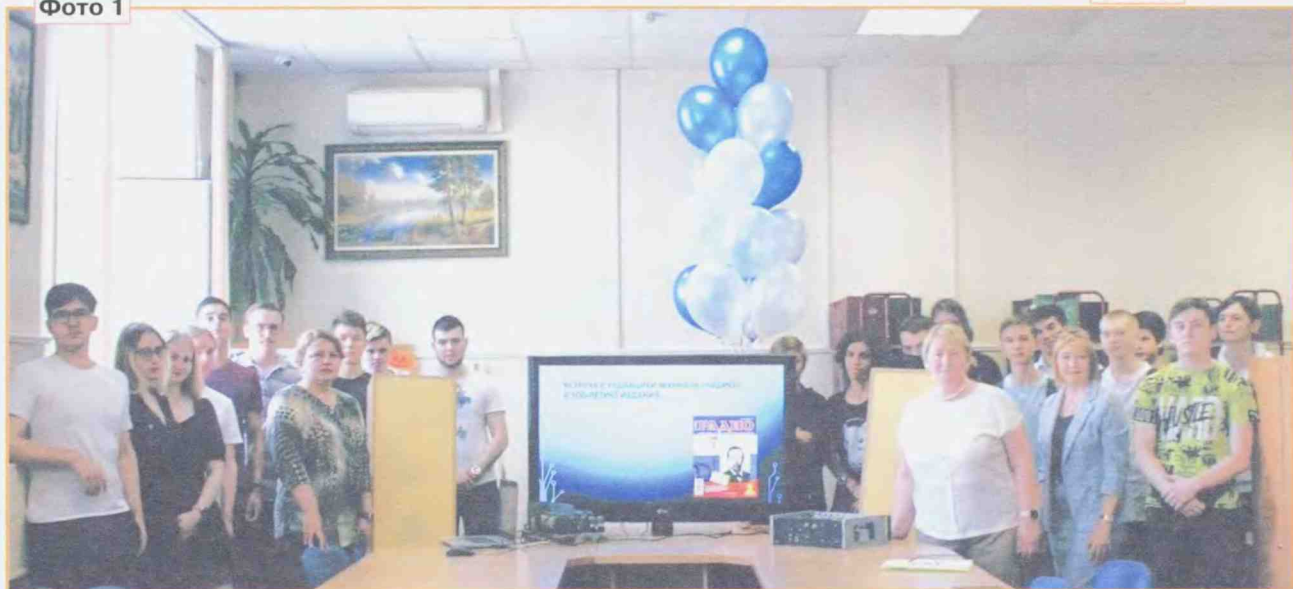




Фото 3

работала в ОК "Юго-Запад" преподавателем специальных дисциплин (фото 3).

На встрече студенты узнали об истории журнала, о том, почему публиковать свои разработки полезно и необходимо, а также ознакомились с архивными выпусками журнала, в том числе и с теми, где были опубликованы работы студентов ОК предыдущих лет (фото 4, фото 5).

В ходе встречи были проведены конкурс на знание условных графических обозначений радиоэлементов и квест "Отгадай радиодеталь", где из набора деталей надо было определить тип и функциональное назначение радиоэлементов.

В заключение перед обучающимися выступил студент ОК "Юго-Запад" Михаил Костюк. Он представил доклад о своей разработке — стереофоническом ламповом УМЗЧ с акустическими системами. Студенты и сотрудники ОК "Юго-Запад" тепло поблагодарили за участие в прошедшей встрече сотрудников журнала "Радио". Надеемся на продолжение плодотворного сотрудничества на регулярной основе.

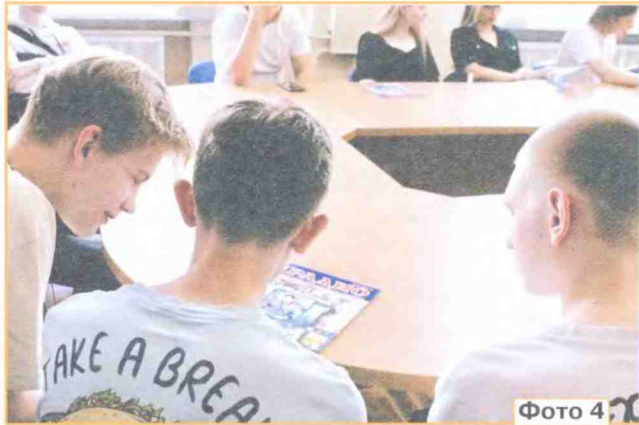


Фото 4



Фото 5

От редакции. В статье были использованы материалы с сайта ОК "Юго-Запад" <<https://spo39.mskobr.ru/>>.

Статья о стереофоническом ламповом УМЗЧ напечатана в этом журнале на с. 52.

Стереофонический ламповый УМЗЧ с АС

М. КОСТЮК, г. Москва

Стереофонический ламповый УМЗЧ с АС, описание которого приводится далее, разработан учащимся Образовательного комплекса "Юго-Запад" М. А. Костюком под руководством преподавателя спецдисциплин канд. филос. наук В. Ф. Овсянникова.

УМЗЧ предназначен для высококачественного воспроизведения музыкальных произведений. Он рассчитан для совместной работы с ПК со звуковой картой, балансировка каналов и микширование сигналов осуществляются с помощью

эквалайзера, стандартно входящего в состав ПО ПК для работы со звуковыми сигналами. УМЗЧ работает с самодельными трёхполосными АС.

Схема одного канала УМЗЧ показана на **рис. 1**. При разработке конструкции были использованы стан-

дарные и доступные элементы, в частности, широко распространённые трансформаторы заводского изготовления. УМЗЧ вполне может быть повторён радиолюбителями средней квалификации.

За основу была взята схема УМЗЧ [1], которая была доработана и дополнена с целью повышения чувствительности. Предварительный каскад собран на лампе VL1.1, на лампе VL2 собран второй каскад с фазоинвертором, а на лампах VL3 и VL4 — выходной двухтактный каскад. Выходной каскад, показанный на рис. 1, рассчитан на сопротивление АС 8 Ом. В качестве выходных трансформаторов использованы серийные трансформаторы [2]. Блок питания, схема которого показана на **рис. 2**, был использован один на два канала. Применены трансформаторы ТАН 44-127/220-50.

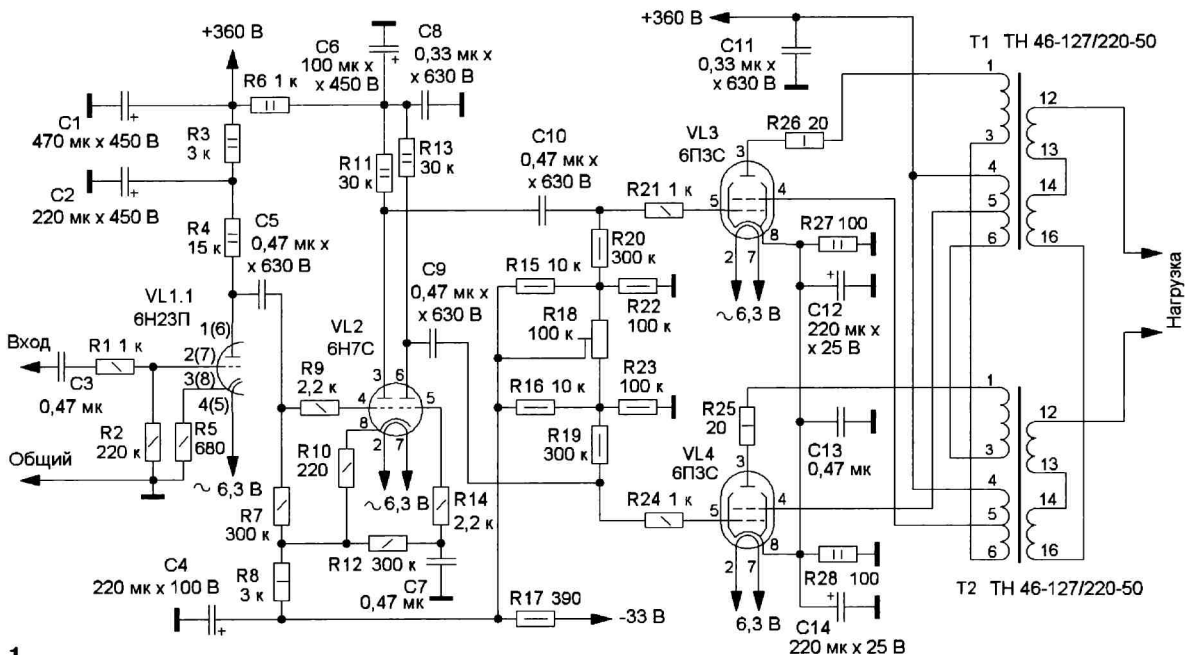


Рис. 1

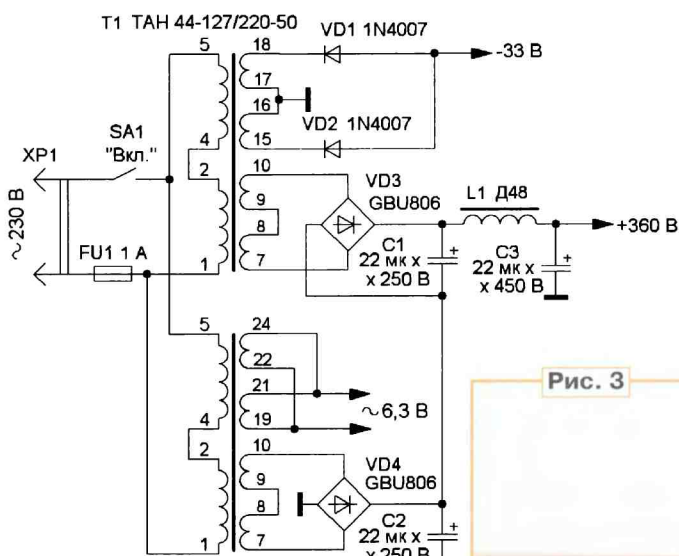


Рис. 2

Основные технические характеристики

Максимальная выходная мощность одного канала, Вт	20
Диапазон частот, Гц	30...22000
Габаритные размеры УМЗЧ, мм	255×295×132
Напряжение питания, В	230
Габаритные размеры АС, мм	250×320×1200

Все элементы устройства смонтированы на металлическом шасси, между блоком питания и усилительными каскадами установлен металлический

экран (рис. 3). Для монтажа используются монтажные планки, стойки и выводы некоторых элементов (рис. 4). Все детали, за исключением радиоламп, дросселей и оксидных конденсаторов блока питания, смонтированы в подвале шасси усилителя.

В УЗЧ применены резисторы МЛТ и ВС, оксидные конденсаторы К50-35 или импортные аналоги, остальные конденсаторы — К73-17, К50-31. Для более качественной работы УЗЧ лампы в выходном каскаде 6П3С необходимо подобрать по вольт-амперным характе-



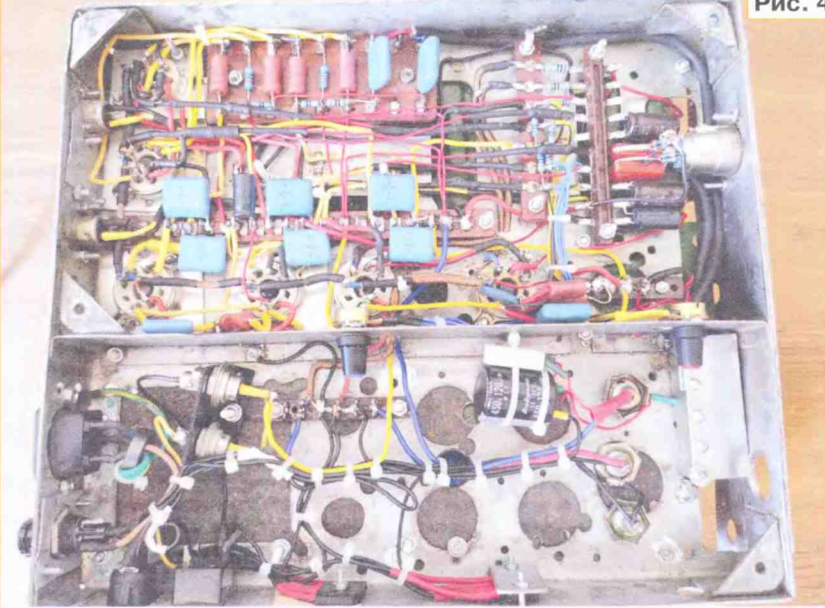


Рис. 4

**БЛАГОДАРНОСТЬ**

ЗА ВЫСТУПЛЕНИЕ С ДОКЛАДОМ

на

XXVIII Международном форуме
Международной академии связи
(МАС) — 2024«ЦИФРОВАЯ ТРАНСФОРМАЦИЯ.
СВЯЗЬ БУДУЩЕГО»

Костюку

Максиму Алексеевичу

Президент МАС

Романов

А.П. Остров

26 апреля 2024 г.
г. Москва

Рис. 8

Рис. 7



Рис. 6

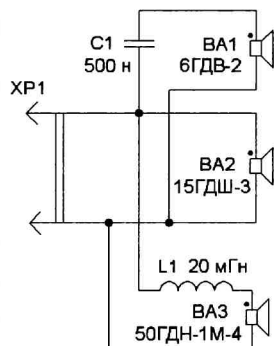
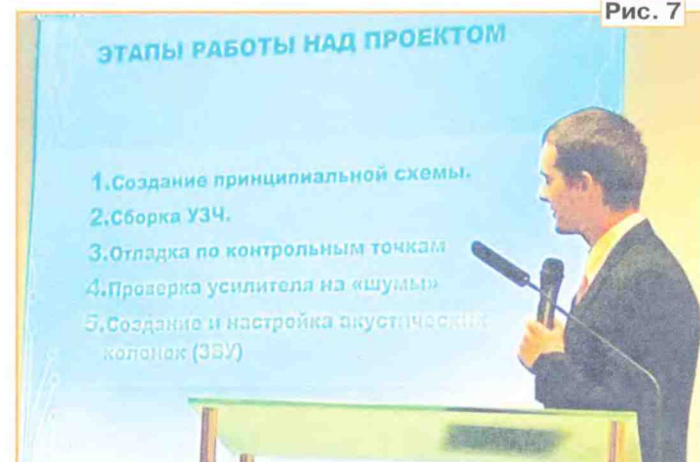


Рис. 5

ристикам с наиболее близкими значениями. Можно пользоваться устройством для снятия характеристик радиоламп.

Схема АС показана на рис. 5. Она выполнена по технологии открытого ящика. Для улучшения звучания использованы три динамические головки с фильтрами ВЧ и НЧ. Лицевая панель сделана из брусков древесины ели, высущенных и скле-

енных между собой. Остальные части корпуса колонок изготовлены из ДСП (рис. 6).

Доклад о разработанном УМЗЧ был сделан на молодёжной секции 28-го Международного форума МАС 2024 «Цифровая трансформация. Связь будущего» (рис. 7), работа которого проходила 26 апреля 2024 г. в ЦВК «Экспоцентра». Тема вызвала живой интерес присутствующих. Ответы на вопросы пришлось давать вместе с руководителем. За доклад студент М. А. Костюк был отмечен благодарностью организаторов (рис. 8).

ЛИТЕРАТУРА

1. Комаров С. Ламповые УМЗЧ с трансформаторами ТАН. — Радио, 2005, № 5, с. 16—20.

2. Трансформатор ТН-46-127/220-50. — URL: <https://www.radiolibrary.ru/reference/transformers-tn/tn46.html> (08.06.24).

Ремонт и модернизация светодиодного фонаря

И. АНДРИАНОВ, г. Измаил Одесской обл.

Более десяти лет назад был приобретён светодиодный фонарь, работающий от батареи из трёх гальванических элементов или аккумуляторов типоразмера AAA. Его "слабым звеном" оказалась кассета для элементов, изготовленная из тонкой пластмассы, которая через несколько лет службы сломалась (**фото 1**). В результате фонарик был отложен в ящик с различным "электрическим хламом". Недавно, копаясь там, я наткнулся на него и решил восстановить. Попытки



Фото 1

склеить или "сварить" паяльником кассету для элементов ни к чему не привели. В итоге я решил заменить три элемента питания одним Li-Ion аккумулятором, напряжение которого примерно равно напряжению трёх Ni-Cd аккумуляторов.

На рынке был приобретён аккумулятор типоразмера 14500 ёмкостью 650 мА·ч. Там же, воспользовавшись информацией об использовании модуля HW-107 для зарядки Li-Ion аккумуляторов, содержащейся в ряде статей, опубликованных в "Радио" в текущем году [1, 2], я приобрёл и этот модуль.

Теперь предстояло "вписать" новый аккумулятор с внешним диаметром 14 мм в батарейный отсек фонаря с внутренним диаметром 22 мм. Проблема решилась очень просто — в запасах домашнего хозяйства была найдена пла-



Фото 2

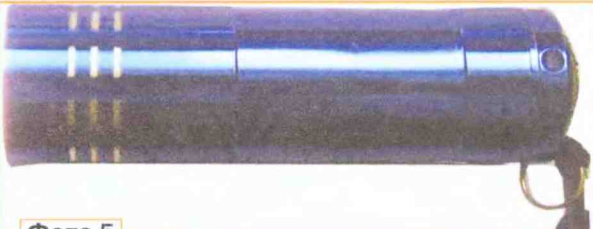


Фото 5

стиковая (вероятно, ПВХ) трубка чёрного цвета внешним диаметром 20 мм и внутренним диаметром 15 мм. От неё был отрезан фрагмент длиной с поломанную кассету для элементов. Он оказался чуть больше нового аккумулятора. Поэтому была использована металлическая шайба диаметром около 15 мм и толщиной 1,5 мм, которая установлена со стороны минусового контакта аккумулятора. Так была составлена новая "кассета для аккумулятора" (**фото 2** и **фото 3**).

Модуль HW-107 был подключен к зарядному устройству с разъёмом micro-USB от старого мобильного телефона. Аккумулятор вставлен в одно из гнёзд кассеты для трёх элементов размером AA и подключен к модулю HW-107 (**фото 4**). Через пару часов красный светодиод на плате погас и загорелся синий — зарядка аккумулятора завершилась. Он был установлен в фонарь, который, после нажатия на кнопку включения, благополучно заработал (**фото 5**).

Возможно, что предложенный способ ремонта с модернизацией и выглядит весьма примитивным, но он поможет "оживить" многие, казалось бы бросовые фонари, которые ещё не один год послужат своим владельцам. Замечу, что вся модернизация обошлась дешевле, чем приобретение нового фонаря.

ЛИТЕРАТУРА

1. Красносельский Д. Устройство для проверки светодиодов, светодиодных матриц и стабилитронов. — Радио, 2024, № 5, с. 31—33.

2. Бирюков С. Вольтметр из миллиомметра. — Радио, 2024, № 5, с. 37—39.

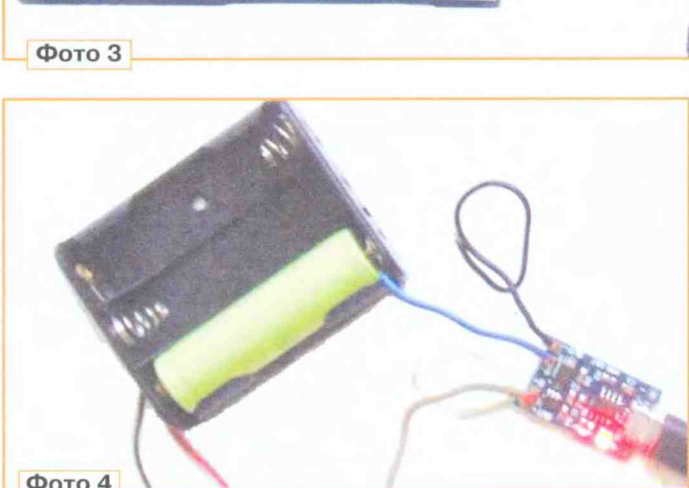


Фото 4

Из беспроводных головных телефонов — в мультиметр

И. НЕЧАЕВ, г. Москва

В настоящее время беспроводные головные телефоны распространены очень широко. Их предложение на рынке также велико, от дорогих элитных до недорогих бюджетных. Судя по отзывам в Интернете, надежность и качество бюджетных беспроводных телефонов, как и следовало ожидать, оставляют желать лучшего. Поэтому срок их службы невелик, и они часто выходят из строя. Но для радиолюбителя такая аппаратура не является потерянной навсегда, и ее узлы и элементы могут быть с пользой применены в других устройствах.

Как использовать узлы частично неисправных беспроводных головных телефонов в других устройствах, рассказало в этой статье. Донорами стали

зовать их в других устройствах. Точных данных о ёмкости применённых аккумуляторов нет. В некоторых источниках указана ёмкость аккумулятора кейса — 310 мА·ч, а ёмкость аккумулятора головного телефона — 43 мА·ч.

Исправный кейс можно использовать как Powerbank, об этом напрямую сказано в описании. Ёмкость применённого Li-Ion аккумулятора была измерена с помощью USB-тестера и электронной нагрузки [1]. Как и ожидалось, она оказалась небольшой, около 250 мА·ч (и это для типоразмера 18650!). Однако в критической ситуации и он может выручить. Поэтому одно из возможных применений кейса — использование его для изготовления более ёмкого Powerbank. Для этого надо применить

Поскольку в каждом головном телефоне (рис. 2) имеются Li-Ion аккумулятор, драйвер и светодиодный индикатор его зарядки, их можно с успехом применить, если конечно, они исправны. Поэтому надо убедиться в том, что они работоспособны. Если кейс оказался неработоспособным, исправность головных телефонов в части зарядки аккумулятора можно проверить, подавая на его контакты напряжение 5 В. Чтобы не ошибиться с полярностью, телефон лучше разобрать. Его основные узлы показаны на рис. 3. Магнит служит для фиксации головного телефона в кейсе. На плате размещена всего одна микросхема, которая выполняет все функции, включая зарядку аккумулятора. К микросхеме подключе-

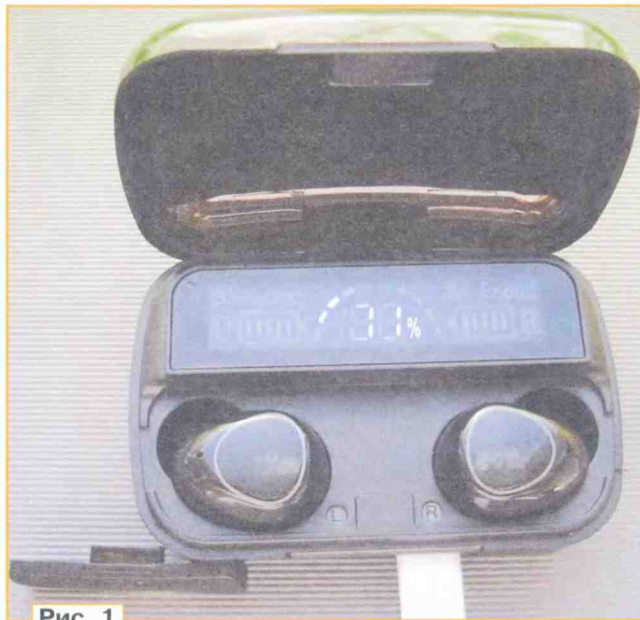


Рис. 1

телефоны с названием NEWEST M10 TWS BT V5.3, показанные на рис. 1 (из-за динамической индикации светят не все элементы индикатора). Они содержат док-станцию (или так называемый кейс), в которой хранятся головные телефоны и осуществляется зарядка их аккумуляторов. В кейсе имеются Li-Ion аккумулятор типоразмера 18650 неизвестной ёмкости и драйвер для его зарядки и ограничения разрядки, а также индикаторы зарядки, как у этого аккумулятора, так и аккумуляторов телефонов. Именно эти узлы, если, конечно, они исправны и можно исполь-

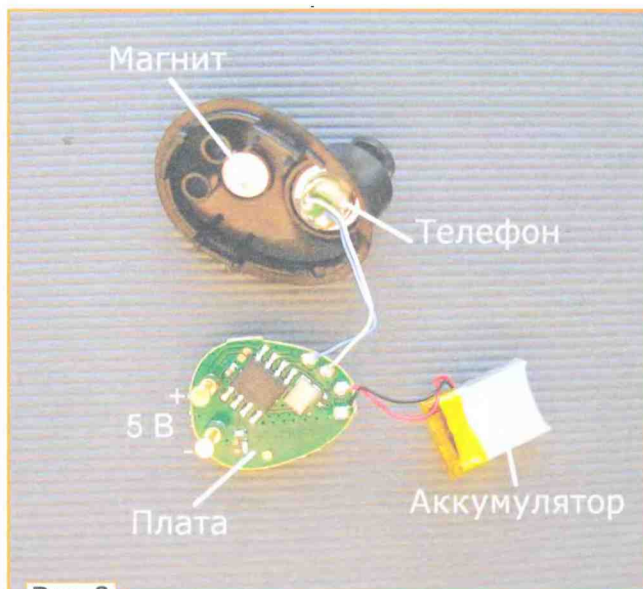


Рис. 3



Рис. 2

кондиционный аккумулятор того же типоразмера, но с большей ёмкостью.

ны головные телефоны, аккумулятор, контакты для подачи напряжения 5 В, а на обратной стороне платы — микрофон, индикаторные светодиоды и контакт сенсорного датчика управления. Надо проверить напряжение аккумулятора, и если оно в пределах нормы (3...4,2 В), к контактам можно подключить источник напряжением 5 В. Если пойдет зарядка аккумулятора, светодиод красного свечения будет светить, а по окончании зарядки он погаснет. Для этой платы ток зарядки — 40 мА.

Аналогично желательно проверить и второй головной телефон, но если он неисправен, от него может потребо-

ваться только аккумулятор. Таким образом, имея одну плату и два аккумулятора, можно их использовать для питания какого-либо прибора. Поскольку ёмкость аккумуляторов невелика, целесообразно их применить для питания маломощных устройств. Таковыми, например, являются мультиметры серии М-83х, DT-83х. Они пытаются от батареи напряжением 9 В типоразмера 6F22, поэтому их можно запитать от двух Li-Ion аккумуляторов, включённых последовательно. При этом максимальное напряжение будет 8,4 В. При снижении напряжения до 7 В на табло мультиметра появляется значок раз-

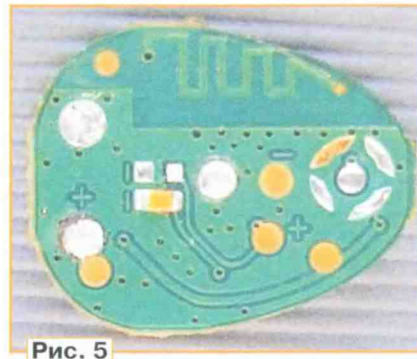


Рис. 5

так получается схема аналога батареи 6F22, которая показана на **рис. 4**. В положении переключателя "Зарядка" аккумуляторы включены параллельно к

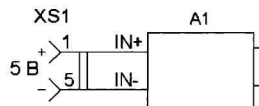


Рис. 4

выходам платы OUT+ и OUT- (наименования условные), при этом напряжение питания на мультиметр не подаётся. В положении "Выкл." питание на мультиметр также не поступает. В положении "Вкл." аккумуляторы включаются последовательно и подключаются к цепи питания мультиметра.

Теперь можно перейти к изготовлению аналога. При этом желательно не вносить никаких изменений в электри-

ческую схему мультиметра и использовать его штатный разъём для подключения батареи 6F22, но придётся сделать три отверстия в корпусе. Однако в некоторых мультиметрах вместо специального разъёма используются два пружинных контакта, которые следует удалить и заменить разъёмом.

Для начала с платы надо удалить ненужные элементы — контакты, микрофон, элементы согласования с печатной антенной и светодиод синего свечения (**рис. 5**, **рис. 6**). В качестве разъёма XS1 можно использовать разъём micro-USB или аналогичный, к которому будет подключаться зарядное устройство с выходным напряжением 5 В от сотового телефона. Переключатель — угловой SK 23D07VG, SK43D04G6 [2] или аналогичный. Сначала выпиливают плату-основание, на которой будут размещены все элементы. Её размеры должны быть такими, чтобы она плотно входила в батарейный отсек. Это основание можно сделать из нефольгированного стеклотекстолита или пластмассы толщиной 1,5 мм. Расположение деталей показано на **рис. 7**. На ней сначала надо разместить переключатель, чтобы его движок выходил через прямоугольное отверстие в боковой стенке корпуса мультиметра, которое надо сделать по месту. Затем аналогичным образом размещают разъём XS1 и делают отверстие для него. Переключатель и разъём крепят на основании с помощью моментального суперклея со сварочным гранулятом.

Плату от головного телефона устанавливают на ребро (светодиодом наружу) и крепят таким же клеем. Аккумуляторы приклеивают kleem "Квинтол" или аналогичным. После этого проводят монтаж с помощью изолированного провода и проверяют работоспособность устройства. В заключение с помощью моментального суперклея со сварочным гранулятом крепят разъём X1. Размещение аналога в батарейном отсеке мультиметра показано на **рис. 8**. В случае необходимости его нетрудно из него вынуть, заменив батареей 6F22.

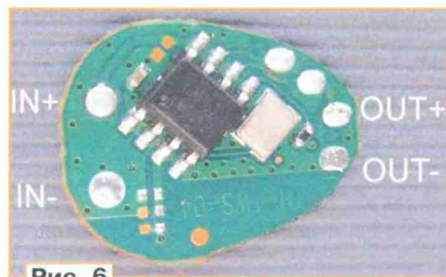


Рис. 6

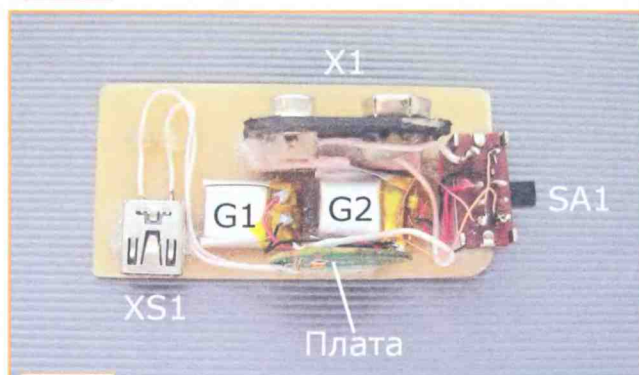


Рис. 7



Рис. 8

Чтобы можно было контролировать процесс зарядки аккумуляторов, напротив светоизлучателя в корпусе делают отверстие. При желании в это отверстие можно вставить верхнюю часть (линзу) от матового светодиода красного свечения с диаметром корпуса 3 мм. Для этого линзу (2...3 мм) кусачками аккуратно откусывают от корпуса светодиода и с усилием вставляют в отверстие, которое должно иметь немногим меньший диаметр. Процесс зарядки аккумулятора показан на **рис. 9**. Продолжительность непрерывной работы мультиметра (до появления значка разрядки батареи) в режиме измерения



Рис. 9

что аккумуляторы разряжаются не полностью, а до напряжения около 3,5 В каждый.

В результате из вышедшего из строя или морально устаревшего гаджета можно изготовить полезное в радиолюбительской практике устройство.

ЛИТЕРАТУРА

1. Нечаев И. Расширение возможностей простого USB-тестера. — Радио, 2024, № 8, с. 38—41.

2. SK Series Miniature Slide Switches. Side Knob. — URL: <https://click.ru/3Axizq> (30.05.24).

Учись играя. Игровой автомат "Камень, ножницы, бумага"

Часть 2

К. ЖЕЛТОВ, г. Иркутск

В первой части нашей игры мы спроектировали основной игровой блок. При проверке его работы оказалось, что если удерживать одну из кнопок жестов игрока 1, можно наблюдать, как игрок автомат меняет жесты. Дело в том, что мы разрешаем работу сдвигового регистра на триггерах DD10—DD13. Для устранения этого недостатка необходимо фиксировать ход игры. Определим, что для победы один из игроков должен одержать не менее трёх побед, при том, что при совершении каждого хода и достижении победы блокируются кнопки жестов игрока 1. В проект потребуется добавить ряд логических элементов и блоков, а также внести изменения в ранее разработанные. Во-первых, отключим светодиоды от блока DD7, а в разрыв цепи подключим ещё два D-триггера. Присвоим этим триггерам обозначения DD14 и DD15. Светодиоды победы в ходе игрового шага подключим к выходам Q этих триггеров. А входы S подключим к выходам Qi и Qa соответственно. Входы R обединим и подключим к кнопке "Ход".

Разместим двухвходовый элемент ИЛИ-НЕ, присвоим ему обозначение DD16. Его входы также подключим к выходам Q триггеров DD14 и DD15. Изменим число входов элемента DD9,

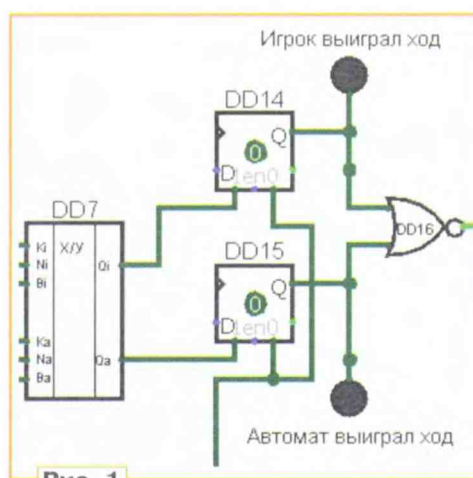


Рис. 1

задав в его свойстве "Количество входов" значение 3. Добавившийся вход соединим с выходом элемента DD16. Теперь после каждого хода при появлении лог. 1 на выходе одного из триггеров на выходе DD16 будет лог. 0, который запретит синхронизацию и сдвиг в регистре игрока автомата. На **рис. 1** приведена схема блока фиксации хода игроков.

Для подсчёта победных ходов воспользуемся таким блоком, как счётчик,

который является последовательным и строится на триггерах, но, в отличие от регистров, его основное предназначение — подсчёт входных сигналов (импульсов). Мы будем использовать счётчики, которые присутствуют в среде Logisim. Блок счётчика находится в панели элементов "Память". На **рис. 2** приведено окно его настроек, которые нужны нам для проекта, а на **рис. 3** показано назначение его выводов. Счётчик может считать как в сторону больших значений от 0, так и в сторону от максимального значения до 0 (инкрементирующий/декрементирующий). Максимальное значение задаётся его разрядностью (параметр "Биты данных") и параметром "Максимальное значение". В проектируемом устройстве счётчик будет инкрементирующий с максимальным значением 3. Физический счётчик при достижении максимально-го значения формирует сигнал переполнения и устанавливается в начальное состояние, определяемое входами режимов работы. Мы же в среде оставшимся счёт, выбрав в свойстве "Действие при переполнении" режим "Оставаться на значении".

Память
D триггер
T триггер
J-K триггер
S-R триггер
Регистр
Счётчик
Сдвиговый регистр
Генератор случайных чисел
ОЗУ
ПЗУ

Инструмент: Счётчик

Биты данных	2
Максимальное значение	0x3
Действие при переполнении	Оставаться на значении
Срабатывание	Передний фронт
Метка	
Шрифт метки	SansSerif Обычный 12

Рис. 2



Рис. 3

автомат". Для блокировки игры добавим в схему двухходовой элемент ИЛИ с обозначением DD19. Его входы подключим к выходам сигналов переполнения счётчиков. В ранее созданную схему внесём изменения, увеличив число входов элементов DD4—DD6

в одном из счётчиков увеличивается значение на 1. Для следующего хода игрок 1 должен нажать на кнопку "Ход", без этого продолжение игры невозможно. При достижении максимального значения одного из игроков счёт останавливается на том счётчике, где возникло переполнение. Для начала новой игры необходимо обязательно нажимать на кнопку "Сброс". На рис. 4 приведена итоговая схема проектируемого устройства в режиме моделирования. В качестве совета по совершенствованию работы устройства можно предложить изменить схему включения выходов

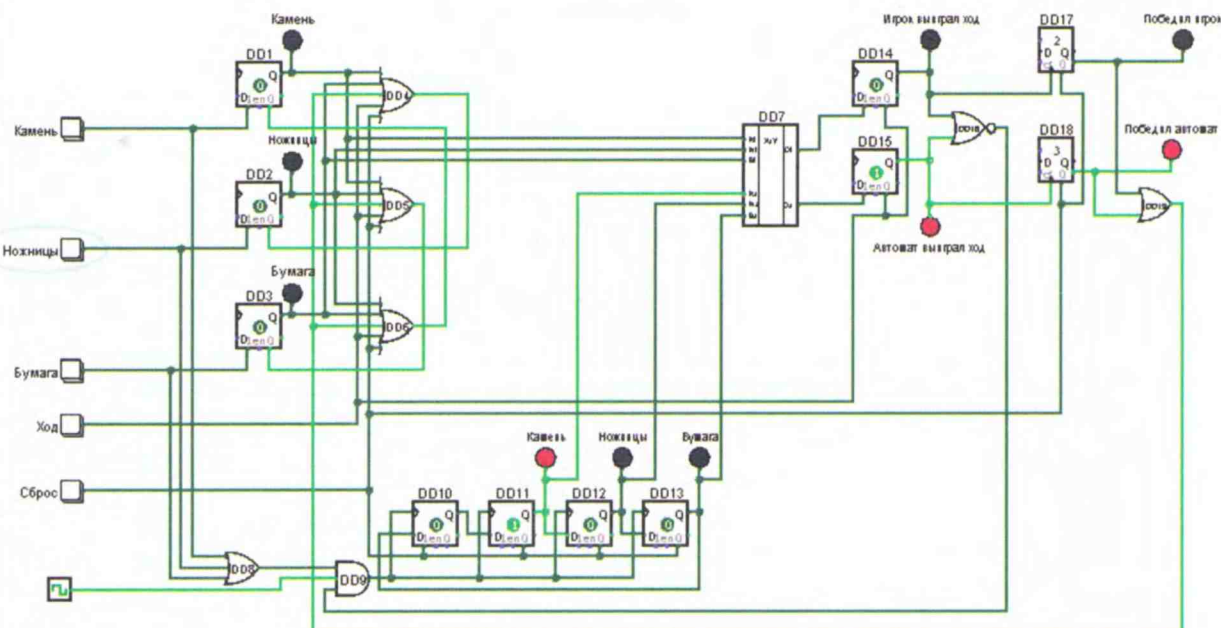


Рис. 4

Разместим на схеме два счётчика, обозначим их DD17 и DD18. Входы сброса объединим и подключим к кнопке "Сброс". Счётный вход DD17 подключим к выходу Q триггера DD14, а счётный вход DD18 — к выходу Q триггера DD15. К выходу сигнала переполнения счётчика DD17 подключим светодиод с меткой "Победил игрок", к аналогичному выходу счётчика DD18 подключим светодиод с меткой "Победил

на один. Появившиеся входы объединим и подключим к выходу элемента DD19. При достижении максимального значения на выходе одного из счётчиков на выходе элемента DD19 появится лог. 1, которая через элементы DD4—DD6 будет принудительно сбрасывать триггеры первого игрока в лог. 0, тем самым не давать выбрать жест.

В итоговом варианте устройства, если один из игроков победил в ходе, то

дев DD11—DD13 к входам DD7, не забыв переименовать метки светодиодов игрока автомата. Удачной схемотехнической игры!

От редакции. Файлы проекта и таблицы истинности находятся по адресу <http://ftp.radio.ru/pub/2024/08/logism3-2.zip> на нашем FTP-сервере.

Макет-модуль графической кнопки-дисплея

Д. МАМИЧЕВ, п. Шаталово Смоленской обл.

Общее описание интересного концепта (рис. 1) совмещения кнопки и дисплея в один функциональный

0,96 дюйма и разрешением 128x64 пикселя. Специализированных библиотек для программирования для этого дис-

плея автору найти не удалось. Однако первые опыты показали, что он успешно работает на скетчах с разными библиотеками для дисплея с диагональю 0,96 дюйма. Правда, следует отметить, что область отображения уменьшена в четыре раза по площади и смешена на 32 пикселя по координатным осям (рис. 5). Таким образом, при разработке графики для этого модуля можно воспользоваться наработками из [4].

На рис. 6 изображена последовательность изготовления макета. Основание 1 — это квадратная крышка от упаковки оконных роликовых жалюзи. Она имеет габаритные размеры 45x45x14 мм. В верхней части прорезаны две щели 2 для направляющих футляра экрана и высверлены два отверстия под вывод контактов кнопки 3. Наклеенные с боков кнопки полоски двухстороннего скотча 4 предназначены для крепления скобы футляра 5. Этот вариант модуля имеет три печатные

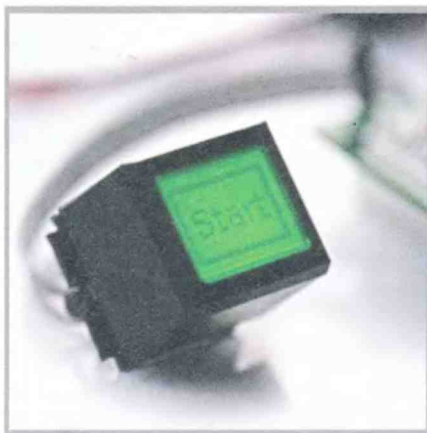


Рис. 1



модуль автору удалось найти в интернет-публикациях [1—3]. При конструировании с использованием микроконтроллера (МК) один и тот же элемент управления, например кнопка, может иметь различные переключаемые функции в изделии. Для их сопутствующей визуализации зачастую гораздо удобнее использовать встроенный миниатюрный дисплей, а не индикаторные светодиоды или информационные надписи. К сожалению, найти и приобрести подобный модуль промышленного изготовления автору пока не удалось, и для простых экспериментов пришлось довольствоваться вариантом самодельной конструкции (рис. 2).

Для опытов был собран макет, схема которого показана на рис. 3. Элемент A2 — графический OLED-дисплей с диагональю 0,49 дюйма, разрешением 64x32 пикселей, управляемый чипом SSD1306, работающим по интерфейсу I²C (рис. 4). Размер квадратной платы с чипом, которая расположена под экраном, — 15x15 мм. На ней отсутствуют элементы крепления, а выводы для электрических соединений (штыри-гребёнка) уже распаяны производителем. В продаже имеются модули только с белым свечением пикселей. Судя по числу отзывов покупателей и объёму продаж, этот дисплей используется радиолюбителями редко, в отличие от трёхцветной версии с диагональю

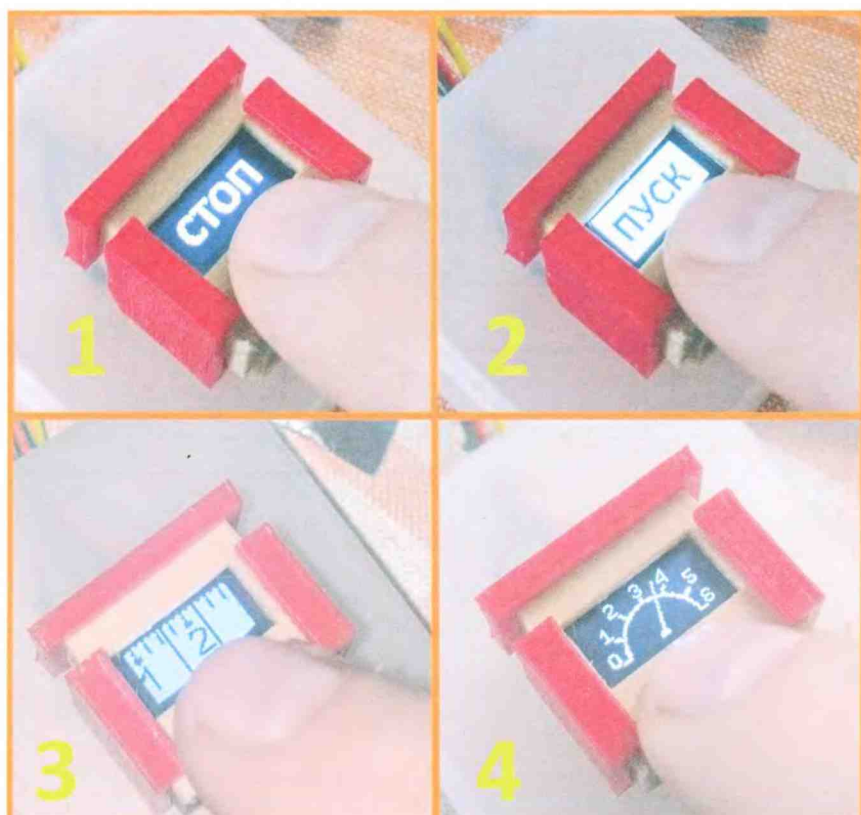


Рис. 2

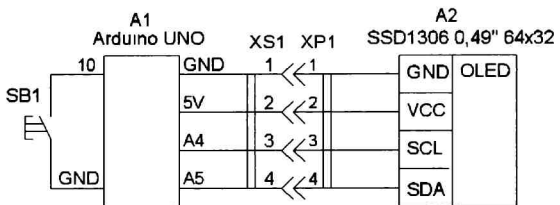


Рис. 3

(0,0)

128*64

(32,32) 64*32

Рис. 5

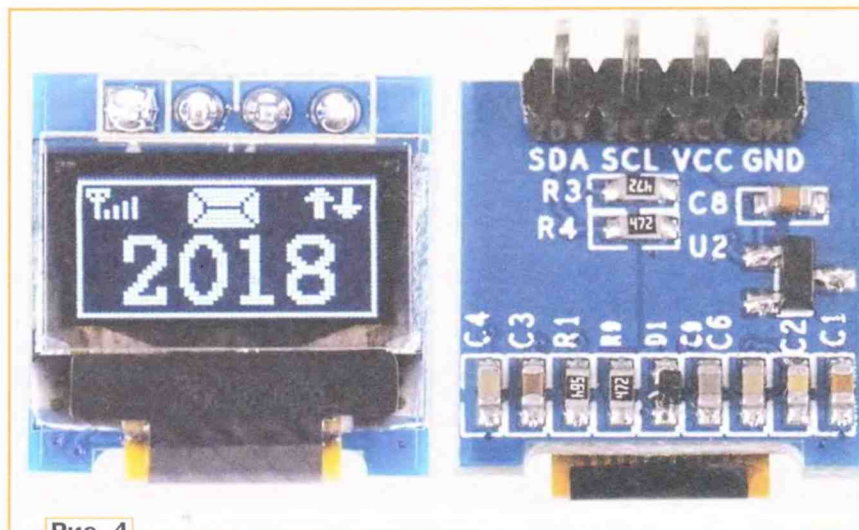


Рис. 4

детали: крышку экранного футляра 6, скобу 5, футляр с направляющей 7. Сначала вставляют футляр 7 в скобу 5, затем основание скобы приклеивают к

крышке 1, пропустив корпус кнопки 3 сквозь отверстие скобы. При этом направляющая должна свободно входить в щель 2 (вставленный футляр — 8).

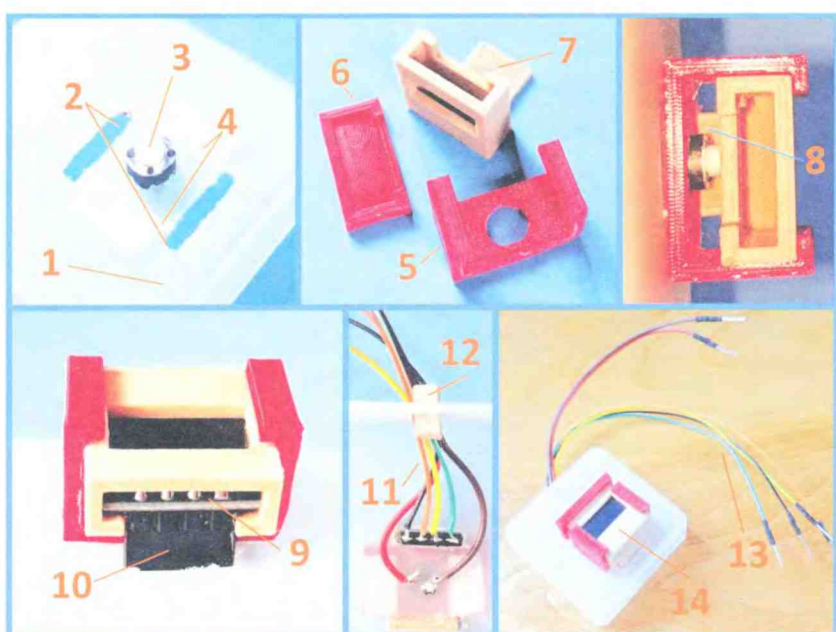


Рис. 6

Далее внутрь футляра вставляют дисплей 9 и через щель надевают гнездовой разъём 10 на контактные штыри платы дисплея. Этот разъём является второй направляющей футляра. С обратной стороны крышки тонкими гибкими проводами 11 с помощью пайки производят электрические соединения между модулем дисплея и модулем Arduino UNO. В боковой поверхности основания 1 вы сверливают отверстие диаметром 5...6 мм для проводов, которые фиксируют к основанию с помощью отрезка стирательной резинки 12. Его габаритные размеры — примерно 10×4×4 мм. С другой стороны к проводам 13 припаивают отрезки стальных скобок, закрывая места пайки отрезками термоусаживаемой трубки диаметром 2...2,5 мм. Проверяют свободный ход футляра и срабатывание кнопки SB1, нажимая указательным пальцем в область 14. При необходимости поправляют положение скобы 5 относительно основания 1.

Программирование работы элементов управления (кнопок), как правило, сводится к созданию переменных, числовые значения которых определяются числом нажатий, их очерёдностью или длительностью удержания контактов замкнутыми. При этом каждому значению соответствует своя графическая интерпретация (рис. 2), будь то имитация информационной надписи, текущее положение указателя-стрелки на шкале или просто выведенное числовое значение переменной. Параллельно этому также каждое значение определяет реакцию изделия на манипуляцию с кнопкой. В прилагаемом примере (**кнопка.ino**, рис. 2, элементы 1 и 2) переменная **f1** имеет два значения — 0 и 1. Она отслеживает чётное и нечётное числа нажатий на кнопку, поочерёдно задавая, например, включение и отключение условного исполнителя. Напротив, в примере **schkala.ino** (рис. 2, элемент 4) переменная **a** ступенчато меняет своё значение от 0 до $-PI$ с шагом $PI/48$ при нажатии на кнопку и её удержании. После повторного удержания направление счёта изменяется на противоположное. Иными словами, такой модуль даёт радиолюбителю простор для творчества при создании различ-

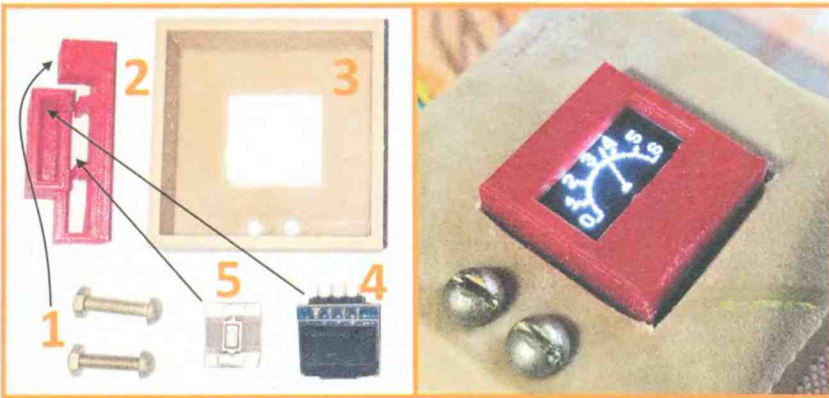


Рис. 7

ных интерфейсов управления в самодельных устройствах.

Ещё один конструктивный вариант изготовления модуля представлен на рис. 7. Он отличается от первого расположением элементов под лицевой поверхностью основания, т. е. по аналогии с выключателями является встраиваемым, а не накладным. Печат-

ных элементов всего два — это корпус-основание 3 и крепление 2 для экрана 4 и платы кнопки 5. Печатные элементы скрепляются с помощью двух винтов М3 с гайками 1. Последовательность сборки элементов аналогична сборке первого варианта.

При необходимости или желании число графических кнопок можно уве-

личить, воспользовавшись схемными решениями из [5].

ЛИТЕРАТУРА

1. Что такое графическая кнопка-дисплей? — URL: <https://www.rlocman.ru/review/article.html?id=34314> (03.04.24).

2. Optimus-like OLED Apple Keyboard? — URL: <https://www.macrumors.com/2008/01/03/optimus-like-oled-apple-keyboard/> (03.04.24).

3. Клавиатура "Оптимус мини-шесть". — URL: <https://www.artlebedev.ru/optimus/mini-six/> (03.04.24).

4. Мамичев Д. Графическое представление данных на миниатюрном дисплее. — Радио, 2021, № 10, с. 59–61.

5. Мамичев Д. Графическое представление данных на миниатюрном дисплее-2. — Радио, 2023, № 1, с. 61–63.

От редакции. На нашем FTP-сервере по адресу <http://ftp.radio.ru/pub/2024/08/maket.zip> находятся все материалы проекта и видеоролики, иллюстрирующие работу устройства.

Ответы на викторину "Микрокомпьютеры NanoPi"

(“Радио”, 2024, № 7, с. 63, 64)

Р. СЕРГЕЕНКО, г. Гомель, Беларусь

1. Ответ — 1. Несмотря на то что элемент L67 имеет буквенно-цифровое обозначение катушки индуктивности и содержит четыре контакта, называется он... трёхвыводной конденсатор. Именно так позиционирует свою продукцию фирма Murata, которая в 1979 г. вывела на рынок первый подобный конденсатор DS310, опередив конкурентов в отрасли.

Внутренняя слоистая структура трёхвыводного конденсатора имеет сходство с классическим проходным конденсатором, но только в SMD-исполнении. Серия NFM18PS предназначена для фильтрации НЧ- и ВЧ-помех в силовых цепях с током до 2 А,

при этом параллельная ёмкость на общий провод составляет 0,47...1 мкФ [1]. По эффективности подавления один трёхвыводной может заменить 4–10 обычных SMD-конденсаторов (рис. 1). Недостаток — относительно высокая цена.

Аналитическая рекомендация. Разработчикам схемы NanoPi Fire3 следовало бы задуматься о переименовании элемента L67 в C, что физически и технически более точно.

2. Ответ — 1. Конденсаторы C9863—C9866, судя по надписям на схеме, имеют ёмкость по

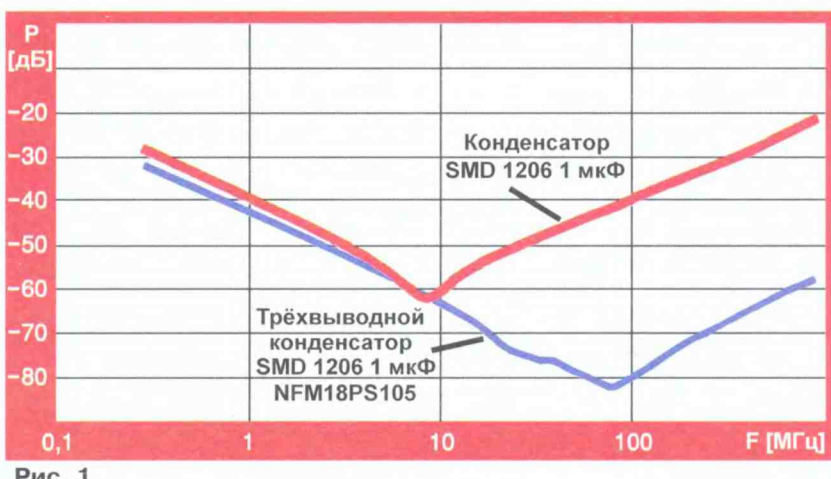


Рис. 1

0,22 мкФ, допустимое рабочее напряжение 10 В и одинаковый формфактор 0201. Последний параметр указывает на то, что применяются четыре отдельных конденсатора. Однако УГО конденсаторов нарисованы так, что их верхние и нижние обкладки сливаются в единое целое, как принято изображать в совмещённых элементах, например, многообмоточных потенциометрах, цифровых микросхемах и т. д.

Но "со своим уставом в чужой монастыре не ходят", в фирменных зарубежных схемах могут устанавливаться свои правила. Тем не менее, по логике вещей, следует так рисовать УГО отдельных элементов, чтобы их корпусы не соприкасались друг с другом.

3. Ответ — 1. Изображённый на схеме двухобмоточный дроссель L18 фильтрует синфазные помехи в информационных цепях DM, DP интерфейса USB. Короткое замыкание его витков через выводы 5 и 6 недопустимо, следовательно, где-то допущена ошибка.

Если заглянуть в документацию фирмы Murata [2], то внутри дросселя L18 содержится не только дроссель, но и четыре супрессора, защищающие от статического электричества напряжением до ± 15 кВ. Для правильного понимания работы устройства следует полностью перерисовать УГО элемента, например, согласно рис. 2.

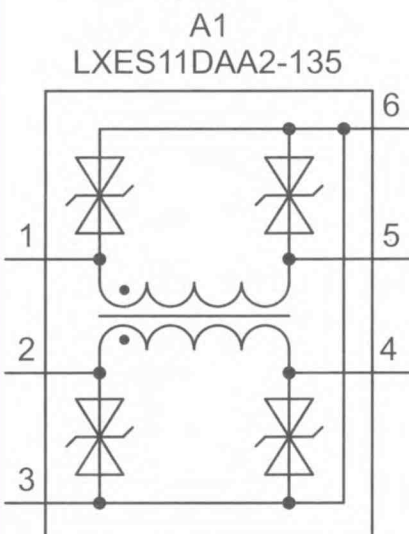


Рис. 2

Интересный нюанс. Элемент обозначен как A1 (устройство, содержащее разнородные детали со своей схемой соединения), потому что при наименовании этого элемента нельзя отдать пальму первенства ни L, ни VD.

4. Ответ — 0. Светодиод PWR имеет красный "аварийный" цвет

свечения. Индицирует он наличие напряжения питания 3,3 В на плате микрокомпьютера (SBC) NanoPi M4. Нормальная работа — это когда присутствуют оба напряжения 3V3_SYS и 3V3_S3, при этом яркость индикатора максимальная, что зависит от протекающего тока $I_{LED} = (3V3_{SYS} - V_{LED})/R256 + (3V3_{S3} - V_{D34} - V_{LED})/R286 = (3,3 - 1,6)/15 + (3,3 - 0,6 - 1,6)/1 = 1,21$ мА.

Соответственно, если пропадёт напряжение 3V3_SYS, ток уменьшится до 1,1 мА, а если исчезнет напряжение 3V3_S3, — до 0,11 мА. В первом случае снижение яркости останется незамеченным, а во втором — свечение станет реально более тусклым.

Из приведённых расчётов становится понятным смысл применения резистивного делителя. При нормальной работе светодиод PWR светится ярко, при пропадании напряжения 3V3_S3 — тускло, при этом диод D34 не позволяет запитывать повреждённую цепь даже слабым током от системного источника 3V3_SYS.

5. Ответ — 0 или 1. В конструкции SBC NanoPi R6C предусмотрено место на печатной плате для установки SSD с интерфейсом NVMe в формфакторе M.2 2280.

Расшифровка названий:

— SSD (Solid-State Drive) — твердотельный Flash-накопитель информации, аналогичный жёсткому диску, но без врачающихся деталей;

— NVMe (Non-Volatile Memory Express) — быстродействующий интерфейс связи между Flash-памятью и процессором, который использует шину PCIe, в отличие от более медленного интерфейса SATA [3];

— M.2 — стандарт 2013 г., определяющий разъём и физическое подключение для ультратонких устройств в виде открытой печатной платы с радиоэлементами без корпуса. Это могут быть SSD NVMe, SSD SATA, а также модули Wi-Fi, WWAN, Bluetooth, GPS, NFC;

— 2280 — типоразмер печатной платы, где 22 — ширина, 80 — длина платы в миллиметрах. Существуют также типоразмеры 2230, 2242, 2260 и пр.

Поскольку накопитель NVMe в формфакторе M.2 2280 является внешним SSD, то оба ответа на вопрос викторины верные.

6. Ответ — 1. Автономный генератор прямоугольных импульсов с частотой 24 МГц выполнен на двойном логическом инверторе U3, кварцевом резонаторе X4 и стандартных резисторах и конденсаторах в его обвязке. Особенность — малогабаритная микросхема U3 NL27WZU04DF фирмы Onsemi в корпусе SC-88 (2×1,25×0,9 мм), что позволяет мини-

мизировать размеры изделия.

Однако для устойчивого запуска генератора подходят не любые логические элементы, а только небуферизированные. Называются они Unbuffered Inverter и отличаются тем, что в выходном каскаде отсутствует усилитель мощности [4]. Из-за этого на передаточной характеристике напряжения вход—выход формируется определённый линейный участок, что, собственно, и приводит к мягкому режиму самовозбуждения в пете обратной связи.

Пример небуферизированного двойного инвертора Crystal Driver, специально разработанного для кварцевых генераторов, — 74LVC1GX04 фирмы Nexperia.

7. Ответ — 1. Нажатие на кнопку SW4 приводит к открыванию транзистора Q8222. Ток в его базу протекает через резисторы R9896, R1098, R9854.

Как известно, при последовательном соединении резисторов мощность рассеяния на каждом из них пропорциональна сопротивлению. То есть в порядке убывания мощности: 0,95 мВт — на резисторе R9854 (4,7 кОм), 0,2 мВт — на резисторе R9896 (1 кОм) и 0,07 мВт — на резисторе R1098 (330 Ом). Парадокс в том, что два первых резистора имеют формфактор 0201 (50 мВт), а последний — 0402 (63 мВт).

Почему? Мысли разработчика схемы угадать сложно, но как предположение, — в целях унификации элементов, чтобы не закупать большой ассортимент SMD-резисторов.

8. Ответ — 0. Важным фактором, влияющим на долговечность работы любого SBC, является температура корпуса прикладного процессора (AP), контроллера питания PMIC, микросхем памяти и других интерфейсных чипов. Чем их температура ниже, тем лучше.

Для снижения нагрева в простейшем случае используют пассивные теплоотводы, наклеиваемые с помощью двухстороннего скотча или механически прижимаемые к корпусу микросхем с нанесением термопасты. Последний вариант как раз и представлен на фотографии в вопросе викторины.

Теплоотвод изготовлен из алюминиевого сплава и рассчитан специально на конструкцию SBC NanoPi R2S. Особенностью является выемка в центре с резьбовыми отверстиями по краям. В них закрепляется вентилятор (кулер) DC Brushless Fan с напряжением 5 В. Это элемент активного охлаждения, когда одного пассивного теплоотвода уже недостаточно.

С другой стороны, никто не запрещает использовать центральную выемку по своему усмотрению, например, для установки внешнего датчика температуры. Это допускается, но факультативно, ведь четыре резьбовых отверстия согласованы по размерам именно с поставляемым в комплекте вентилятором (**рис. 3**).

9. Ответ — 0. Внутри разъёма LAN1 интерфейса Ethernet размещаются светодиоды жёлтого и зелёного цветов свечения, индицирующие статус сетевых соединений. Включение светодиодов схемотехнически выполнено одинаково, с применением токоограничивающих резисторов R9750, R9762 и конденсаторов

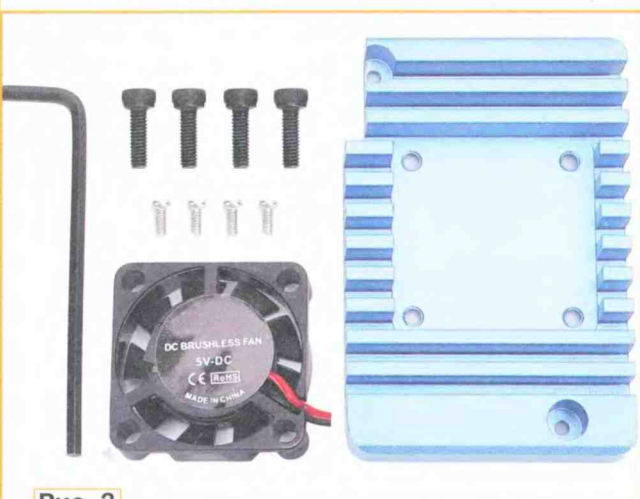


Рис. 3

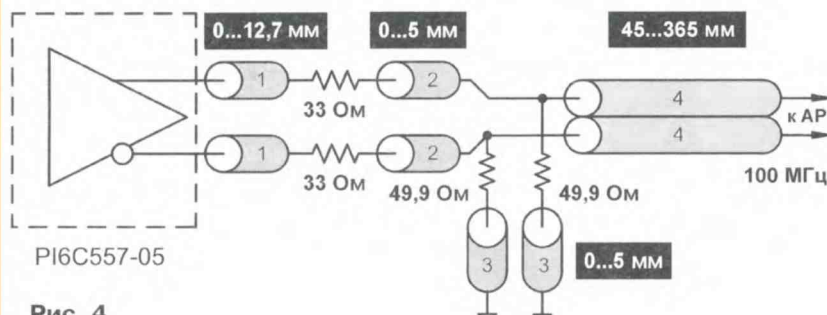


Рис. 4

фильтра C9727, C9729. Эти элементы образуют RC-цепочки, препятствующие попаданию в систему импульсных помех, наводимых на длинных линиях кабельной сети Ethernet.

Похожие технические решения встречаются и в других SBC, но с разной конфигурацией RC-цепочек и с применением супрессоров. Справедливо ради, защита по цепям светодиодов в разъёме интерфейса Ethernet может вообще отсутствовать. Её необходимость определяет firma-изготовитель, сообразуясь с условиями применения изделия.

10. Ответ — 1. Наличие встроенных малогабаритных антенн диапазона 2,4 ГГц для интерфейсов Wi-Fi и Bluetooth в платах SBC не вызывает удивления, ведь аналогичные антенны содержатся во всех смартфонах. Другое дело, что конструкция антенн может быть разной.

Судя по УГО антенны ANT2, она должна быть зигзагообразной, выполненной "змейкой" проводников на печатной плате. Однако в справочной документации на антенну AN6520 фирмы RainSun [5] указывается, что она является многослойной, керамической и широконаправленной с линейной поляризацией излучения. Центральная частота — 2,45 ГГц, полоса пропускания — 200 МГц, коэффициент усиления — 0,5 дБи, KCB < 2, волновое

волновое

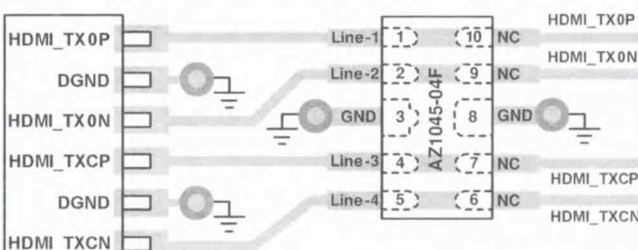


Рис. 5

阻力 — строго заданных сопротивлений с допуском ±1 %, а при разводке печатной платы должна соблюдаться рекомендуемая разработчиком длина проводников [6]. На **рис. 4** видно, что расстояние от резисторов R9818, R9819 до микросхемы PI6C557-05LE должно быть меньше, чем до AP.

12. Ответ — 1. Сборка супрессоров D11 AZ1045-04F фирмы Amazing Microelectronic предназначена для защиты от статического электричества в информационных цепях интерфейсов HDMI, USB, DVI, Ethernet, DisplayPort, SATA. Особенностью является сверхнизкая ёмкость защитных элементов — 0,5 пФ.

В схеме SBC NanoPi2 Fire сборка супрессоров D11, к сожалению, нарисована неверно. Выводы 6 и 7 у сборки свободные NC (**No Connect**), к ним внутри ничего не подключается. Но

внешнее замыкание выводов 5 и 6, 4 и 7 нарисовано правильно, поскольку это соответствует рекомендуемой разводке цепей HDMI_TXCN, HDMI_TXCP на печатной плате (**рис. 5**). При такой топологии степень защиты от ESD — максимальная.

ЛИТЕРАТУРА

1. SMD/BLOCK Type EMI Suppression Filters EMIFIL. — URL: [\(11.05.24\).](https://goo.su/lxLw2)

2. Common mode ESD filter LXES**D series. — URL: [\(11.05.24\).](https://clck.ru/3AZamz)

3. Два типа твердотельных накопителей M.2: SATA и NVMe. — URL: [\(11.05.24\).](https://www.kingston.com/ru/blog/pc-performance/two-types-m2-vs-ssd)

4. Understanding Buffered and Unbuffered CD4xxxB Series Device Characteristics. — URL: [\(11.05.24\).](https://clck.ru/3AZbRL)

5. AN6520 Multilayer Chip Antenna. — URL: [\(11.05.24\).](https://rainsun.com/rswordpress/wp-content/uploads/2022/10/RainSun-AN6520.pdf)

6. PI6C557-05B. — URL: [\(11.05.24\).](https://www.diodes.com/assets/Datasheets/PI6C557-05B.pdf)



Поддерживаемые
ОС



Техподдержка
компании
«Доктор Веб»:
<https://support.drweb.ru>

Сайты компании
«Доктор Веб»
в социальных сетях:
[https://www.drweb.ru/
user/social](https://www.drweb.ru/user/social)



Сайты компании
«Доктор Веб»:
<https://антивирус.рф>
<https://drweb.ru>

Dr.Web Security Space защитит ваш цифровой МИР



Защита от хищений средств

От банковских троянцев, клавиатурных шпионов, хакерских атак во время сессии онлайн-банкинга



Защита от мошенников

От фишинговых и мошеннических сайтов, сайтов с вредоносным ПО



Защита от уязвимостей программ

От эксплойтов, используемых киберпреступниками для проникновений через ошибки в популярных приложениях



Защита данных и информации

От удаления, порчи, шифрования и похищения



Защита от захвата устройства и слежки

Блокировка камеры, микрофона, съемных устройств



Защита детей

Родительский
контроль

- ✓ Dr.Web — в едином реестре отечественного ПО
- ✓ Круглосуточная техническая поддержка
- ✓ Бонус для покупателей — защита для Android

